

**INVESTIGACIONES ARQUEOLÓGICAS EN LA REGIÓN
DE HOLMUL, PETÉN: HOLMUL Y CIVAL.
INFORME PRELIMINAR DE LA TEMPORADA 2013**

Francisco Estrada-Belli, Director



Friso de la subestructura del Edificio A, Grupo II, Holmul, (600 d.C.). Foto A. Tokovinine

*Proyecto Arqueológico Holmul
Boston University
Archaeology Department
675 Commonwealth Avenue
Boston MA 02215
Email: fncesbl@bu.edu*

[URL http://www.bu.edu/holmul/reports/informe_13_layout.pdf](http://www.bu.edu/holmul/reports/informe_13_layout.pdf)

ÍNDICE

Capítulo 1.	Resumen de las investigaciones de la temporada 2013.....	1
Capítulo 2.	Exploraciones y mapeo al norte y noreste de Cival, Petén Guatemala.....	22
Capítulo 3.	Excavación CIV. T. 66, Estructura 1, Grupo I, Cival.....	32
Capítulo 4.	Excavaciones CIV.T.67 y CIV.T.69, Pirámide Norte, Cival.....	41
Capítulo 5.	Excavación CIV.T.68, Estructura 9, Grupo E, Cival.....	58
Capítulo 6.	Excavación HOL.T.84, Grupo I, Pirámide Norte (Edificio D), Holmul.....	76
Capítulo 7.	Excavación HOL.L.23, Edificio C, Grupo II, Holmul.....	89
Capítulo 8.	Excavaciones en el Edificio A, Grupo II, Holmul. HOL.T.78, HOL.L.20.....	101
Capítulo 9.	Documentación y análisis preliminar de la inscripción del Edificio A, Grupo II, Holmul, Guatemala.....	111
Capítulo 10.	Conclusiones.....	120
Capítulo 11.	Bibliografía.....	123

LISTADO DE FIGURAS

Figura 1.1 Vista diagonal de la región de Holmul y sitios principales. (imagen F. Estrada-Belli, topografía cortesía de Nasa (datos AIRSAR 1999)	1
Figura 1.2 Imagen LANDSAT (marzo 2001) infrarrojo (bandas 742) modificada. Clave: áreas de interés arqueológicas (azul), manto forestal (verde), humedales (rosado/morado), áreas mapeadas en años anteriores (puntos blanco), áreas mapeadas en 2012 (puntos rojos). Imagen F. Estrada-Belli, datos LANDSAT cortesía de NASA.....	4
Figura 1.3 Distribución de grupos residenciales en área al norte de Cival mostrando áreas mapeadas en 2013 (rojo) y en 2008 (azul). Topografía AIRSAR cortesía de NASA. Imagen de A. Velázquez.....	6
Figura 1.4. Mapa actualizado de Cival mostrando estructuras intervenidas en 2013 en rojo (imagen Estrada-Belli).....	8
Figura 1.5 Vista de la Estructura 9 desde el este mostrando áreas excavadas(foto Estrada-Belli).....	9
Figura 1.6. a) vista de la excavación CIV.T.12 en la Estructura 9, mostrando la escalinata e ingreso al túnel de investigación (foto F. Estrada-Belli). b) perfil del túnel CIV.T.12 (dibujo K. Ahern).....	10
Figura 1.7. Vista de escalinata este y mascarón de la última fase de la Estructura 9 dentro de la excavación CIV.T.68.....	11
Figura 1.8. Perfil de las excavaciones CIV.T.12 y CIV.T.68 en la fachada este de la Estructura 9 (dibujos por K.Ahern y J. Calvo).....	12
Figura 1.9. Vista de la fachada (sur) de la Pirámide Norte al iniciarse las excavaciones. (foto: F. Estrada-Belli).12	
Figura 1.10. Vista hacia el oeste de la escalinata y mascarón mutilado de la penúltima fase de la Pirámide Norte en la CIV.T.67 (Foto F. Estrada-Belli).	13
Figura 1.11. Vista de la sección de talud con molde remetido de la fachada (lado sur de la escalinata central) de la tercer última fase de la Pirámide Norte (foto: Estrada-Belli).....	13
Figura 1.12. Vista del túnel de acceso durante la construcción de muros y bóveda. (foto: Estrada-Belli).	14
Figura 1.13. Perfil del túnel de acceso a los mascarones de la Estructura 1 de Cival mostrando el tramo consolidado con bóveda (Dibujo: A. Castillo).	15
Figura 1.14. Bloque pintado de la Estructura 1 de Cival mostrando un perfil del rostro del dios de maíz en una posible escena de danza (foto F. Estrada-Belli).	15
Figura 1.15. Segundo bloque pintado con elementos iconográficos(Foto F. Estrada-Belli).	16
Figura 1.16. Mapa de Holmul mostrando áreas excavadas en 2013 (en rojo).	17
Figura 1.17. Vista desde el norte del mascarón norte de la fachada este de la segunda fase constructiva del Edificio C, Grupo II. (Foto F. Estrada-Belli).	18
Figura 1.18. Fotomosaico del friso de la subestructura de Edificio A, Grupo I (foto: a. tokovinine)..	18
Figura 2.1 Imagen LANDSAT ETM+ (Enhanced Thematic Mapper Plus) 2001 sobre la región de Holmul área limítrofe Guatemala-Belize. Imagen A. Velásquez.	25
Figura 2.2 Mapa digital de la región de Holmul proyectados sobre un Modelo de Elevación Digital cortesía de NASA (AIRSAR 1999). Imagen F. Estrada-Belli.....	26
Figura 2.3 Mapa mostrando la ubicación los grupos residenciales afuera del centro de Cival y trayectos del reconocimiento (Topografía derivada de datos de LANDSAT ETM+ 2001). Imagen A. Velásquez.	27
Figura 2.4 Gráfica de cálculo de áreas de bases de las estructuras generada por ArcGIS 9.3. mostrando los conjuntos de mayor tamaño. Imagen A. Velásquez.....	29
Figura 2.5 Mapa de Cival proyectados sobre un Modelo de Elevación Digital cortesía de NASA (AIRSAR 1999), años anteriores (azul), 2013 (rojo). Imagen A. Velásquez.	30

Figura 3.1 Fragmento de obsidiana (Foto por Ángel Castillo).....	33
Figura 3.2 Matris de Harris para la excavación CIV.T.66	36
Figura 3.3 Perfil Norte de CIV.T.66 (dibujo Ángel Castillo)	37
Figura 3.4 Perfil oeste de CIV.T.66 (dibujo Ángel Castillo).....	38
Figura 3.5 Perfil Norte de CIV.T.01 (dibujo Ángel Castillo)	39
Figura 3.6 Perfil Sur de CIV.T.01 (dibujo Ángel Castillo)	39
Figura 3.7 Fragmentos de mural encontrados dentro del relleno de CIV.T.01 (dibujo A. Castillo y K. Forrest) ..	40
Figura 4.1: CIV.T.67.01.04.01 Figura 4.2: CIV.T.67.01.04.01 (Fotos: K.Forrest)	42
Figura 4.3: Planta 1, Contextos CIV.T.67.02-06, última y penúltima fases	43
Figura 4.4: Perfil Norte, CIV.T.67 Penúltima fase de construcción	44
Figura 4.5: Foto de escalinata, CIV.T.67.06 de la penúltima fase de la estructura tomada desde el sureste (Foto K. Forrest)	45
Figura 4.6 Perfil oeste, fases última, penúltima y antepenúltima	46
Figura 4.7 Perfil Norte de la excavación CIV.T.67 mostrando la escalinata de la penúltima fase constructiva. ..	47
Figura 4.8 Perfil Norte (CIV.T.67.10 y 11), Foto: K. Forrest.....	48
Figura 4.9 Fragmento de figurilla CIV.T.67.07.03.01, Foto: K. Forrest	49
Figura 4.10 Perfil de la excavación CIV.T.67 mostrando la fachada de la antepenúltima fase de la Pirámide Norte.....	50
Figura 4.11 Talud y muro de la antepenúltima fase de la Pirámide Norte, Foto: K. Forrest	51
Figura 4.12 Planta de la excavación CIV.T.67 mostrando las últimas tres fases de la Pirámide Norte	52
Figura 4.13 Matriz de Harris de CIV.T.67.	53
Figura 4.14 Perfil de excavaciones CIV.L.07 y CIV.T.41 hechas en la cumbre de Pirámide Norte en 2007 por Ángel Castillo.....	54
Figura 4.15 Perfil Oeste de la excavación CIV.T.69	56
Figura 4.16 Planta final de la excavación CIV.T.69	56
Figura 4.17 Matriz de Harris	57
Figura 5.1 Herramienta de pedernal.	58
Figura 5.2 En el área marcada con rojo se observan los fragmentos de estuco quemado (foto J. Calvo).	59
Figura 5.3 CIV.T.69.09.05 (foto J. Calvo).....	60
Figura 5.4 Muro de Contención CIV.T.68.09 (foto J. Calvo)	60
Figura 5.5 Agujero en la esquina noreste del Mascaron de la última fase (foto J. Calvo).....	61
Figura 5.6 Fragmento tubular de cerámica (foto J. Calvo).....	62
Figura 5.7 Cuenta tubular de piedra verde recuperada en corte (CIV.T.68.12, foto J. Calvo)	62
Figura 5.8 Cuenta de piedra verde recuperada en corte CIV.T.68.12 (foto J. Calvo).	63
Figura 5.9 Pequeña cuenta de piedra verde recuperada en corte CIV.T.68.12 (foto J. Calvo).	63
Figura 5.10 Vista de planta del túnel y sus elementos arquitectónicos (dibujo J. Calvo).....	65
Figura 5.11 Corte CIV.T.68.38 sobre el piso estucado (foto J. Calvo)	66
Figura 5.12 Fondo de Corte CIV.T.68.09.38. Foto J. Calvo	66
Figura 5.13 Cuenco cerámico localizado en el fondo del corte CIV.T.68.09.38. Foto J. Calvo	67
Figura 5.14 Cuenta de piedra verde recuperada en el interior de cuenco cerámico. Foto J. Calvo.....	67
Figura 5.15 Roca Madre y alineación de piedras (dibujo J. Calvo)	68
Figura 5.16 Perfil sur de la excavación y corte CIV.T.68.12 (dibujo J. Calvo).	70
Figura 5.17 Perfil norte del túnel, elementos arquitectónicos de la penúltima fase constructiva (dibujo J. Calvo)	71

Figura 5.18 Perfil oeste en donde se aprecian los contextos CIV.T.68.09.07, 06 Y 05 (dibujo J. Calvo).....	72
Figura 5.19 Perfil norte, extensión noreste (dibujo J. Calvo).....	73
Figura 5.20 Vista frontal de toda la excavación T.68, perfil oeste (dibujo J. Calvo).....	74
Figura 5.21 Matriz de Harris mostrando la relación estratigráfica de los contextos de la excavación CIV.T.68 (J. Calvo).....	75
Figura 6.1 Perfil Norte del túnel HOL.T.84 mostrando esquina de estructura Preclásica HOL.T.84.22 (dibujo A. Shetler).	77
Figura 6.2 Vista de la ofrenda HOL.T.84.11.02.01 y .02 afuera de su contexto (foto Estrada-Belli).....	78
Figura 6.3 Dibujo del incensario y tapadera HOL.T.84.11.02.01 y .02 (dibujo F. Alvarez).....	79
Figura 6.4 Planta del entierro HOL.T.84.14 (dibujo A. Shetler).....	80
Figura 6.5 Cilindros trípodes del entierro HOL.T.84.14. La vasija del centro presenta un corte horizontal en el cuerpo probablemente para ser reutilizada después de una quebradura (foto. F. Estrada-Belli).	81
Figura 6.6 Cilindro tripode Urita gubiado inciso02 del entierro HOL.T.84.14 localizada cerca del cráneo (dibujo F. Alvarez).	81
Figura 6.7 Cilindros trípodes Balanza Negro no. 01 y 03 del entierro HOL.T.84.14. (dibujo F. Alvarez).	82
Figura 6.8 Perfil este del túnel de excavación HOL.T.84 (dibujo A. Shetler).....	84
Figura 6.9 Perfil este del mascarón estucado HOL.T.84.26 (dibujo A. Shetler).	85
Figura 6.10 Vista desde el sur del mascarón de la subestructura del Edificio D del Grupo I representante la deidad de la Lluvia Chak (siglo I d.C., Preclásico Tardío, foto Estrada-Belli).....	86
Figura 6.11 Perfil norte del mascarón HOL.T.84.26 (dibujo A. Shetler).	87
Figura 7.1 Fragmento de un plato o comal, HOL.L.23.06.01.01, con diseño abstracto (foto Auld-Thomas).	90
Figura 7.2 Vista de la superficie estucada de HOL.L.23.10, sacado desde el punto donde terminó el túnel del 2012 mirando atrás hacia el punto donde encontramos el túnel (foto Auld-Thomas).....	91
Figura 7.3 Detalle del mascarón del Edificio C (dibujo Auld-Thomas).....	92
Figura 7.4 El segundo elemento semiesférico (HOL.L.23.22) que indica la presencia del segundo mascarón (foto Auld-Thomas).....	93
Figura 7.5 Perfil oeste de la excavación HOL.L.23 (dibujo L. Auld-Thomas).	96
Figura 7.6 Perfil sur de la excavación HOL.L.23 (dibujo L. Auld-Thomas).....	97
Figura 7.7 Perfil oeste del túnel superior de HOL.L.23 mostrando la fachada este de la Fase II del Edificio C (dibujo L. Auld-Thomas).....	97
Figura 7.8 Perfil sur del túnel inferior de la excavación HOL.L.23 mostrando la esquina noreste de la Fase II del Edificio C (dibujo L. Auld-Thomas).....	98
Figura 7.9 Perfil sur del túnel inferior de la excavación, mostrando la escalinata central y cuerpo escalonado asociado a la Fase II (dibujo L. Auld-Thomas).	98
Figura 7.10 Perfil oeste del túnel inferior de la excavación, mostrando la fachada este de Fase II (dibujo L. Auld-Thomas).	99
Figura 7.11 Planta de la excavación HOL.L.23 (dibujo L. Auld-Thomas).....	99
Figura 7.12 Matriz Harris de la excavación HOL.L.23 mostrando la relación temporal entre los contextos excavados (dibujo L. Auld-Thomas).....	100
Figura 8.1 Perfil de los cuerpos escalonados de la subestructura del Edificio A dentro del túnel HOL.T.78 (dibujo R. Barrois).....	102
Figura 8.2 Jordan Krummel y Francisco Estrada-Belli junto a una pared estucada (HOL.T.78.32) en la esquina noroeste de la subestructura del Edificio A con restos de decoración modelada (foto R. Quesada).....	103

Figura 8.3 Vista hacia el este de los paneles remetidos de la fachada sur de la subestructura del Edificio A (Foto: Estrada-Belli).....	104
Figura 8.4 Perfil norte de la fachada sur de la subestructura asociada al friso HOL.T.78.32 (dibujo: Forrest y Castillo).....	107
Figura 8.5 Vista del personaje y cabeza de witz de la esquina suroeste de la subestructura del Edificio A (foto: Estrada-Belli).....	108
Figura 8.6 Fotomosaico de la pared oeste y friso (HOL.T.78.32) de la subestructura del Edificio A (foto A. Tokovinine)	109
Figura 8.7 Dibujo del friso e inscripción asociada a (HOL.T.78.32, por A. Castillo).....	110
Figura 9.1 Friso de subestructura del Edificio A (dibujo: A. Tokovinine).....	117
Figura 9.2: a) Friso del Edificio A, pared sur (foto: A. Tokovinine);.....	117
Figura 9.3 Texto principal, sección dañada (foto y dibujo: A. Tokovinine).....	118
Figura 9.4 Texto principal, fragmentos de bloques pH y pl (foto: A. Tokovinine).....	118
Figura 9.5 Texto principal (dibujo: A. Tokovinine)	119
Figura 9.6 Texto 2(a), Texto 3(b), Texto 4(c), Texto 5(d), (dibujo: A. Tokovinine)	119

Capítulo 1. Resumen de las investigaciones de la temporada 2013

Francisco Estrada-Belli (Boston University/Tulane University/USAC/MAI)

Introducción y antecedentes

El área de Holmul y sus sitios menores, conocida como la “región de Holmul”, abarca aproximadamente 100 km² de la cuenca del río Holmul en el noreste de Petén. Su centro principal, el sitio arqueológico Holmul, fue una ciudad Maya en las épocas Preclásica y Clásica, situada a 35 km al este de Tikal y 20 km al norte de Naranjo, aproximadamente. A 7 km al norte de Holmul se encuentra el sitio arqueológico Cival, que fue el centro principal en esta región en la época Preclásica. A pocos kilómetros de Holmul y Cival se encuentran los centros ceremoniales menores de Hamontun, Hahakab, T’ot, K’o, Riverona, La Sufricaya. Adicionalmente, a unos 13 km al suroeste de Holmul se encuentra Dos Aguadas, sitio menor con ocupación Preclasica y Clasica importante, mientras a unos 13 km al norte se encuentra Witzna’, sitio Clásico con arquitectura monumental aun poco conocido.

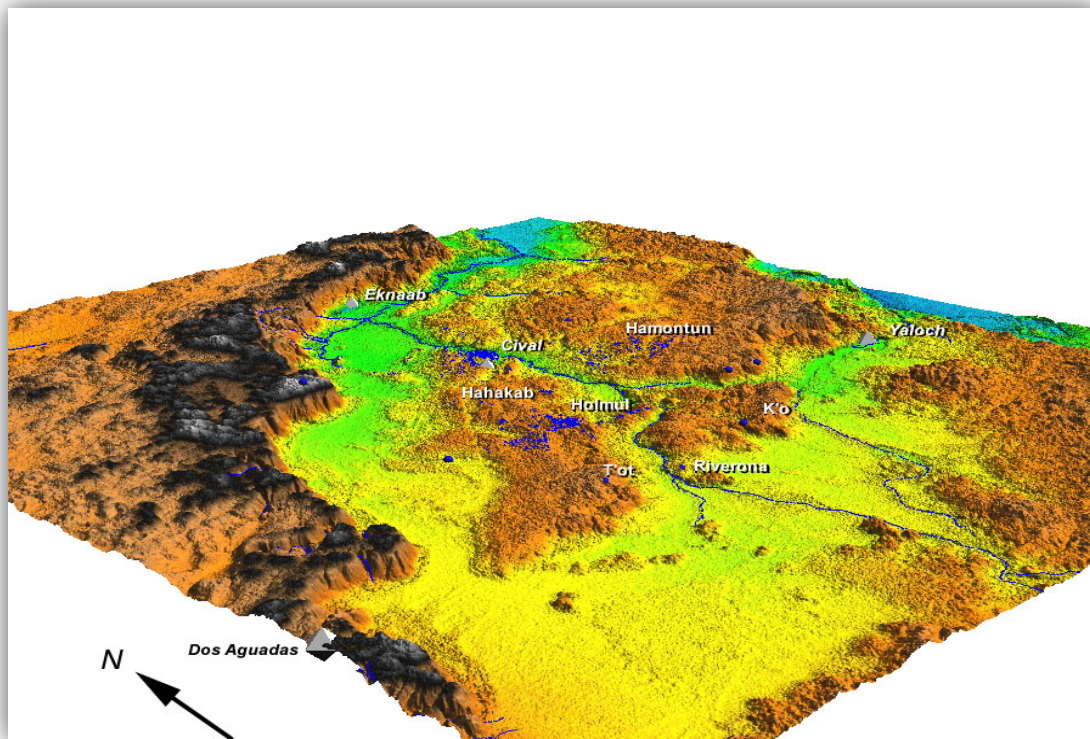


Figura 1.1 Vista diagonal de la región de Holmul y sitios principales. (imagen F. Estrada-Belli, topografía cortesía de Nasa (datos AIRSAR 1999))

La primera investigación arqueológica en esta región se dio en los años 1909-1911 por el arqueólogo Raymond E. Merwin de la Universidad de Harvard (Merwin y Vaillant 1932) quien investigó los complejos arquitectónicos principales de Holmul y reportó una estela temprana en Cival sin dar más detalles de ese sitio. Sus excavaciones en Holmul documentaron fases constructivas y entierros de la élite local de las épocas Preclásico Tardía a la Clásica Tardía y Terminal. Estas

investigaciones fueron instrumentales en dar a conocer la secuencia estilística de la cerámica de Tierras Bajas y formaron la base de la primera cronología arqueológica (Vaillant 1927). Un rasgo importante de la cerámica de Holmul conocida como “Protoclásica” fue objeto de un largo debate entre ceramólogos. Hoy en día este rasgo es conocido como una fase cerámica de la época Preclásica Terminal. (150-250 d.C.; Pring 1977, 1995, Hammond 1984, Brady et al. 1998, 1995, Laporte 1995, Callaghan 2008). Otro aspecto de la cerámica del sitio que ha sido objeto de múltiples estudios anteriores es el estilo de vasijas policromas conocido como estilo del “Danzante de Holmul” (Reents-Budet 1985, 1994, Reents-Budet *et al.* 1993, Coe 1973, Kerr 1992) con base en una vasija de este estilo excavada en Holmul por Merwin y un gran número de vasijas correspondientes en colecciones privadas.

No existía, anteriormente al año 2000, año de inicio del Proyecto Arqueológico Holmul, un mapa del sitio ni de sitios menores más que un croquis de cada estructura excavada por Merwin. También, se desconocía la extensión, distribución y función de las estructuras de Holmul así como del área residencial. Por falta de estos datos básicos y de monumentos inscritos, la posición de Holmul en la jerarquía de centros políticos de esta región quedó desconocida. A pesar de la presencia de entierros elitistas, pero debido a la falta de evidencias textuales directas esa posición en la jerarquía geopolítica de la época Clásica fue estimada en varias maneras por distintos expertos (Bullard 1960, Hammond 1972, 1975, 1984, Adams y Jones 1981, Turner *et al.* 1981).

En el año 2000 el Proyecto Arqueológico Holmul, integrado por especialistas en varias disciplinas científicas relacionadas a la arqueología así como de estudiantes de varios países, emprendió sus investigaciones en Holmul y en sus sitios menores de las épocas Preclásica y Clásica (véase informes 2001-2009 y publicaciones relativas Callaghan 2006, 2008; Estrada-Belli 2001a, 2002a, b, 2003a, b, c, d, 2004, 2005, 2006a, b, 2008, 2001b; Estrada-Belli 2009; Estrada-Belli, Bauer, et al. 2003; Estrada-Belli y Foley 2004; Estrada-Belli, Grube, et al. 2003; Estrada-Belli y Koch 2007; Estrada-Belli, et al. 2009; Estrada-Belli, *et al.* 2004; Grube 2003; Kosakowsky 2001; Martin y Grube 2008; Sharer y Traxler 2006; Tomasic y Estrada-Belli 2003).

Resumiendo brevemente los logros de las primeras diez temporadas de investigación, se han mapeado las áreas ceremoniales de Holmul, Cival, Riverona, T’ot Hahakab, Hamontun, K’o, La Sufricaya y Dos Aguadas así como áreas residenciales en un radio de 4 km alrededor de Holmul, Cival, K’o y Hamontun. Se han emprendido excavaciones en plazas monumentales en Holmul (Grupos II y III, y Plaza este), Cival (Grupo I, Plaza Principal, Grupo E norte y Plaza oeste Lejano), La Sufricaya, K’o, Hamontun y Dos Aguadas enfocadas a la arquitectura temprana. Además se han llevado a cabo trabajos de conservación en la arquitectura de Holmul, (Grupos I, II, y III), Cival (Grupo I, Estela 2, y grupos menores), La Sufricaya (Grupo 1, murales y estelas), Hamontun (Grupo 1), T’ot, Hamontun, K’o y Dos Aguadas. Entre las intervenciones de conservación y prevención figuran el relleno de docenas de trincheras de saqueo, techos para edificios expuestos a la intemperie, consolidación de muros, bóvedas, capas de estucos, escultura y pintura monumental. (véase informes 2000-2009 en www.bu.edu/holmul para mayor detalle). Finalmente, cabe mencionar que el proyecto se hizo cargo de mantener vigilancia permanente en Holmul, Cival y sitios menores desde el año 2000.

Durante la temporada de 2013 el Proyecto Arqueológico Holmul investigó los sitios de Cival y Holmul y exploró un área al norte de Cival con el propósito de aclarar las fases de la historia prehispánica de las Tierras Bajas Mayas durante las cuales se verificaron cambios socio-culturales importantes:

- 1) Los inicios de la arquitectura ceremonial con escultura monumental (mascarones y frisos) en la época Preclásica.
- 2) El misterioso abandono de muchos centros ceremoniales durante dos transiciones distintas, a finales de la época Preclásica (200-400 d.C.) y a finales de la era Clásica (900-1000 d.C.).
- 3) El auge arquitectónico en el Clásico Tardío y Terminal en Holmul y su abandono a finales de esa época.
- 4) Cambios en el medio-ambiente y su relación con cambios en el uso de la tierra durante todas las épocas prehispánicas.

El trabajo de campo se verificó desde el 25 de Mayo al 12 de julio de 2013, seguido por una fase de análisis en el laboratorio del Proyecto Holmul en Antigua Guatemala durante los meses de julio a diciembre 2013. Participaron en las investigaciones alrededor de 80 personas entre estudiantes nacionales y voluntarios extranjeros, profesionales, técnicos y personal laboral.

Los resultados de la temporada de 2013, que aquí se resumen, nos proporcionan datos para avanzar el conocimiento de la cultura Maya prehispánica en sus épocas más tempranas y dejan restos tangibles a manera de recursos para el desarrollo de un turismo sostenible y responsable para beneficiar la economía de la población local.

Cival es un centro ceremonial entre los más grandes en las tierras bajas mayas situado en el extremo norte de una área colinosa rodeada por bajos en la cuenca del río Holmul. Las investigaciones de 2013 se enfocaron en tres de las estructuras piramidales mayores del sitio la Estructura 9, la Pirámide Norte y el Grupo 1.(Figura 1).

Holmul es un centro ceremonial mayor de carácter urbano con tres complejos arquitectónicos principales (Grupos I, II y III). El Grupo II fue el objetivo de las investigaciones de 2013 debido a que aquí se habían encontrado restos de arquitectura temprana en temporadas anteriores (véase informes 2000-2009 en la página internet: www.bu.edu/holmul/reports).

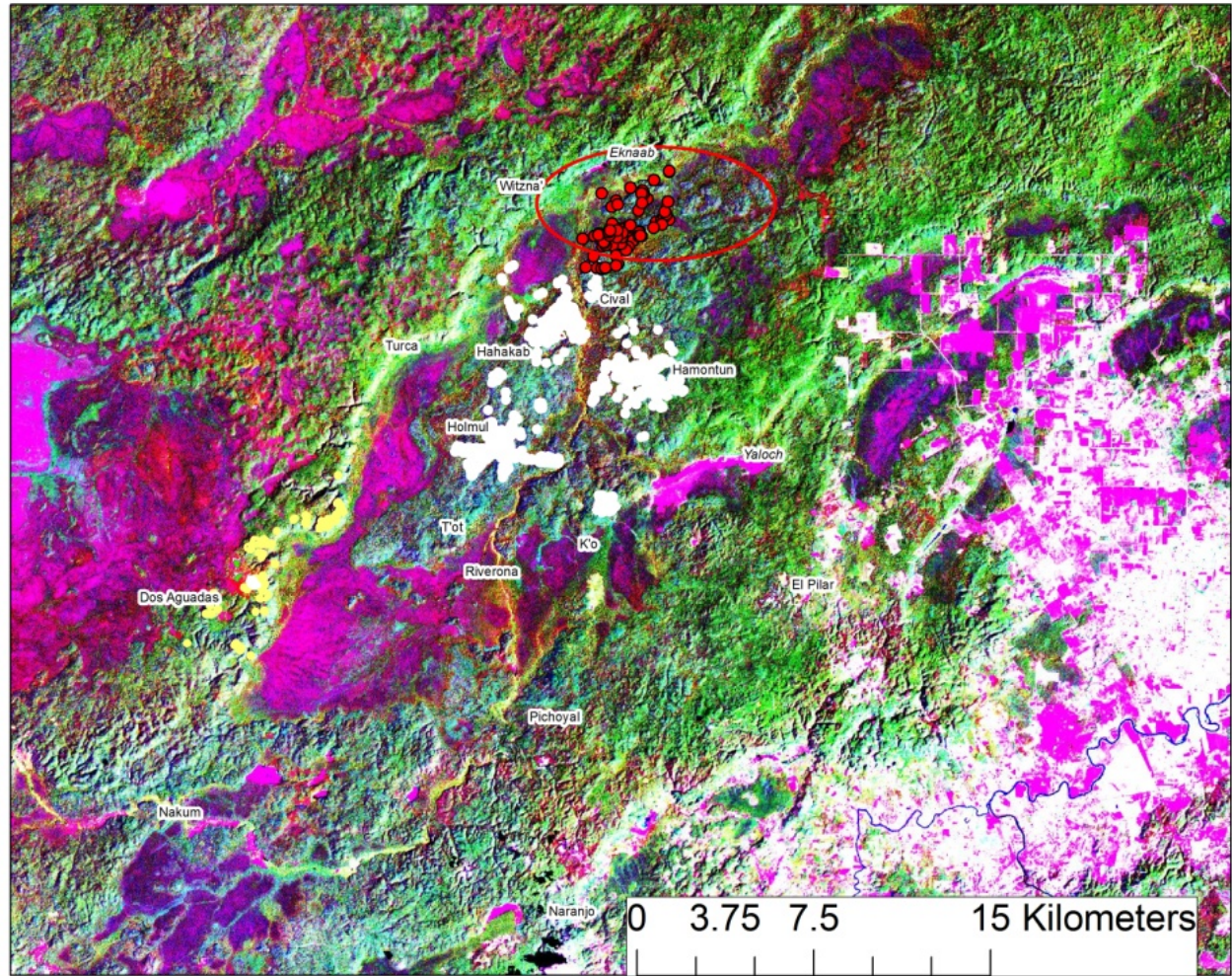


Figura 1.2 Imagen LANDSAT (marzo 2001) infrarrojo (bandas 742) modificada. Clave: áreas de interés arqueológicas (azul), manto forestal (verde), humedales (rosado/morado), áreas mapeadas en años anteriores (puntos blanco), áreas mapeadas en 2012 (puntos rojos). Imagen F. Estrada-Belli, datos LANDSAT cortesía de NASA.

Cival. Mapeo y excavaciones

Las excavaciones en el centro de Cival fueron complementadas por un estudio de medio-ambiente y del patrón de asentamiento a su alrededor. El reconocimiento y mapeo de estructuras residenciales periféricas fue llevado a cabo por un equipo de topógrafos (véase Cap. 2) guiados por una metodología experimentada por este proyecto en años anteriores. La misma combina aparatos GPS portátiles e imágenes satélite preparadas previamente al trabajo de campo para descubrir restos arqueológicos por el manto forestal (véase Estrada-Belli y Koch 2007). En 2013 se reconoció un área al norte y este de Cival de 12 km² con lo cual se expandió por un 150 % el área mapeada alrededor de Cival, llegando a un total de 20 km². Esta área colinosa se extiende a lo largo del curso del río Holmul en dirección noreste. Arriba de cada una de esas colinas y terrazas rocosas se hallaron unos 105 grupos residenciales de la época prehispánica. La mayoría de ellos es de tamaño pequeño, sin embargo, como es usual, también figuran dentro de la muestra grupos mayores con estructuras abovedadas formando patios cuadrilaterales y estructuras piramidales pequeñas. El reconocimiento llegó a una distancia máxima de Cival de 7.5 km sin poder continuar por falta de tiempo. Sin embargo, es probable que el patrón de asentamiento siga sin interrupción en esa dirección, a lo largo de las colinas y terrazas naturales. El rasgo más interesante encontrado durante este reconocimiento fue el sitio de Chanchich. El mismo fue reconocido en anterioridad por un equipo de la Dr. Vilma Fialko y está reportado en una publicación reciente (Fialko 2005). El sitio Chanchich es de interés por incluir arquitectura ceremonial de las épocas Preclásicas, como es un grupo tipo E y un mascarón asociado al mismo conjunto arquitectónico.

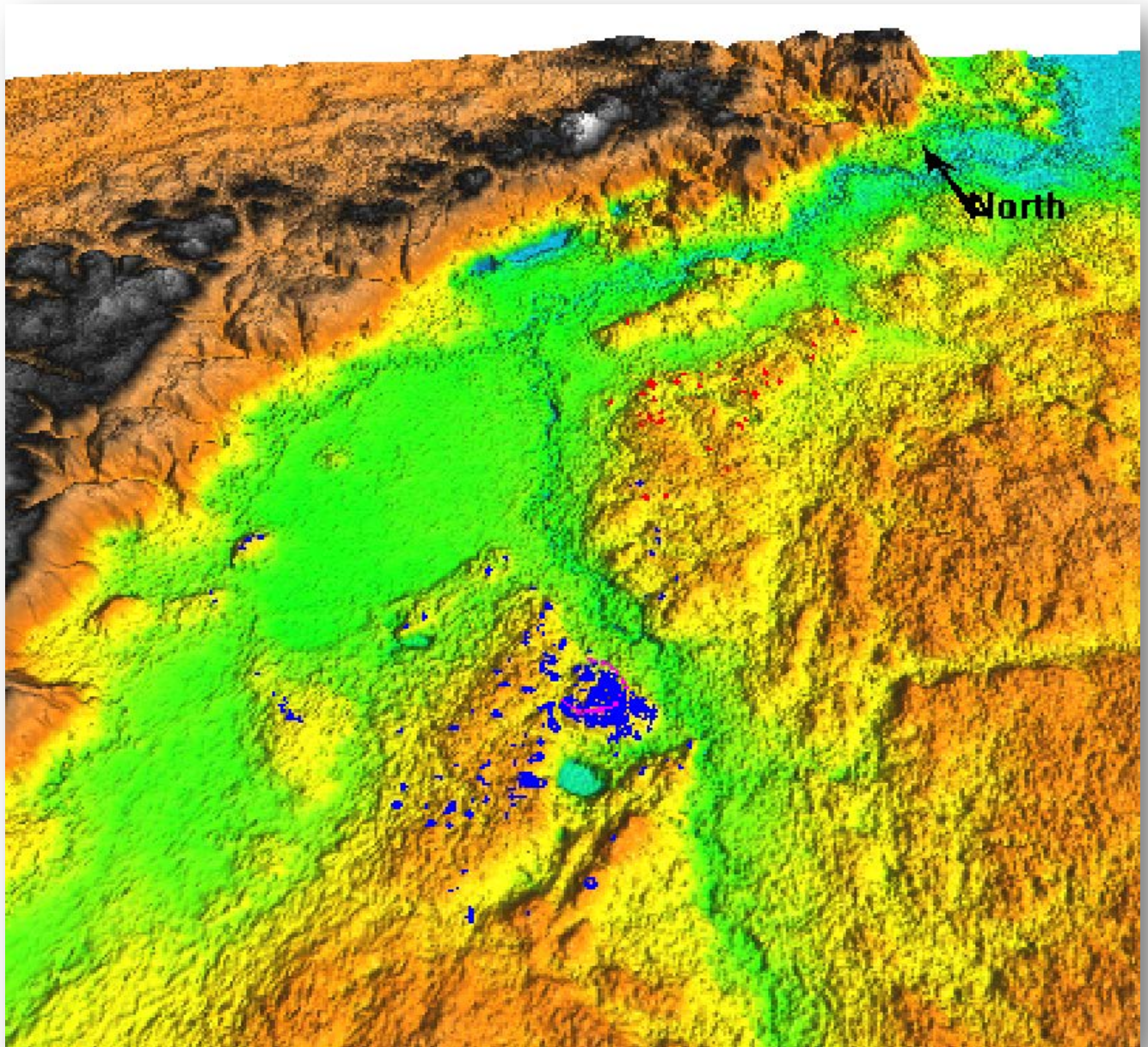


Figura .1.3 Distribución de grupos residenciales en área al norte de Cival mostrando áreas mapeadas en 2013 (rojo) y en 2008 (azul). Topografía AIRSAR cortesía de NASA. Imagen de A. Velazquez.

Se recolectaron muestras de sedimentos lacustres en un cival llamado EkNaab, localizado a 6.5 km al norte de Cival y 3.5 km al este del sitio Witzna', por David Wahl y Lysanna Anderson de USGS. Los sedimentos fueron recuperados en segmentos de aproximadamente 1m hasta una profundidad de 9 metros y se encuentran en los laboratorios de USGS en Menlo Park, California. El análisis de estas muestras proporcionará datos sobre las pautas de deforestación y cambios en el clima y vegetación del área de Cival con referencia a las épocas de disminución poblacional a fines del Preclásico y Clásico. Estos datos podrán ser utilizados para evaluar hipótesis sobre el impacto humano en el medio-ambiente prehispánico derivadas de estudios anteriores y comprobar los

resultados de un estudio anterior en la Laguna Yaloch (Wahl et al. 2013; véase informe Estrada-Belli y Wahl 2011 en www.bu.edu/holmul/reports).

En 2013 las investigaciones en el centro de Cival se concentraron en tres estructuras distintas, la Estructura 9, La Piramide Norte y la Estructura 1 del Grupo 1 o Grupo Triadico. La Estructura 9 se encuentra en el centro de Cival como parte de un conjunto de tipo Grupo E junto con una plataforma alargada al este de una plaza. El eje central de la misma está orientado a 2 grados al norte del este (90 grados), correspondiente al punto de salida del sol en los días del equinoccio. Esta misma orientación fue seguida durante la construcción de la gran mayoría de la estructuras monumentales de Cival, directamente o a 90 grados de la misma.

Excavaciones previas determinaron que esta plaza (y por consiguiente el sitio) fueron establecidos en el Preclásico Medio (ca. 800 a.C.).

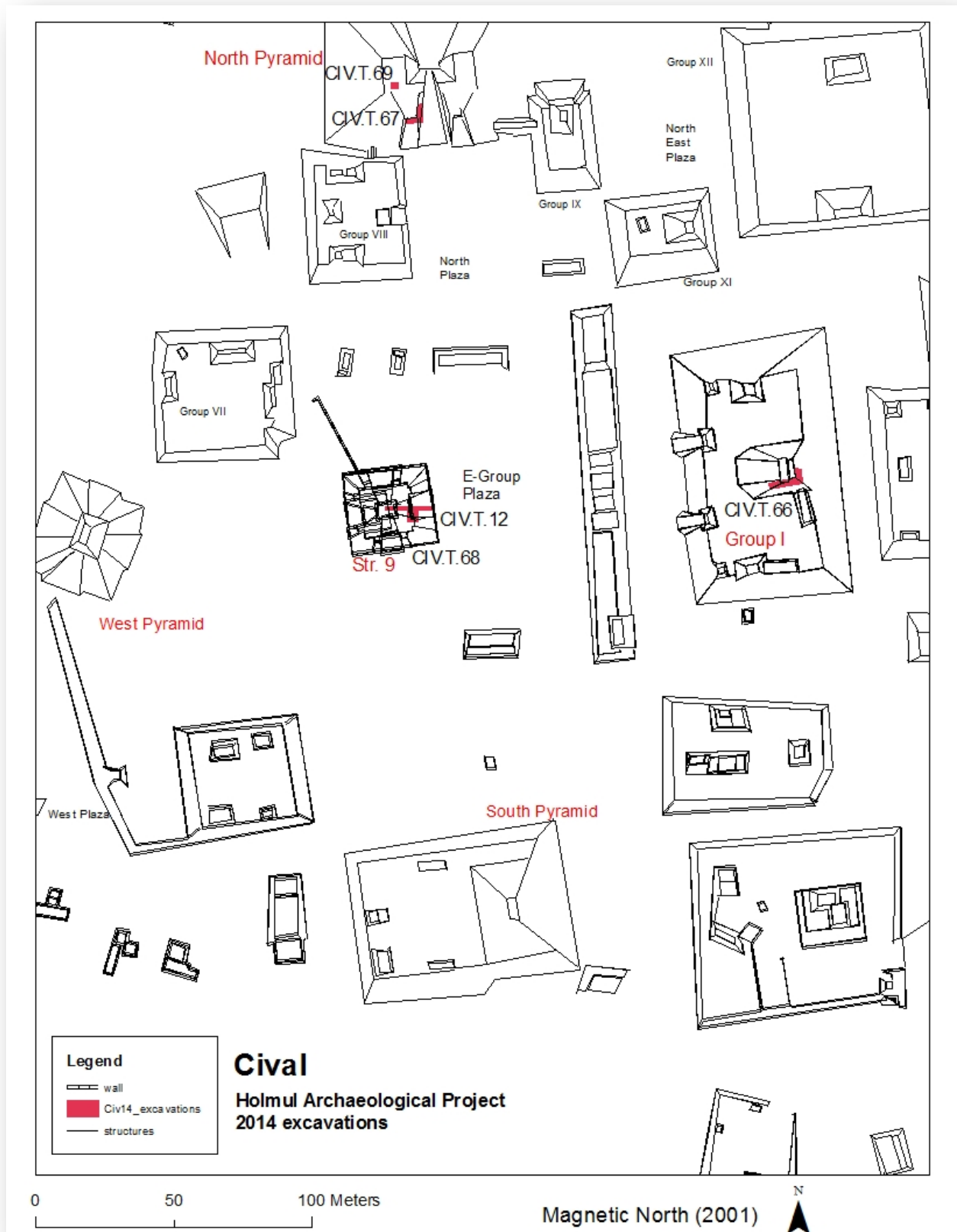


Figura 1.4. Mapa actualizado de Cival mostrando estructuras intervenidas en 2013 en rojo (imagen Estrada-Belli).

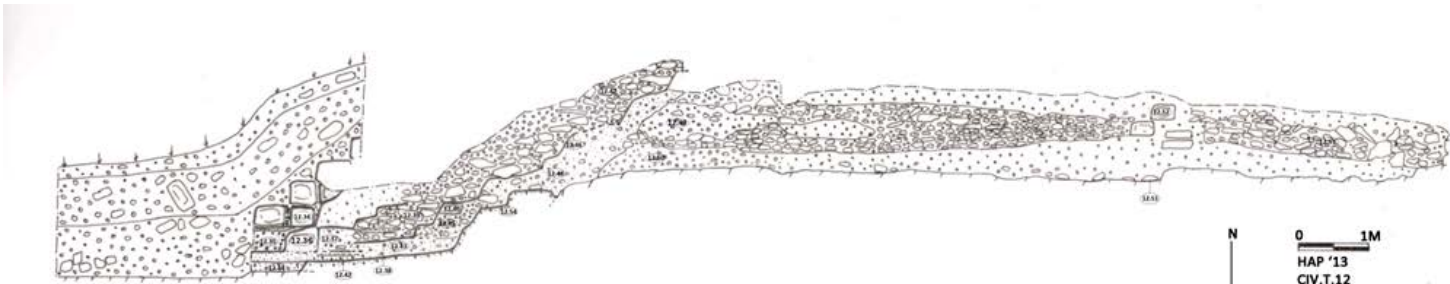


Figura 1.5 Vista de la Estructura 9 desde el este mostrando áreas excavadas(foto Estrada-Belli).

El túnel CIV.T.12 penetró por 17 m dentro del cuerpo piramidal de la Estructura 9 siguiendo el nivel de la roca natural desde el nivel de plaza. Dentro de esta excavación se pudieron documentar los restos de cinco fases constructivas de la Estructura 9 con escalinatas al este. La primera fase se caracteriza por ser enteramente labrada en la roca natural. Esta plataforma alcanzó aproximadamente 2m de altura. En su punto de arranque en el lado este se apreció una ampliación que se le aplicó con piedra y mezcla de cal para regularizar su forma con gradas. Sin duda esto se hizo para facilitar el acceso a la misma. Este rasgo inicial de la Estructura 9, que según los datos de excavaciones previas fue una pirámide radial durante la época Preclásica Tardía, corresponde con la primera fase de la estructura alargada del grupo tipo e de Cival, la Estructura 12, también labrada en la roca natural durante el Preclásico Medio. La modalidad con la cual se modelaron estas estructuras iniciales en Cival corresponde también a un patrón que se ha observado en la primera versión del conjunto tipo E de Ceibal y marca un evento de fundación de la primera arquitectura monumental con evidentes significado religioso.



a



N
0 1M
HAP '13
CIV.T.12
Estructura 9
Perfil Sur
25/6/2013
K. Ahern y A. Castillo

b

Figura 1.6. a) vista de la excavación CIV.T.12 en la Estructura 9, mostrando la escalinata e ingreso al túnel de investigación (foto F. Estrada-Belli). b) perfil del túnel CIV.T.12 (dibujo K. Ahern).

La excavación CIV.T. tenía el propósito de investigar posibles restos de mascarones o otros rasgos decorativos de la fachada de la pirámide Estructura 9. La misma fue colocada a media altura de la fachada este de la Estructura 9, en el centro y lado sur de la misma en conexión con una marcada protuberancia en la superficie de la fachada misma.



Figura 1.7. Vista de escalinata este y mascarón de la última fase de la Estructura 9 dentro de la excavación CIV.T.68

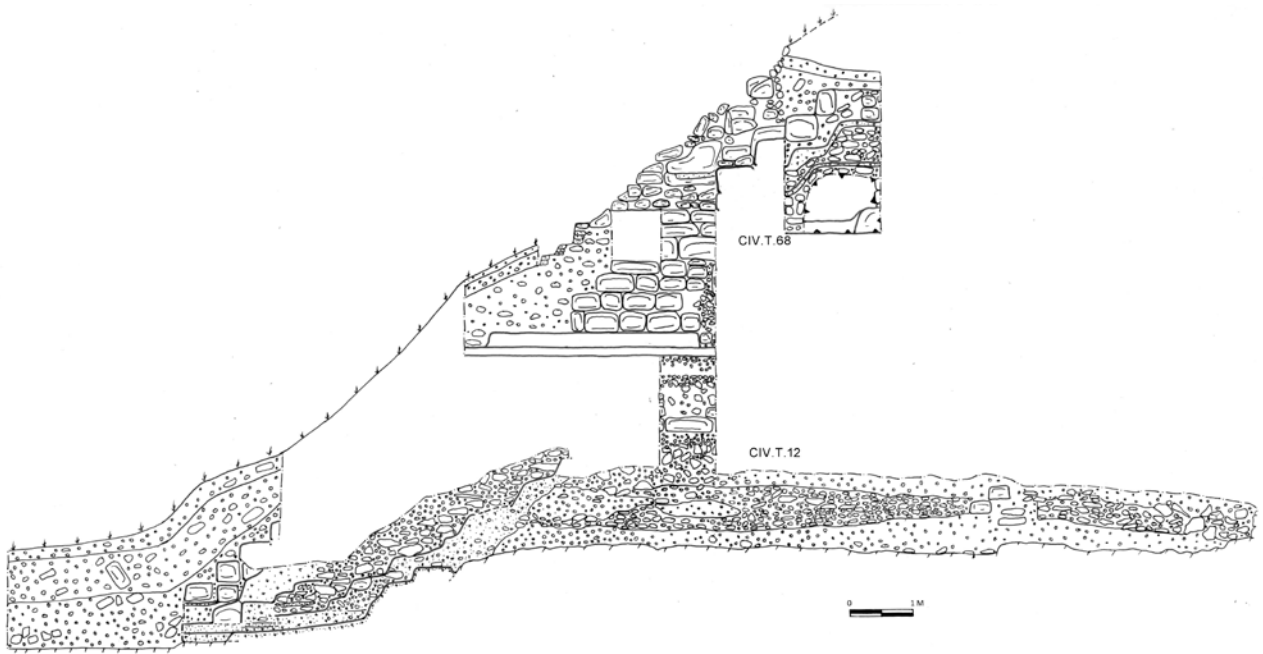


Figura 1.8. Perfil de las excavaciones CIV.T.12 y CIV.T.68 en la fachada este de la Estructura 9 (dibujos por K.Ahern y J. Calvo).

En la Pirámide Norte, la excavación de Kim Forrest CIV.T.67 investigó la fachada central de la estructura. En el lado oeste de la escalinata central la excavación pudo destapar restos de un mascarón mutilado perteneciente a la última fase del edificio. La mutilación se evidencia por los restos de estuco quemado asociado al mascarón así como se había observado en la Estructura 9 de la Plaza Principal. Inmediatamente debajo de esta fase se observaron restos de una fase anterior (penúltima) con estuco bien preservado. Sin embargo no se preservaron restos del mascarón siendo este mutilado así como el de la última fase. Penetrando en la esquina entre la escalinata y el mascarón sur se documentó a una profundidad de 11 metros la existencia de una subestructura. De la misma solamente se pudo apreciar un talud con molde remetido liso. De acuerdo a la cerámica recuperada de los rellenos cada una de estas fases constructivas de la Pirámide Norte pertenece al Preclásico Tardío.



Figura 1.9. Vista de la fachada (sur) de la Pirámide Norte al iniciarse las excavaciones. (foto: F. Estrada-Belli).



Figura 1.10. Vista hacia el oeste de la escalinata y mascarón mutilado de la penúltima fase de la Pirámide Norte en la CIV.T.67 (Foto F. Estrada-Belli).



Figura 1.11. Vista de la sección de talud con molde remetido de la fachada (lado sur de la escalinata central) de la tercer última fase de la Pirámide Norte (foto: Estrada-Belli).

En la pirámide principal del sitio se intervino en la conservación del túnel de acceso a los mascarones de la subestructura y a la consolidación del relleno de la trinchera posterior a la estructura. En el túnel de acceso principal, que penetra la estructura en su lado oeste, se levantaron paredes laterales con piedra y mezcla de cal y arena recuperados del material de relleno de la misma estructura. De la misma forma, utilizando lajas obtenidas del relleno de la estructura se construyó una bóveda por todo el corredor de acceso, por una longitud de aproximadamente 12 metros.



Figura 1.12. Vista del túnel de acceso durante la construcción de muros y bóveda. (foto: Estrada-Belli).

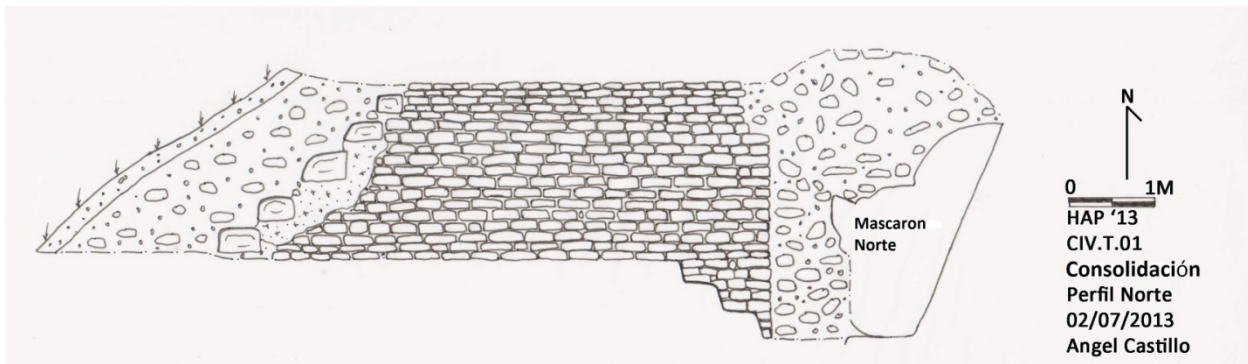


Figura 1.13. Perfil del túnel de acceso a los mascarones de la Estructura 1 de Cival mostrando el tramo consolidado con boveda (Dibujo: A. Castillo).

Durante los trabajos de limpieza del relleno del túnel de acceso al mascarón de la Estructura 1 se recuperaron dos bloques de piedra caliza con una restos de pintura. Un bloque presento la imagen del rostro del dios del maíz con los brazos levantados sobre la cabeza. Sobre su cabeza se observa el signo “ahaw” de cual se desprende una larga cola de pelo oscuro, lo cual es un elemento común en las representaciones del dios del maíz. Otros elementos de interés son la forma de la boca y del ojo. Pintura roja se observa sobre las mejías y lados de la frente. Pintura amarilla recubre el área del ojo. La orejera y una voluta sobre ella están pintadas de blanco. Por la posición de los brazos sobre la cabeza es posible que en este caso el dios del maíz este representado danzando.



Figura 1.14. Bloque pintado de la Estructura 1 de Cival mostrando un perfil del rostro del dios de maíz en una posible escena de danza (foto F. Estrada-Belli).

El segundo bloque, de dimensiones inferiores al primero, solo presenta un fragmento de pintura en el cual se aprecia un signo jeroglífico. Ambos fragmentos de pintura pueden fecharse estilísticamente para el Preclásico Tardío.



Figura 1.15. Segundo bloque pintado con elementos iconográficos(Foto F. Estrada-Belli).

HOLMUL

El segundo objetivo de la temporada 2013 fue investigar la arquitectura de templos-pirámides y la escultura monumental que frecuentemente las acompaña en el Preclásico Tardío (350 a.C. – 200 d. C.). A tal fin, se exploraron áreas de la plataforma del Grupo II de Holmul en la cuales se habían encontrado algunos de los ejemplos más antiguos de arquitectura y escultura monumental de las Tierras Bajas. Estas corresponden a las primeras fases constructivas de los edificios B, F y N. Para reconstruir el arreglo completo de los primeros edificios templo-pirámide sobre la plataforma del Grupo II se escogieron los edificios A y C. Su orientación, forma y decoración podrían darnos la oportunidad de conocer la función y significados asociados a este conjunto ceremonial temprano. Las actividades de 2013 fueron exitosas en alcanzar los siguientes resultados:

- 1) En el Edificio C se documentó la fachada de la primera y segunda fases constructiva de la estructura.
- 2) Asociada a la segunda fase del Edificio C se documento la parte de un mascarón representante un rostro humano y garras de ave.
- 3) En el Grupo 1 se documentó (capítulo 6) un nuevo mascarón asociado a una subestructura del Edificio D del Preclásico Tardío. Este es el segundo ejemplar de mascarón de Chaak que se haya encontrado en la región de Holmul (con el de Dos Aguadas de 2012) y es un nuevo dato para entender la gama de deidades a las cuales se les dedico estructura piramidales durante el Preclásico
- 4) En el Edificio A, se confirmo la forma y función de una subestructura del mismo como templo dedicado a linaje dinástico local, de acuerdo a la iconografía y textos recuperados de su friso.

- 5) El texto asociado con este friso menciona relación política con los reinos de Naranjo (Sak Chwen) y Kaan lo cual tiene importantes implicaciones para entender la complejidad política de los estados mayas (véase capítulo 9).

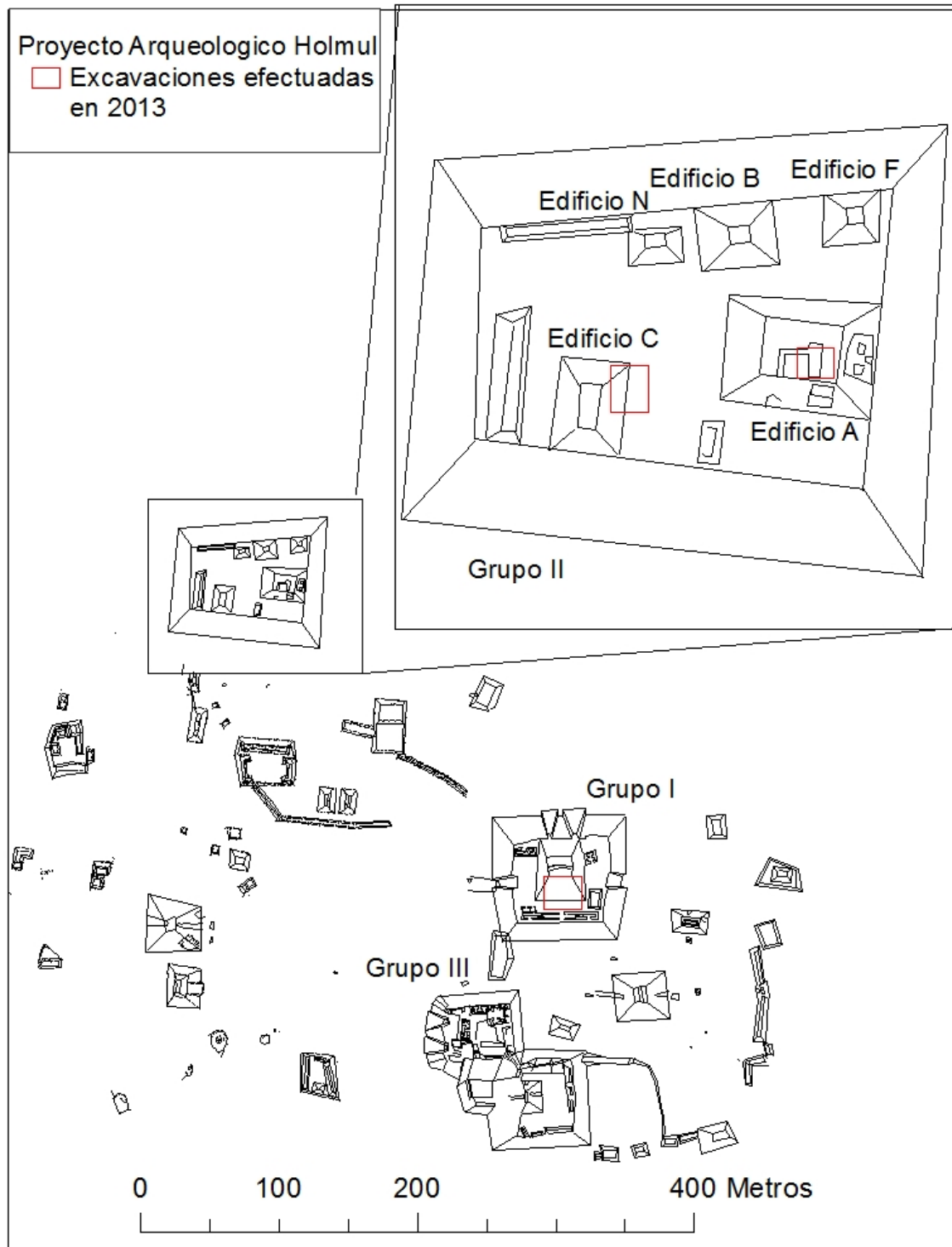


Figura 1.16. Mapa de Holmul mostrando áreas excavadas en 2013 (en rojo).



Figura 1.17. Vista desde el norte del mascarón norte de la fachada este de la segunda fase constructiva del Edificio C, Grupo II. (Foto F. Estrada-Belli).



Figura 1.18. Fotomosaico del friso de la subestructura de Edificio A, Grupo I (foto: a. tokovine)..

Conclusiones

Durante la temporada de 2013 se alcanzaron importantes metas de la investigación multi-anual e interdisciplinaria del Proyecto Arqueológico Holmul. El mapeo de áreas residenciales en el norte de Cival, llevado a cabo por Antolín Velazques documentó importantes patrones de asentamiento y uso de la tierra durante las épocas Preclásica y Clásica. Las áreas de asentamiento abarcan un área de hasta 7.5 km más al norte de Cival. Por un lado este dato es sorprendente por evidenciar una extensión de las áreas de asentamiento alrededor de Cival mucho más allá de lo que era predecible. Sin embargo, esto también se puede deber al traslape que pueda haber con el área residencial de época posterior alrededor de otros centros vecinos como por ejemplo Witzna' que es un centro primario de la época Clásica. La extensión y densidad poblacional de esta área mapeada en 2013 también se debe a la cercanía de abundantes fuentes de agua como son el río Holmul y muchas aguadas a lo largo de su curso así como de terrenos bajos cultivables. Es decir que una vez más las áreas de bajos estos datos evidencian la importancia de los terrenos de bajos para el sostén de alta densidad poblacional desde la época Preclásica a la Clásica.

Los datos de asentamiento proporcionados por el mapeo arqueológico complementan un estudio medio ambiental llevado a cabo por los doctores Wahl y Anderson de USGS por medio de sedimentos lacustres. Cabe mencionar que la recolección de sedimentos de la laguna Ek Naab fue exitosa. Los datos de este estudio aun se encuentran en una fase muy preliminar. Sin embargo se puede reportar aquí que durante la temporada 2013 se recuperó una columna de aproximadamente 9 metros de sedimentos lacustres. Aún se desconoce la antigüedad de los niveles más bajos alcanzados, sin embargo es evidente una sedimentación muy marcada la cual podrá proporcionar datos detallados de las pautas de cambios medio-ambientales en esta área en las épocas prehispánicas. Estos datos serán importantes para evaluar no solamente los impactos que la ocupación humana pueda haber tenido sobre el medio-ambiente local, sino también cuales fueron las circunstancias medio-ambientales durante las fases de transición del Preclásico Terminal y Clásico Terminal, durante las cuales se abandonaron los centros primarios vecinos de Cival y Witzna', respectivamente.

En el centro de Cival se logró avanzar en la conservación de la Estructura 1 del Grupo I, en lo que se refiere al túnel de acceso a los mascarones excavados en temporadas anteriores (2003 y 2004) así como de la consolidación de la superestructura que se ve seriamente afectada por una trinchera de saqueo. Los trabajos de consolidación deberán continuar en la próxima temporada para poder llegar a asegurar la estabilidad de este edificio y la accesibilidad a los mascarones. Los mismos representan una obra importante del arte escultórico del Preclásico Tardío y nos proporciona datos importantes sobre la función de la arquitectura sagrada preclásica.

Las excavaciones en el centro de Cival fueron exitosas en documentar las pautas constructivas de tres de las pirámides mayores del sitio. En la Pirámide Norte se pudieron documentar las últimas tres fases constructivas, las cuales fechan para la época Preclásica Tardía. Este dato, confirma el patrón evidenciado en investigaciones anteriores según el cual la ocupación terminal del centro ceremonial de Cival fecha aun dentro de la época Preclásica Tardía por lo menos en lo que se refiere a los edificios mayores. Un dato importante que se obtuvo de la Pirámide Norte que la última versión del edificio solo incluyó una remodelación del acabado de la estructura mientras que la penúltima fase constructiva representó una ampliación masiva de la pirámide.

Las investigaciones de la Estructura 9 del Grupo E obtuvieron datos interesantes sobre la secuencia constructiva de esta pirámide radial. Se pudo confirmar que su primera fase constructiva, del Preclásico Medio, fue modelada sobre un montículo de roca natural. De las cinco fases constructivas detectadas por las excavaciones en la base de la pirámide la tercer ultima fue la mayor. Es probable que esta fase constructiva sea contemporánea a la ampliación masiva de la Pirámide Norte recién mencionada y que ambas fechen para el 1 siglo antes de Cristo o el inicio de la era Cristiana.

En Holmul, se investigaron los grupos ceremoniales I y II con el fin de ampliar el conocimiento de las fases constructivas de estos complejos ceremoniales que se había iniciado a documentar en temporadas anteriores. En la investigación en el Edificio C del Grupo II, que en su fase última fue un edificio residencial de la época Clásica Tardía, se detectaron las primeras tres fases constructivas que remontan a la época Preclásica Tardía. Aunque no se disponga de datos radiométricos es muy probable que la primera fase sea contemporánea a la primera fase del Edificio B del mismo grupo con el cual comparte un piso de plaza formando un patrón tríadico. Es decir que la primera fase del Edificio C podría fecharse al siglo cuarto a. C. Asociado a la fachada oeste de esta estructura se documentaron los restos parciales de dos mascarones. La iconográfica de estas esculturas representa deidades solares o gobernantes con tocado de ave primordial durante la fase Preclásica Tardía.

En el Edificio A del Grupo II, se pudo documentar la existencia de una subestructura plenamente conservada y decorada con un espectacular friso de estuco modelado y pintado con coloración policroma inmediatamente debajo de la última fase constructiva del edificio. La subestructura, que tiene una orientación este-oeste, fecha para el inicio del Clásico Tardío, cerca del año 600 d.C. de acuerdo a los datos epigráficos asociados al friso. Es interesante notar que en esa época el Edificio A aun conservaba la orientación propia de los edificios Preclásico formando un patrón tríadico con los edificios B y C. Sin embargo, la versión final del edificio presentó su fachada principal hacia el sur. El friso representa las figuras de tres gobernantes divinizados surgiendo de cerros sagrados entre serpientes emplumadas y alimentados por los dioses del inframundo. Dos emblemas iconográficos esculpidos en las fachadas laterales sugieren que este edificio haya sido un templo para la veneración de gobernantes ancestrales de la dinastía local. Como se menciona más detalladamente en el capítulo 8, el hallazgo de este friso es importante debido al alto grado de conservación del relieve, la complejidad de la representación iconográfica y la información histórica que proporciona la inscripción dedicatoria. Esta última representa el dato más importante ya que ilustra ciertas

relaciones políticas con la vecina Naranja y el Reino Kaan proporcionando datos históricos nuevos para entender las relaciones entre los poderes políticos a través de todas las tierras bajas mayas en la época Clásica Tardía.

Las investigaciones en el Grupo I de Holmul pudieron documentar fases constructivas del Preclásico y Clásico, aun si de manera parcial, relacionadas con el Edificio D, que es la pirámide principal de este grupo. La fase más antigua detectada en la excavación de Anya Shetler (capítulo 6) fecha para la parte final del Preclásico Tardío (1er siglo d. C.) y fue decorada con mascarones estucados que representan el rostro de Chaak la deidad de la lluvia. Este dato es interesante debido a que las representaciones de Chaak en la escultura monumental Preclásica son muy escasas. Sin embargo este hallazgo subraya la importancia de esta deidad en el ritual público del Preclásico Tardío. Cabe mencionar también el importante hallazgo de un entierro del Clásico Temprano en el eje principal de este mismo edificio cuya ofrenda funeraria incluye tres vasijas trípodes de estilo Teotihuacano. Su importancia se debe al hecho de documentar por primera vez la presencia de cerámica de estilo Teotihuacano en el centro ceremonial de Holmul ya que hasta la fecha solamente se habían observado este rasgo en el centro periférico de La Sufricaya. Este patrón, a la vez, había sugerido una distinción en la distribución de estilos entre los dos centros rituales. Sin embargo este hallazgo sugiere que durante el Clásico Temprano Holmul así centro político en su totalidad tenían ciertos enlaces con Teotihuacan y Tikal (véase Estrada-Belli et al. 2009). Este dato a la vez, apoya a las teorías según las cuales Tikal había intervenido en las dinastías de varias ciudades vecinas, como Holmul, durante la fase de mayor contactos con Teotihuacan en el Clásico Temprano.

Agradecimientos

Las investigaciones de 2012 fueron posibles gracias a un convenio del Ministerio de Cultura y Deporte y el apoyo del ministro Lic. Carlos Batzín, de la vice-ministra Licda. Rosa María Chan, del director de Patrimonio Cultural y Natural Lic. Oscar Mora y de la Jefa del Departamento de Monumentos Prehispánicos Ana Lucía Arroyave. PACUNAM, Alphawood Foundation y MAI proporcionaron los fondos necesarios a la investigación. Boston University proporcionó aval académico. Las empresas ARB-USA y Summitracing participaron con donaciones de equipo. Se agradece el aporte de todos individuos e instituciones que contribuyeron a la realización de estas investigaciones.

Capítulo 2. Exploraciones y mapeo al norte y noreste de Cival, Petén Guatemala

Antolín Velásquez López (USAC)

Introducción

El Proyecto Arqueológico Holmul es un proyecto de investigación regional multidisciplinaria, dirigida a documentar los cambios en el medio ambiente así como las pautas históricas del desarrollo de los centros de poder y ritual público a lo largo de los periodos Preclásicos y Clásicos en las Tierras Bajas Mayas, utilizando la ciudad y su territorio como un microcosmo para entender la política, economía e ideología del estado maya, no sólo en los centros ceremoniales con sus templos y palacios, sino también las áreas periféricas con sus grupos residenciales y de producción, como un conjunto orgánico con los centros más cercanos a Holmul, para lo cual el mapeo y el reconocimiento, es de suma importancia. En la temporada 2013, se realizó, el reconocimiento y mapeo arqueológico, en la parte norte y noreste del sitio arqueológico Cival para identificar la distribución del área habitacional.

Geografía y contexto arqueológico

La región de Holmul y sus sitios, se localiza aproximadamente a 35 km al este de Tikal y 20 km al norte de Naranjo, abarcado un área de por lo menos 100 km² al noreste de Petén, la topografía de la región es de naturaleza caliza con abundancia de fenómenos kársticos, localizada en un amplio terreno de bajos rodeada por serranías, escarpas (secciones elevadas del terreno) y ambientes variables con sus propios nichos ecológicos. El agua es uno de los factores determinantes que explica la organización del territorio y que condiciona su ordenación, varios sitios de la región se encuentran en proximidad del curso del río Holmul y de otras fuentes de agua.

La cuenca del río Holmul se despliega por unos 120 km hasta desembocar en la bahía de Chetumal, cambiando su nombre en varios lugares, río Chanchich y luego a río Bravo antes de confluir con el río Hondo, el *Alto Holmul* surge en la cima de la serranía al norte del lago Macanche, se introduce en los bajos Socotzal e Ixtinto al sur Tikal, adentrándose en bajo Santa Fe, al este de Tikal, surgiendo el *medió Holmul* extiéndose rumbo al este pasando junto a Nakum y termina al norte del Naranjo, donde cambia su dirección hacia el norte, iniciando el bajo Jobal la corriente se torna más cuantiosa y violenta durante la temporada lluviosa, produciendo grandes depósitos de agua que llegan a superar incluso el kilómetro, como se observa en Cival.

Holmul (La Riverita) fue una ciudad grande habitada continuamente a partir del 1100 a.C. al 900 d.C. siendo el más tardío de una serie de centros primarios en esta región,

se localiza en un área de colinas a 1000 m del curso del río, al oeste en el interior de esta área de colinas se sitúa el sitio o grupo ceremonial de Holmul conocido como *La Sufricaya* ubicado a 1000 m de la plaza principal de Holmul constituido en una serranía estrecha orientada de noroeste a sureste de 150 m de largo.

En lado opuesto del río en una serranía estrecha, se localizan *T'ot* (Caracol) a 4 km al suroeste del centro del Holmul. Un sitio conocido como *Riverona* se sitúa a 3.4 km al sur del centro de Holmul en una serranía que se orienta de noroeste a sureste. *K'o* (Lechugal) se ubica a 4.6 km al sureste del centro de Holmul en una serranía orientada de noroeste en proximidad del bajo El Jobal a pocos metros de la aguada del Lechugal y un arroyo que sigue del río Holmul hacia la laguna Yaloch a 10 km al este. *Hamontun* (El Perú) se localiza a 4 km de distancia de Holmul, en dirección noreste en el lado este del río Holmul a 1.6 km del mismo y en un área de colinas caracterizada por arroyos y manantiales.

En el parte norte a 2.3 km del centro de Holmul se localiza *Sisia'* asentado sobre un cerro elevado y con características del período Preclásico Tardío, con arquitectura ceremonial formada por estructuras en forma piramidal, un Patrón Trádico y un Grupo Tipo E. En el sector noroeste del área de colinas en proximidad de bajo Tintal se localiza *Hahakab* (El Tintal) a 2.8 km del centro de Holmul.

A 7 km al norte de Holmul se ubica *Cival*, desde su descubrimiento en 2001 investigaciones en el centro y su periferia se documentó una ocupación que inició en 1100 a.C. final del Preclásico Temprano y finalizó en el período Protoclásico 200 d.C. Su extensión, escultura monumental, iconografía, ofrendas y diversidad de los conjuntos arquitectónicos demuestra fue el centro rector más temprano de una serie de centros primarios y parte de una organización de centros ceremoniales localizados a su alrededor.

Objetivos

El objetivo de este estudio es el reconocimiento, de conjuntos arquitectónicos cercanos al del sitio arqueológico Cival y la documentación de las diferentes configuraciones que presenta el asentamiento sobre la superficie terrestre y utilizar algunas de las funciones del software ArcGIS, para analizar un mapa arqueológico.

Metodología y Equipo

El equipo de mapeo utilizó un GPS Garmin Map 62sc que permite la incorporación de imágenes satelitales LANDSAT (Figura 1), con resolución de 15 m en la imagen, combinando bandas multiespectrales con la pancromática de 30 m. Las bandas multiespectrales muestran variaciones en el relieve superficial a través de tonos contrastantes, por lo cual se pueden identificar como *anomalías*. Se visitó cada anomalía, se gravó el trayecto como track log o desplazamiento y se marcaron los waypoints o puntos de ubicación de arquitectura residencial, pirámides y palacios, así como otras obras arquitectónicas como chultunes, terrazas, plataformas, canteras. Además se registraron otros puntos geográficos que sirvieron como referencia, aguadas, arroyos y encaños. Se registraron los puntos con coordenadas UTM (Universal Transverse

Mercator), las cuales se anotaron en la hoja del cuaderno de campo relativa al mapa de cada conjunto.

El levantamiento se realizó con una brújula Silva 420 que se colocó sobre la marca del punto GPS y con la cual se orientó directamente el rasgo arquitectónico. Las dimensiones de las estructuras se determinaron con una cinta. Además se utilizó Estación Total Topcon en conjuntos monumentales, con la que se obtuvieron las coordenadas tridimensionales de cada punto, la altura del prisma (Z) y la distancia geométrica (S) en los distintos puntos que se requieran para delimitar la forma de una estructura.

Los diversos datos obtenidos se trasladaron diariamente a una computadora portátil y fueron integrados en un Sistema de Información Geográfica (SIG) por medio del programa ArcGIS 9.3 de ESRI. Los datos geográficos fueron representados en tres formas básicas: polígonos, líneas y puntos en archivos Shapefile distintos. Cada Shapefile a su vez se compone de tres tipos de archivos: 1) shp (Spatial data): almacena rasgos geométricos (como forma y localización). 2) shx (Spatial data index): almacena el índice de los rasgos geométricos. 3) dbf (Attribute data): almacena la información de los atributos o la descripción de estos rasgos.

Toda la información recabada durante la temporada de investigación 2013 fue registrada con información espacial en forma de coordenadas UTM (Zona 16 N) utilizando el Datum WGS-84, lo cual permite la integración de datos digitales de diversos tipos (layers), como, arqueológicos, imágenes de satélite y texto en una sola base de datos digital. Este sistema permite la visualización, así como la utilización de importantes herramientas de análisis espacial, las cuales ayudan en la interpretación final de los componentes espaciales de un sitio arqueológico.

También se utilizaron datos raster en Modelos de Elevación Digital (DEM) que representan la superficie de suelo descubierto derivado de la topografía y utilizado en el sistema de información geográfica, como base para el mapa en relieve digital (Figura 2).

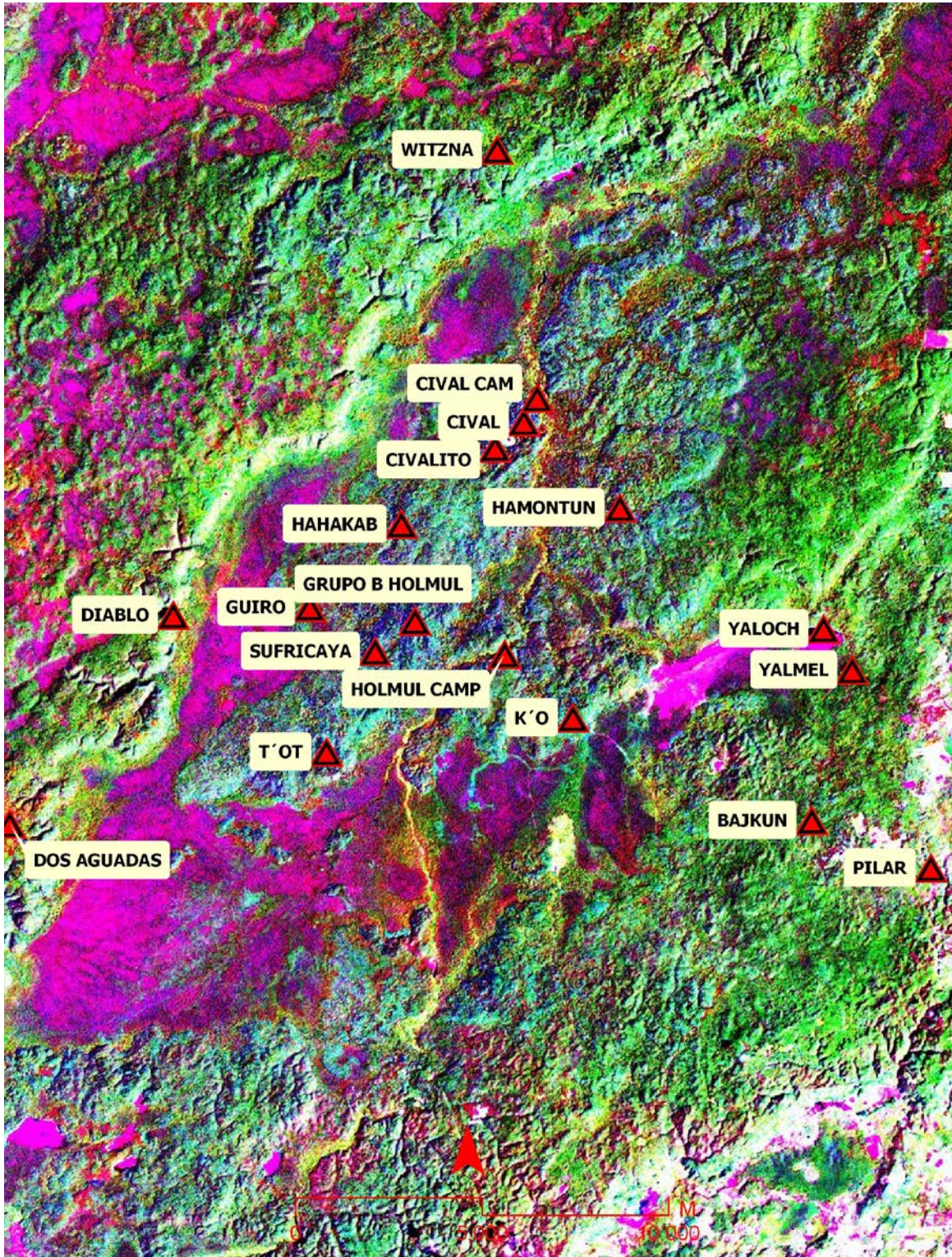


Figura 2.1 Imagen LANDSAT ETM+ (Enhanced Thematic Mapper Plus) 2001 sobre la región de Holmul área limítrofe Guatemala-Belize. Imagen A. Velásquez.

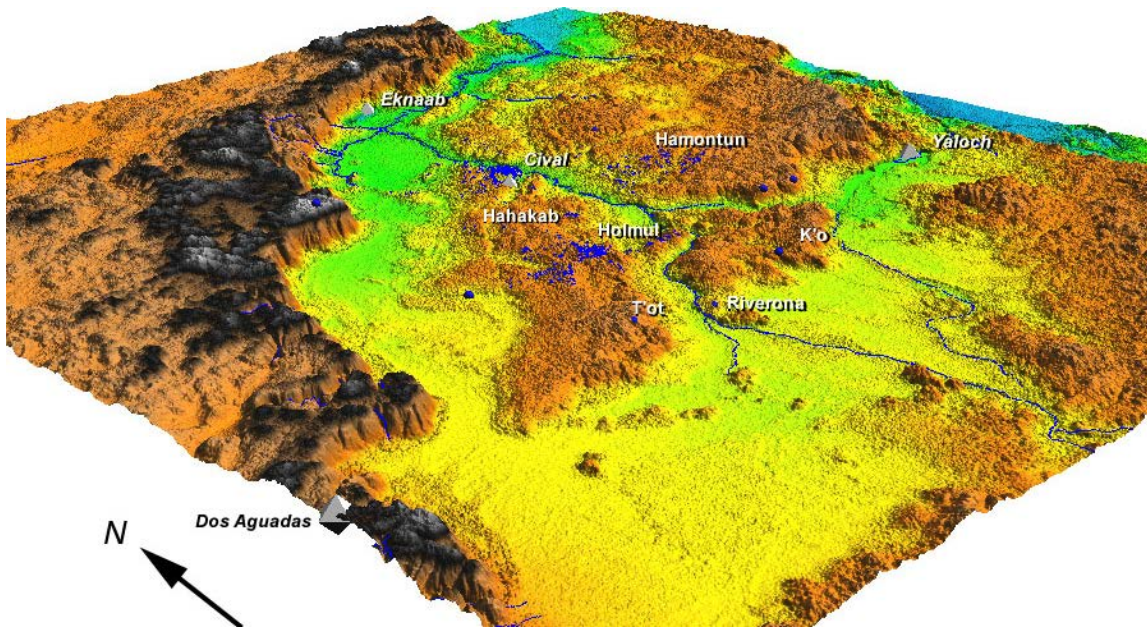


Figura 2.2 Mapa digital de la región de Holmul proyectados sobre un Modelo de Elevación Digital cortesía de NASA (AIRSAR 1999). Imagen F. Estrada-Belli.

Reconocimiento y Mapeo

En Junio 2008 se llevó a cabo un reconocimiento y levantamiento topográfico en las áreas residenciales del sitio, el área explorada se extendió por 2.5 km hacia el noreste, del centro de Cival, en una colina que se orienta de norte a sur, en la temporada 2013 los trabajos de reconocimiento y mapeo fueron concentrados en un área formada de varios sistemas geográficos, sobresaliendo una serie de colinas kársticas que van de noreste a suroeste extendiendo hacia el norte del área mapeada en la temporada 2008. El equipo de mapeo marcó 50 puntos GPS con arquitectura (Figura 3), correspondientes a 34 grupos y 16 estructuras aisladas, mapeándolos detalladamente. Además de registrar la localización exacta de 86 trincheras de saqueo, 14 chultunes, 5 pozas de agua y 1 arroyo, dentro de un área reconocida de aproximadamente 34 km².

A 6 km al noreste del centro de Cival se localizó el sitio CIV13GR35, el de mayores dimensiones explorado hasta ahora en este sector, situado sobre un sistema elevado que corre en dirección noreste a suroeste, delimitado hacia el norte y oeste por el curso del río Holmul, al sur y al este por áreas de bajos, su núcleo contiene estructuras construidas sobre colinas naturales modificadas, pudiendo observar no sólo estructuras residenciales, sino también religiosas y comerciales, dada la proximidad de las aguas del río. En los extremos norte y sur se observaron grupos tipo Acrópolis, mientras que el lado este una estructura piramidal y al oeste una plataforma alargada que en conjunto asemeja un Grupo Tipo E. Este sitio pudiera corresponder al sitio *Chanchich II* mapeado y reportado por V. Fialko en el reconocimiento regional realizado entre 1994 y 1996 en la cuenca baja del río Holmul.

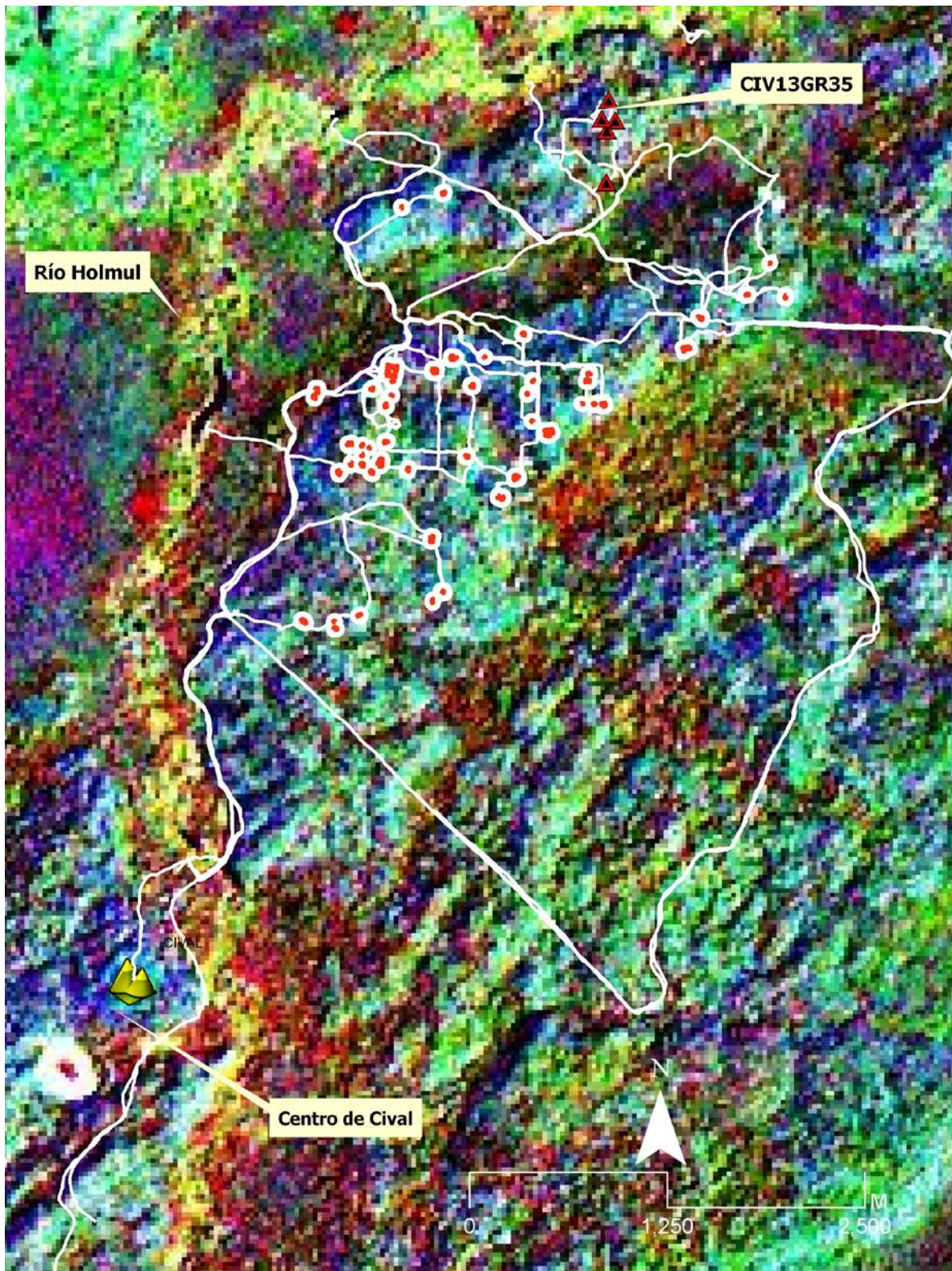


Figura 2.3 Mapa mostrando la ubicación los grupos residenciales afuera del centro de Cival y trayectos del reconocimiento (Topografía derivada de datos de LANDSAT ETM+ 2001). Imagen A. Velásquez.

Resultados y Observaciones

Las áreas usadas por los mayas para la construcción en esta zona fueron aquellas libres de inundaciones como la cima de cerros escarpados y las áreas intermedias entre los cerros y los bajos, acondicionándolas para la construcción por medio de plataformas basales o terrazas de diferentes alturas y formas que sostuvieron estructuras de en formas rectangulares, cuadradas, algunas en forma de “L”, y de “U”. Otras estructuras fueron construidas a nivel del suelo, se presentan aisladas o en grupos de dos o más estructuras, edificadas con piedra caliza generalmente cubiertas con estuco y de alturas variables, sometidas a varias remodelaciones, con diversas funciones, domésticas, administrativas o religiosas. Las estructuras se dispusieron de tal manera que forman espacios abiertos y cerrados.

El *patrón de asentamiento*, permite observar la presencia de recursos diferenciados, actividades jerarquías sociales, políticas, económicas y rituales internas. ArcGIS 9.3 cálculo el área 105 polígonos correspondientes a las bases de las estructuras y plataformas, creando una gráfica que permitió proyectar visualmente la distribución de las áreas de los polígonos (Figura 4). Las estructuras pequeñas y bajas, con un área entre 16 m² y 506 m², las estructuras medianas elevadas con un área entre 525 m² y 4425 m² y únicamente se mapeo un grupo con un área de 4915 m² arquitectónicamente mayor y se localizó un grupo que alcanzó un desarrollo monumental elitista.

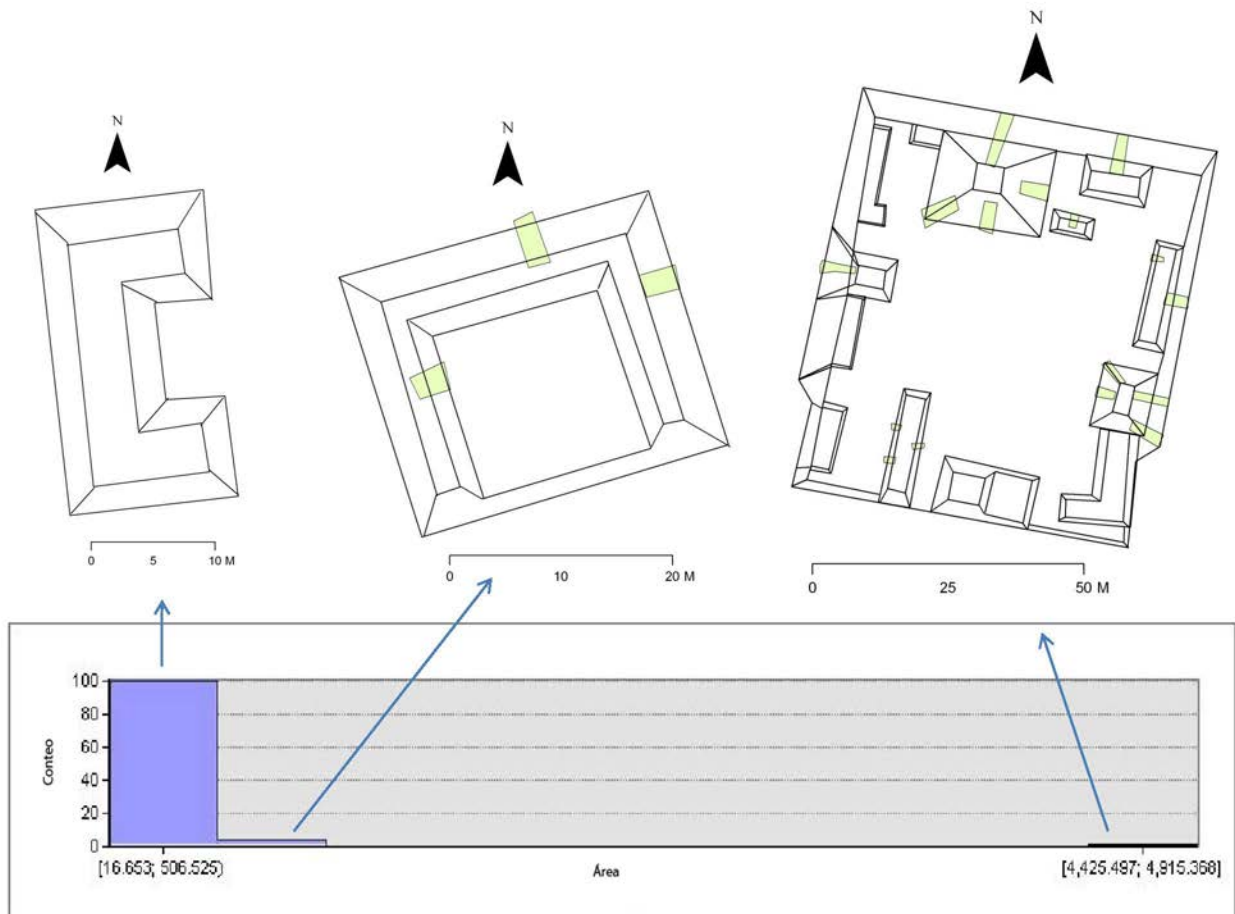


Figura 2.4 Gráfica de cálculo de áreas de bases de las estructuras generada por ArcGIS 9.3. mostrando los conjuntos de mayor tamaño. Imagen A. Velásquez.

La mayoría de estructuras fueron ubicadas en la cima de cerros, en su mayoría con función doméstica y algunos casos administrativas y religiosas, la organización de los grupos habitacionales exhibe una población dispersa y separada geográficamente por encañones, arroyos y áreas de bajos. Los rasgos arquitectónicos incluyen estructuras multi-habitacionales de mampostería y bóveda y se distinguen por estar localizados en la periferia más lejana del área de asentamiento de Cival. La mayoría de estos parece estar relacionada a una ocupación elitista en un área rural con ocupación muy esparcida.

Las labores de reconocimiento y mapeo en la temporada 2013 fueron posibles gracias al trabajo diario de Maynor Segura, Juan De La Cruz, Estuardo Veliz y Jorge Torres. Con los datos de esta temporada se ha logrado preparar un mapa digital de carácter preliminar detallado del área noreste de Cival, el cual se integra al mapa digital de la región de Holmul (Figura 5).

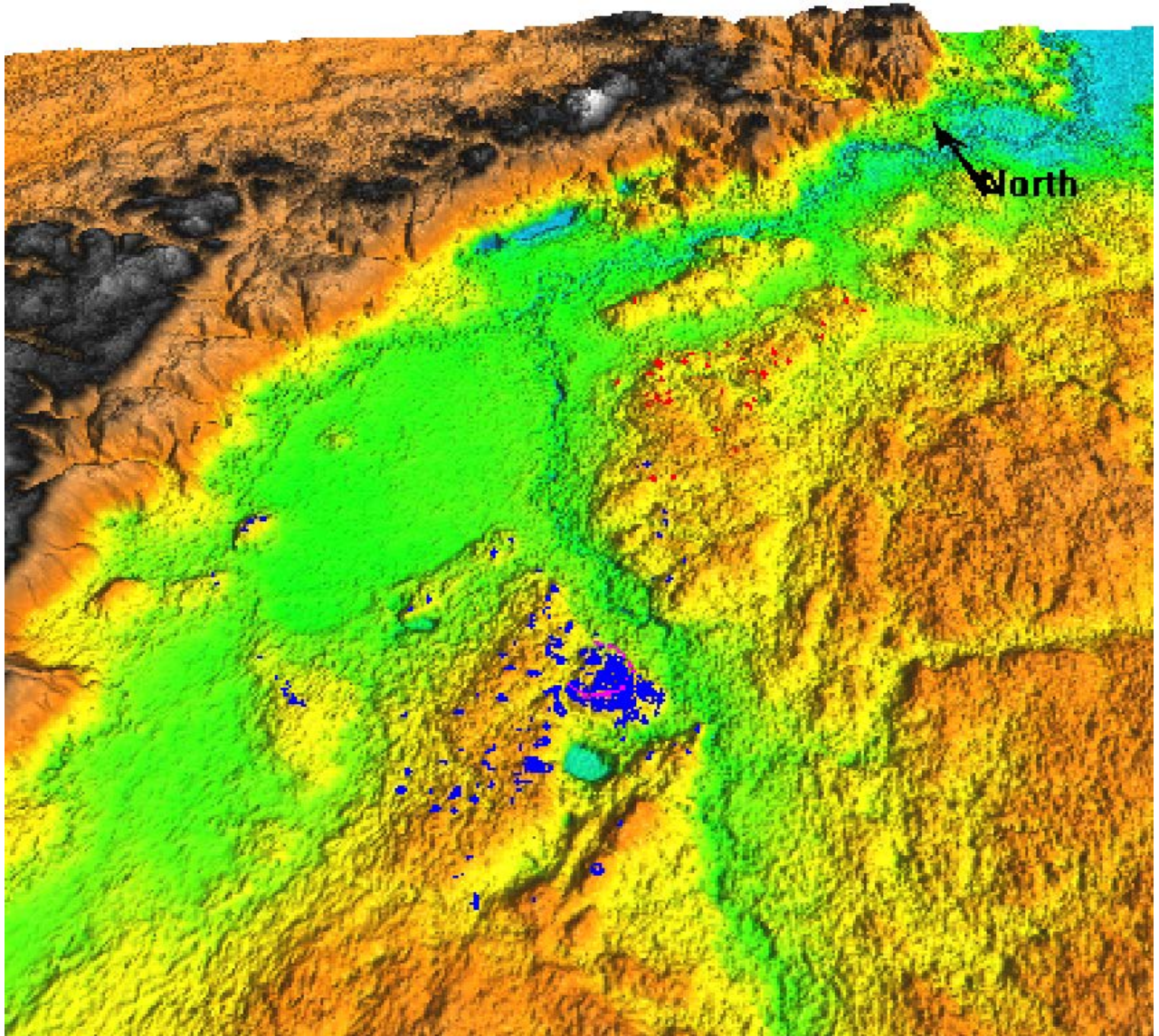


Figura 2.5 Mapa de Cival proyectados sobre un Modelo de Elevación Digital cortesía de NASA (AIRSAR 1999), años anteriores (azul), 2013 (rojo). Imagen A. Velásquez.

Conclusiones

El equipo de reconocimiento cubrió un área de aproximadamente de 34 km² logrando mapear, 34 grupos y 16 estructuras aisladas, edificadas o construidas generalmente a nivel del suelo y en pocos casos sobre plataformas basales, terrazas de nivelación edificadas con piedra caliza, cubiertas de estuco generalmente sujetas a varias remodelaciones, 86 trincheras de saqueo, 14 chultunes, 5 pozas de agua y 1 arroyo. Además de la localización del grupo arquitectónico denominado como CIV13GR35 (*Chanchich II*) que dista aproximadamente a 6 km al noreste del centro de Cival, correspondiendo a un patrón de asentamiento residencial complejo, distribuidos y construidos frecuentemente en las partes más elevadas de colinas naturales,

El mapeo y el uso del sistema SIG como una herramienta analítica para calcular volúmenes arquitectónicos ha provisto un mejor entendimiento entre la relación espacial de los grupos, las estructuras, los rasgos de interés sobre el paisaje y la topografía, determinado un patrón de asentamiento a nivel de sitio en pequeñas aldeas dispersas separadas por los encaños, las áreas inundables y las colinas naturales que dominan la región, variando su dimensiones, estatus y especialización de producción. A nivel de región, los grupos y estructuras mapeadas en la presente temporada muestran una relación directa con los centros mayores de la región de Holmul, con puntos estratégicos en áreas elevadas, en cercanía a grandes bajos y fuentes de agua.

El sitio CIV13GR35 (*Chanchich II*) formó parte de la estructura de centros ceremoniales que compartieron grupos tipo E. Aunque no se tienen datos directos, se supone que su ocupación se remonta a la época Preclásica durante la cual Cival fue el centro rector y existieron un número grupos Tipo E y otras estructuras monumentales en la región. No se cuenta con una cronología para cada asentamiento, pero la mayoría de estructuras presenta características propias de del periodo Clásico. En ellos se incluyen estructuras multi-habitacionales de mampostería y bóveda. Debido a estas características, la mayoría de los grupos parece estar relacionada a una ocupación elitista en un área rural con ocupación muy esparcida. Los pocos grupos del periodo Preclásico generalmente presentan rasgos arquitectónicos como un grupo de estructuras de mampostería colocadas sobre una plataforma basal.

Las descripciones anteriores son de carácter preliminar nos permiten tener una buena aproximación de las características del sitio, es evidente que para conocer mejor la secuencia constructiva y de ocupación del sitio, se requiere de excavaciones arqueológicas controladas, que permitirían comprender la naturaleza y función de los sitios.

Capítulo 3. Excavación CIV. T. 66, Estructura 1, Grupo I, Cival

Ángel Castillo, USAC/CUDEP

Introducción:

La excavación CIV.T.66 se efectuó con el propósito de seguir investigando la cronología de las fases constructivas de la Estructura 1 del Grupo I (Grupo Tríadico) de Cival. Las medidas iniciales de la excavación fueron de 3m de Norte a Sur por 1.50m de este a oeste. El Grupo I es un Grupo Tríadico y tiene la plataforma más alta del sitio midiendo 70m por 40m y 20m de alto. Soporta 5 estructuras pequeñas, una de estas siendo la Estructura 1 cuya cumbre registra una altura de máxima de 33 metros sobre la plaza. La Estructura 1 tiene una enorme trinchera de saqueo que en temporadas de excavaciones anteriores ya había sido registrada como CIV. L.01. La excavación CIV.T.66 se situó dentro de dicha trinchera de saqueo para documentar la arquitectura dañada. En la Estructura 1 también ya se había hecho un túnel en su fachada oeste en las temporadas de campo del 2003 y 2004. Esta excavación tenía el número CIV.T.01 y en esta temporada 2013 se reabrió con el propósito de consolidarlo y prevenir derrumbes sobre los dos mascarones encontrados dentro del mismo espacio.

Descripción de la Excavación CIV.T.66:

La excavación se empezó con el número de contexto CIV.T.66.01. Este contexto corresponde a lo que es el relleno de saqueo mezclado con colapso de la última fase constructiva (el colapso es debido a los años que ha estado expuesta a las influencias de la naturaleza dicha trinchera de saqueo). Este contexto consiste más que todo de tierra gris y tierra blanca, piedras grandes de 0.25 m x 0.12 m x 0.20 m, piedra pequeña de 0.20 m x 0.7 m x 0.15 m, pedrín de 0.8 m x 0.3 m x 0.4 m y bloques de 0.80 m x 0.20 m x 0.40 m. El material cerámico recolectado de este contexto fue muy poco y mezclado debido a que es relleno de saqueo y colapso. Material lítico como pedernal no se observó en todo el contexto, solo se recuperó un fragmento de navaja de obsidiana al cual se le dio el número de hallazgo CIV.T.66.01.05.01 (véase figura 1).



Figura 3.1 Fragmento de obsidiana (Foto por Ángel Castillo).

Al seguir excavando hacia abajo se encontró un fragmento de pared en el perfil norte de la excavación (CIV.T.66.02; Figura 3). Se supone que esta pared fue mutilada por los saqueadores y que es el resto de la pared este del cuarto que existió sobre los mascarones encontrados en las temporadas 2003-2004 en la fachada de la penúltima fase de la Estructura 1 de Cival. El fragmento de pared mide 0.56m de alto por 0.46m de ancho. El estuco de esta se encuentra muy deteriorado lo cual permite ver las piedras que utilizaron para construir dicha pared. Son piedras pequeñas que miden aproximadamente 0.14 m x 0.6 m.

Después de descubrir bien el fragmento de pared anteriormente mencionado, en su base este se encontró un fragmento de plataforma que va hacia el este. A esta pequeña plataforma se le dio el número de contexto CIV.T66.03 (Figura 3). No se sabe en realidad que tan larga fuese esta plataforma de norte a sur, pero si se pudo observar que de este a oeste mide 0.65 m de ancho. La misma fue quebrada por saqueadores y pudimos observar que su estuco tiene un grosor de 6 cm. Este fragmento de plataforma solo se observa en el perfil norte de la excavación.

En la esquina este de esta pequeña plataforma se notó que empieza un talud, al que se le dio el número de contexto CIV.T.66.04 (Figura3). Al igual que CIV.T.66.03 este contexto solo se observa en el perfil norte de la excavación. Dicho talud también fue dañado por saqueadores, se nota que estaba conformado por bloques que miden aproximadamente 0.82 m x 32 cm. De este talud solo se descubrió una profundidad de 2.63 m. Luego de llegar a dicha profundidad podemos decir con certeza que este fragmento de talud es la parte trasera de la penúltima fase de la Estructura 1 la cual se asocia a los mascarones encontrados en las temporadas 2003-2004.

A la profundidad mencionada de 2.63 m se tomó la decisión de hacer un túnel orientado al oeste, ya que el talud lo habían quebrado los saqueadores. El propósito de hacer este túnel fue para encontrar otra fase constructiva debajo de la estructura de los mascarones. Al relleno que se encuentra detrás del el talud CIV. T.66.04 se le dio el número de contexto CIV.T.66.05.

Este relleno se supone que fue puesto por los mayas para construir la penúltima fase constructiva, pero también no se descarta la idea de que este relleno sea aun de saqueo. El túnel en si tiene una altura de 1.20m y de 0.90m a 1m. A todo el relleno del túnel se le dio el mismo número de contexto, este relleno consiste de piedras grandes, tierra gris y blanca. Después de 6.40m de excavación del túnel se noto que el relleno aun es de saqueo, esto se pudo determinar debido a que se encontraron varios pedazos de palos que los saqueadores utilizaron. Aunque el relleno fue de saqueo siempre continúo con el número de contexto CIV.T.66.05.

A la profundidad de 6.40 m dentro del túnel se encontró un muro de contención alineado de Este a oeste. A este muro de contención se le dio el número de contexto CIV.T.66.06. Este muro está compuesto por piedras labradas que miden aproximadamente 30cm x 13cm. Este muro de contención no se descubrió en su totalidad debido a que corría riesgo de derrumbarse. Al encontrar este muro se tomo la decisión de seguirlo hacia abajo para ver si estaba colocado sobre algún piso. El pozo que se hizo siguiendo este muro fue de 1.30 m x 90 cm y solo llegó a una profundidad de 3 m. Al llegar a esta profundidad se notó que el muro de contención estaba flotante y que no se unía a ningún piso. Por esta razón se tomó la decisión de hacer un túnel orientado al oeste.

Al empezar este túnel se notó que en el perfil sur de la excavación estaban las escalinatas de lo que podría ser una estructura que está debajo de la penúltima fase (estructura de los mascarones). Estas escalinatas se encontraban cortadas por la misma trinchera de los saqueadores. A las escalinatas se le dio el número de contexto CIV.T.66.07. Como se mencionó anteriormente estaban sumamente dañadas y no se encontraban adjuntas a ningún otro cuerpo arquitectónico debido a la destrucción de los saqueadores. Las gradas tienen una medida de huella de 0.30 m y la contrahuella de 0.40 m. A unos 0.20 m abajo (hacia el oeste) de estas gradas se encontró un fragmento de cuerpo sumamente deteriorado (CIV.T.66.08). De este cuerpo solo se nota la caliza que utilizaron los mayas para construirla. Aquí se tuvo que cerrar esta excavación por razones de seguridad.

Consolidación del túnel CIV.T.01

Después de nueve años de estar cerrado el túnel de los mascarones de la Estructura 1 de Cival (CIV.T.01), por fin se logro conseguir fondos para poder restaurar el túnel para prevenir derrumbes y también poder tener mejor accesibilidad a estos. A pesar de que habían pasado nueve años que no se exponían, esta temporada cuando se reabrió el túnel se noto que estos no habían sufrido nada de derrumbes. El relleno se mantuvo fijo durante todos estos años. Sin

embargo, como medida preventiva en el 2004 los mascarones habían sido cubiertos con costales que contenían tierra cernida.

El material que se utilizó para restaurar el túnel CIV.T.01 es el relleno que salió de esta misma excavación. La restauración consistió en levantar paredes de bloques tallados en cada lado del túnel y construir una bóveda de lajas de piedra a lo largo del mismo túnel de acceso. Los bloques que se utilizaron fueron tallados de la misma piedra de relleno que se extrajo cuando se hizo la excavación en el 2003 y 2004. Los bloques fueron tallados de aproximadamente 0.33 m x 0.15 m. La pasta que se utilizó para pegar dichos bloques fue una combinación de cal con tierra finamente colada que también fue extraída del túnel cuando este fue excavado. La altura final del túnel es de 2m. A la altura de 1.70 m se empezaron a colocar las cornisas para hacer la bóveda del túnel, se dejaron tres cornisas en cada perfil para poder cerrar la parte superior del túnel con una laja (Figura 6). Cada cornisa iba saliendo por 0.10 m en cada perfil para que al final el espacio a cerrar no fuera tan grande, este espacio solo fue de 0.30 m y las lajas que se colocaron fueron de 0.50 m x 0.10 m (Figura 6, mascarón sur). También se hicieron tres gradas para llegar al nivel de la plataforma en la que arranca el mascarón norte (Figura 5). Estas gradas son de 0.45m de huella y 0.30m de contrahuella. En la base de la última grada el túnel se hizo más alto y quedó a una altura de 2.90 m.

En el proceso de la consolidación del túnel, cuando se removía el relleno del perfil norte para construir la pared consolidada se encontraron dos fragmentos de bloques estucados con pintura. Estos fragmentos en algún momento fueron parte de las paredes del cuarto que se encontraba sobre los mascarones de la penúltima fase constructiva. En uno de los fragmentos de mural se puede notar la figura posiblemente del dios del maíz y el otro símbolo no identificado (Figura 7).

Conclusión:

La excavación CIV.T.66 se tuvo que cerrar debido a que el relleno en el que se estaba haciendo el túnel estaba demasiado inseguro porque aun se estaba trabajando dentro de relleno de saqueo. A pesar de esto, dicha excavación nos brindó más información sobre la estructura de los mascarones encontrados en las temporadas del 2003-2004, como por ejemplo el fragmento de la pared Este del cuarto que se encontraba sobre los mascarones y el talud de dicha estructura (véase Figura 3). También pudimos determinar lo extenso que fue el daño que sufrió esta pirámide a mano de los saqueadores, ya que la última fase constructiva observada en esta excavación estaba totalmente destruida. En el túnel CIV.T.01 que da acceso a los dos mascarones encontrados en las temporadas del 2003 y 2004 no se concluyó el trabajo debido a

límite de tiempo por razón de lluvia, pero se planea seguir en la temporada 2014. Solo se logró consolidar el túnel de acceso a estos mascarones (Figuras 5 y 6).

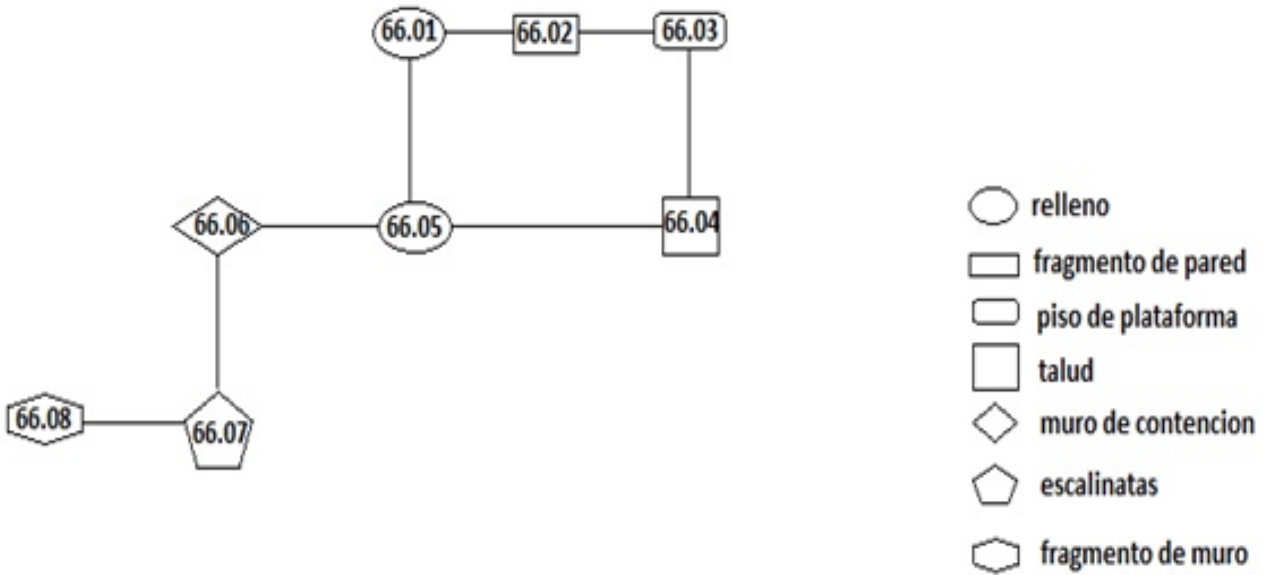


Figura 3.2 Matris de Harris para la excavación CIV.T.66

La Matris de Harris es un diagrama de las relaciones estratigráficas entre todos los tipos de contextos de una excavación (Harris 1989)

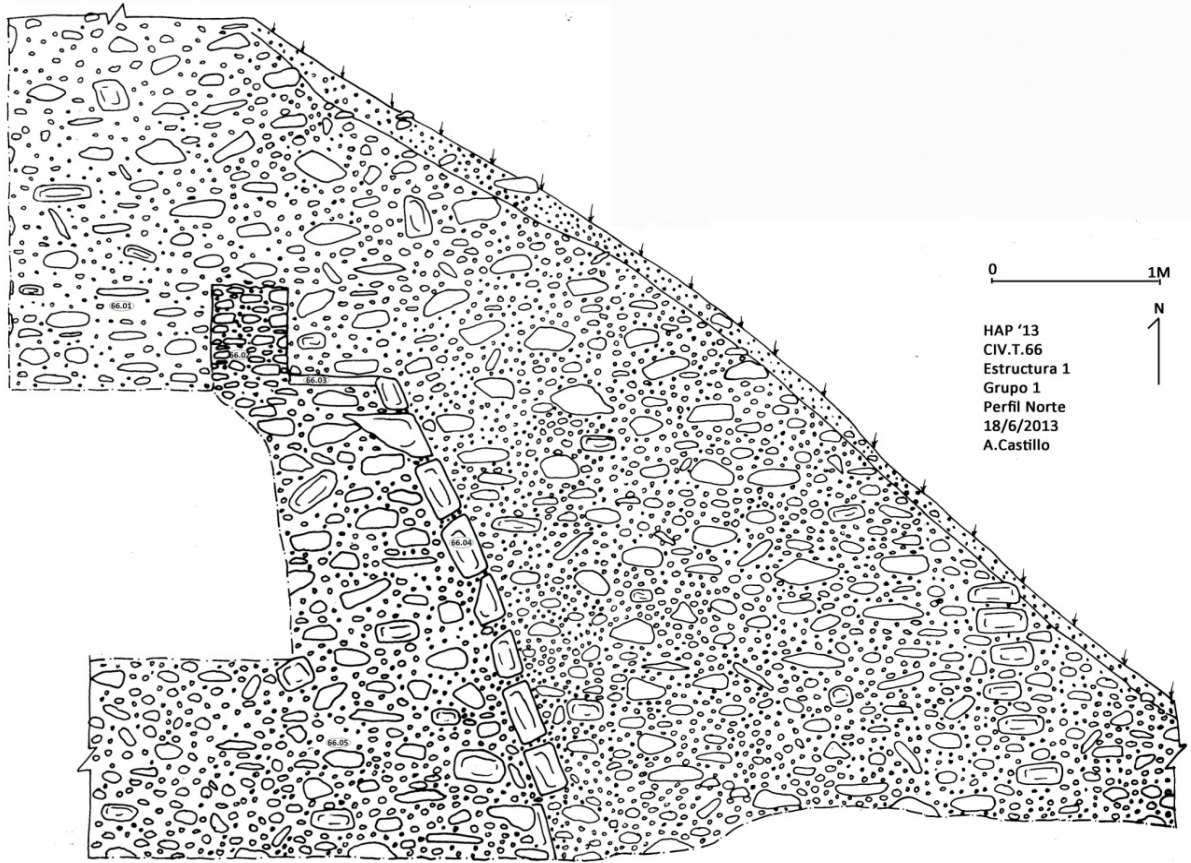
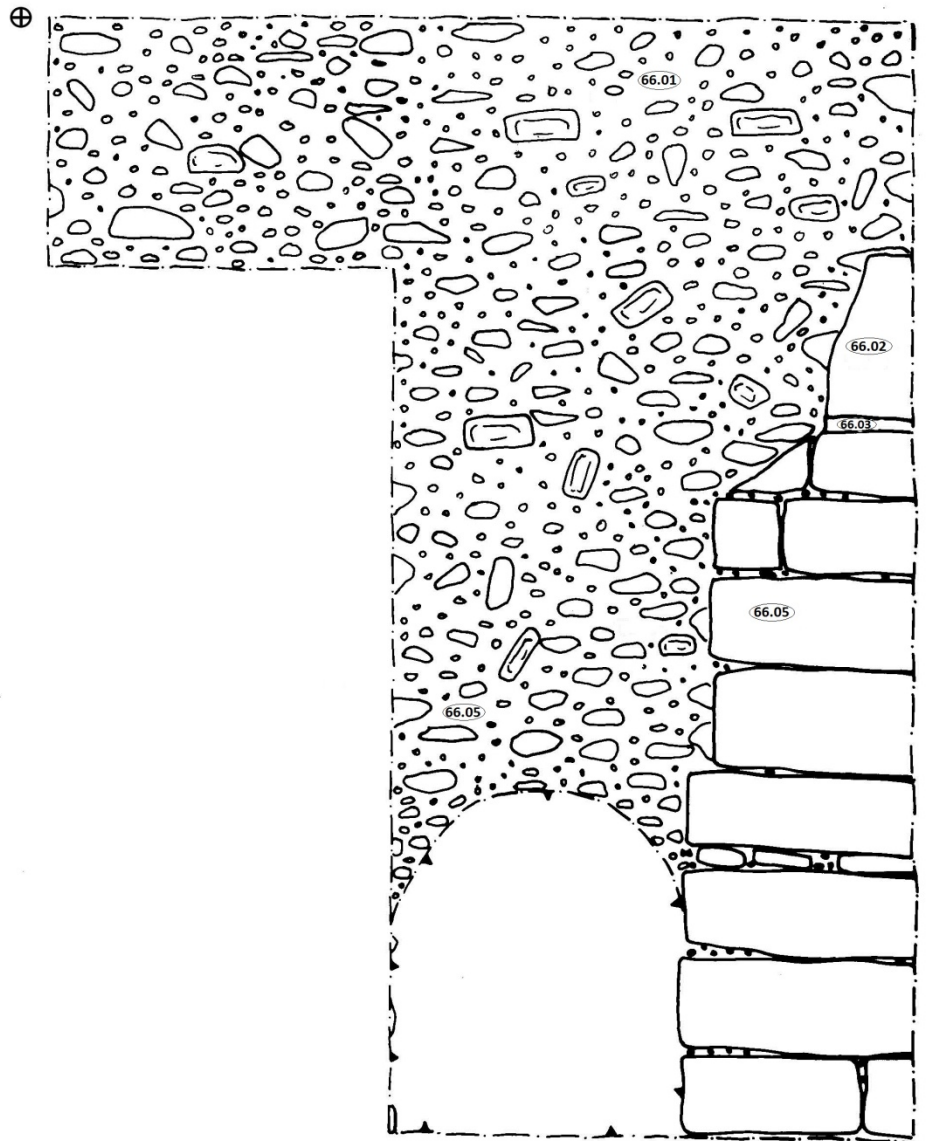


Figura 3.3 Perfil Norte de CIV.T.66 (dibujo Ángel Castillo)



HAP '13
Civ.T.66
Estructura 1
Grupo 1
Perfil Oeste
18/6/2013
A.Castillo

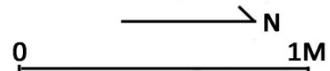


Figura 3.4 Perfil oeste de CIV.T.66 (dibujo Ángel Castillo)

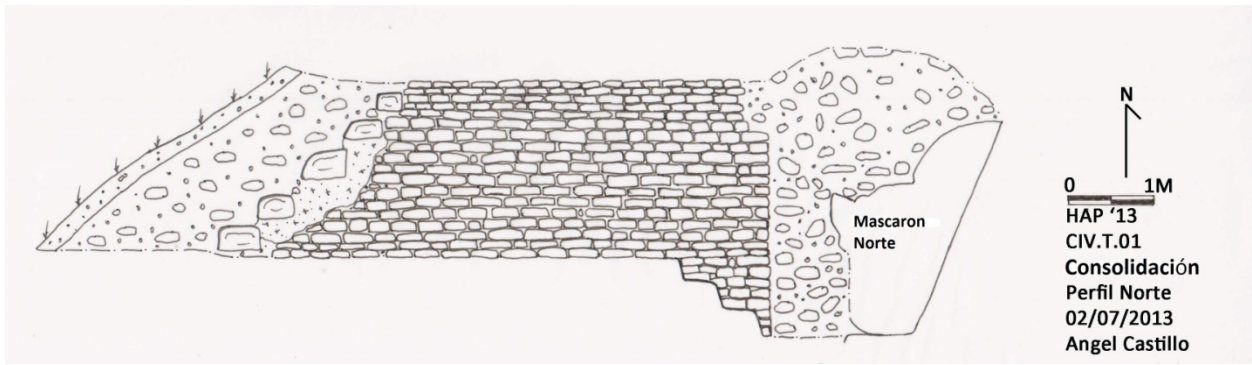


Figura 3.5 Perfil Norte de CIV.T.01 (dibujo Ángel Castillo)

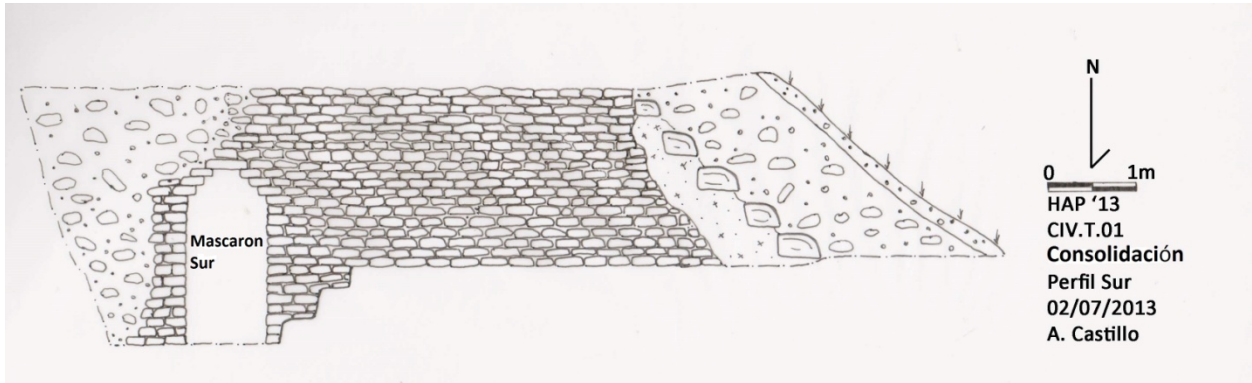


Figura 3.6 Perfil Sur de CIV.T.01 (dibujo Ángel Castillo)

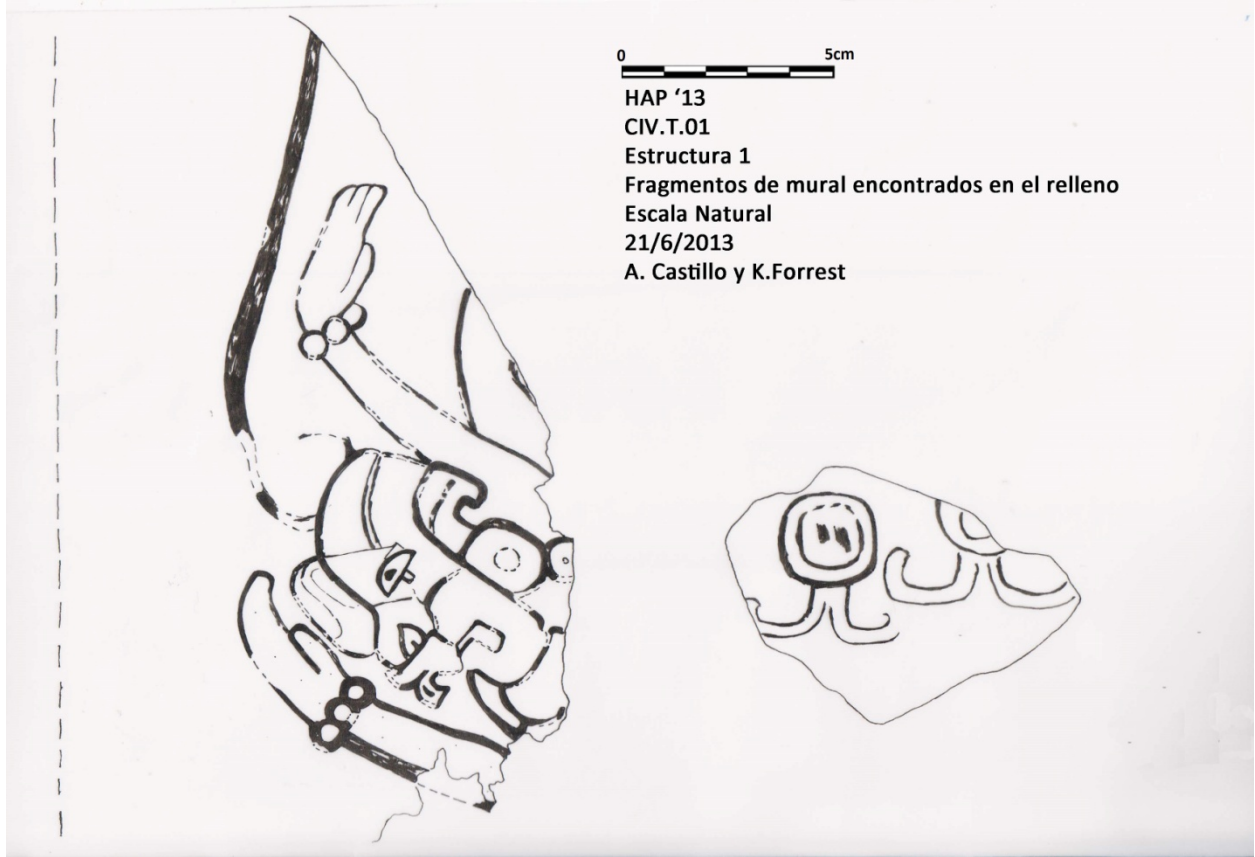


Figura 3.7 Fragmentos de mural encontrados dentro del relleno de CIV.T.01 (dibujo A. Castillo y K. Forrest).

Capítulo 4. Excavaciones CIV.T.67 y CIV.T.69, Pirámide Norte, Cival

Kimberly Forrest, Universidad de Las Américas-Puebla, MX

Introducción:

La Pirámide Norte es una estructura que alcanza aproximadamente 20 metros de altura en el lado norte de la Plaza Norte de Cival. En esta misma estructura se habían hecho excavaciones en los años 2005 y 2007. En la temporada 2005 se encontraron seis pisos de plaza asociados a la estructura. El cuerpo de la pirámide se investigó por primera vez en 2007 por medio de una trinchera de saqueo al lado norte (CIV.L.07). Se notaron seis fases constructivas hechas durante el Preclásico Tardío. También en 2007, se expuso la escalinata de la estructura superior de la pirámide (CIV.T.39). Para más información sobre estas excavaciones véase informes HAP 2005 y HAP 2007 (<http://www.bu.edu/holmul/reports>). En la temporada 2013, se han retomado investigaciones en la Pirámide Norte con las excavaciones CIV.T.67 y CIV.T.69.

La excavación CIV.T.67 se ubicó en el centro de la fachada sur de la Pirámide Norte a un altura aproximada de 8.3 metros sobre el nivel de plaza. El objetivo principal de esta excavación fue de exponer y registrar las fases constructivas de dicha pirámide. Para empezar, se encontró y se registró la última fase constructiva de la pirámide. Después, se realizó un túnel hacia el norte para encontrar las siguientes etapas constructivas. Las medidas iniciales de esta trinchera fueron de 5.8 metros de este a oeste por 2 metros de norte a sur.

La excavación CIV.T.69 se ubicó en la esquina superior oeste de la Pirámide Norte. En esta parte, la pirámide tiene una pequeña plataforma por lo cual el propósito de esta excavación fue determinar si la pirámide tenía cuartos o pequeñas estructuras en los costados oeste y este. Esta excavación se situó aproximadamente a 12.8 metros sobre nivel de plaza, y sus medidas iniciales fueron de 2 metros de norte a sur por 3 metros de este a oeste.

Descripción de las excavaciones:

CIV.T.67

La excavación CIV.T.67 se inició con remover la capa de humus a la cual se le dio el número de contexto CIV.T.67.00. La capa de humus consistía de tierra húmeda de color café oscuro que contenía plantas pequeñas (<5%), raíces hasta 0.10 m de diámetro (15%), y piedras calizas de menos de 0.10 m de ancho (5-10%).

Debajo de la capa de humus había una capa de colapso sin forma a la cual se le dio el número de contexto CIV.T.67.01. La tierra de esta capa era café-gris, seco, y suave. Incluía raíces de menos que 0.03 m de diámetro (5%), piedras calizas y fragmentos de bloques hasta de 0.20m de largo (10%), y fragmentos de estuco sin pintura de menos de 0.10 m² (>5%). En este contexto se encontró un bifacial de pedernal completo (CIV.T.67.01.04.01; Figura 1 y Figura 2). En total se recuperaron una bolsa de líticas y una bolsa de cerámicas de este contexto. La cerámica de este contexto incluye diagnósticos del Preclásico Tardío terminal.



Figura 4.1: CIV.T.67.01.04.01 Figura 4.2: CIV.T.67.01.04.01 (Fotos: K.Forrest)

Después de limpiar el contexto CIV.T.67.01, se encontró otra capa de colapso, pero distinta a la anterior por lo cual se le dio el número de contexto CIV.T.67.02. Consistía de bloques (20%), pedazos de bloques (50%), y una mezcla de tierra suelta y caliza descompuesta. En la parte oeste de la trinchera, era más denso y los bloques eran más grandes. Este colapso estaba puesto directamente encima de los rasgos arquitectónicos de las últimas dos fases.

Debajo de este colapso, se encontró la fase constructiva más reciente que se le dio el número de contexto CIV.T.67.03. Aunque la mayoría de esta fase estaba erosionada, fue posible identificar dos gradas de una escalinata que se extendía 4.2 metros desde el límite este de la excavación hacia el oeste. Cada grada tenía una altura de 0.2 metros. Aunque estas dos gradas al lado sur de la excavación eran las mejor preservadas, había otras dos gradas más al norte que se extendían fuera de la excavación (Figura 3).

El límite este de esta escalinata no se determinó porque se ubicaba afuera de la unidad de excavación. Al lado oeste, las dos gradas más al sur se encontraban con una esquina a 4.8 metros al oeste y 1.6 metros al sur del límite noreste de la excavación. La esquina consistía de dos bloques grandes puestos uno encima del otro y perpendiculares a las gradas. A esta alineación de bloques se le dio el número de contexto CIV.T.67.04. Los bloques parecían formar un muro este-oeste que se extendía afuera del límite sur de la excavación. Para exponer la extensión de estos dos bloques y verificar si era un muro, la trinchera se extendió 0.5 metros más al oeste y 1.3 metros más al sur en su costado oeste. Se descubrió que los bloques se unían con una línea curva de piedras viendo hacia el sur. La extensión de esta alineación de piedras solo fue 0.9 metros al sur por 0.9 metros al oeste (Figura 3).

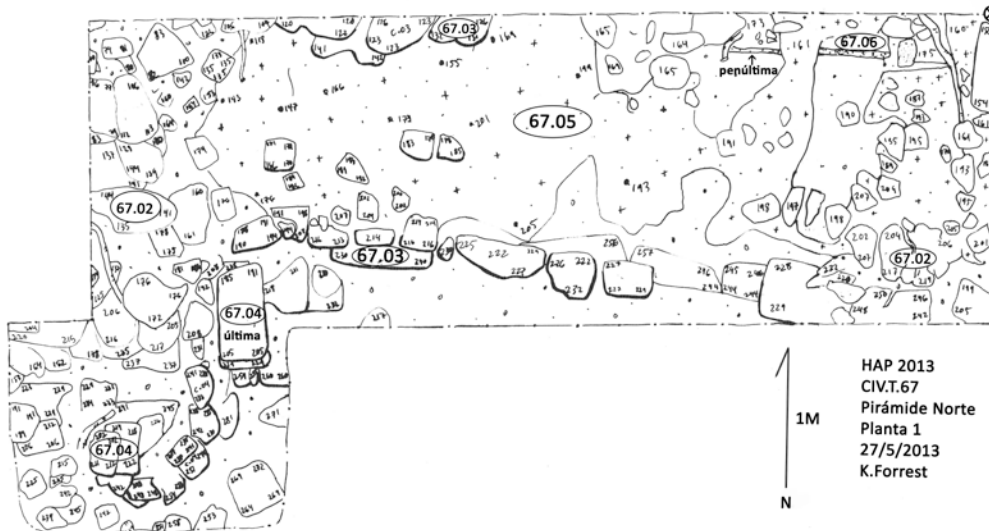


Figura 4.3: Planta 1, Contextos CIV.T.67.02-06, última y penúltima fases

Por la falta de preservación, hay poco rasgos arquitectónicos de esta última fase constructiva que se puedan distinguir con seguridad. El contexto CIV.T.67.04 por su forma curva pudo haber sido alguna decoración escultórica (mascaron) del edificio en algún momento.

Debajo de esta última fase constructiva había una mezcla de caliza que se le dio el número de contexto CIV.T.67.05. Esta caliza era de color crema y se extendía por casi todo de la trinchera debajo del nivel de CIV.T.67.03/04. Incluyó 30% fragmentos de bloques de piedra caliza. Una bolsa de cerámica se recogió de este contexto. La cerámica recuperada incluyó en mayoría el tipo Sierra Roja del Preclásico Tardío.

Justo debajo CIV.T.67.05 se encontraron las escalinatas de la penúltima fase constructiva de la Pirámide Norte. A estas escalinatas se le dio el número de contexto CIV.T.67.06. Se expusieron tres gradas de esta escalinata. La huella de cada grada era de 0.35-0.40 m y la contrahuella de 0.30 m. Cabe notar también que estas escalinatas estaban bien preservadas, aun tenían estuco de color crema y en partes que el estuco estaba quebrado se notó que este era de 0.03 m de grosor. El 85-90% de este estuco se encontraba intacto, muy pocos bloques de la escalinata estaban expuestos. Los bloques expuestos medían entre 0.40 y 0.50 m de largo y aproximadamente 0.30 m de alto (Figura 4 y Figura 5).

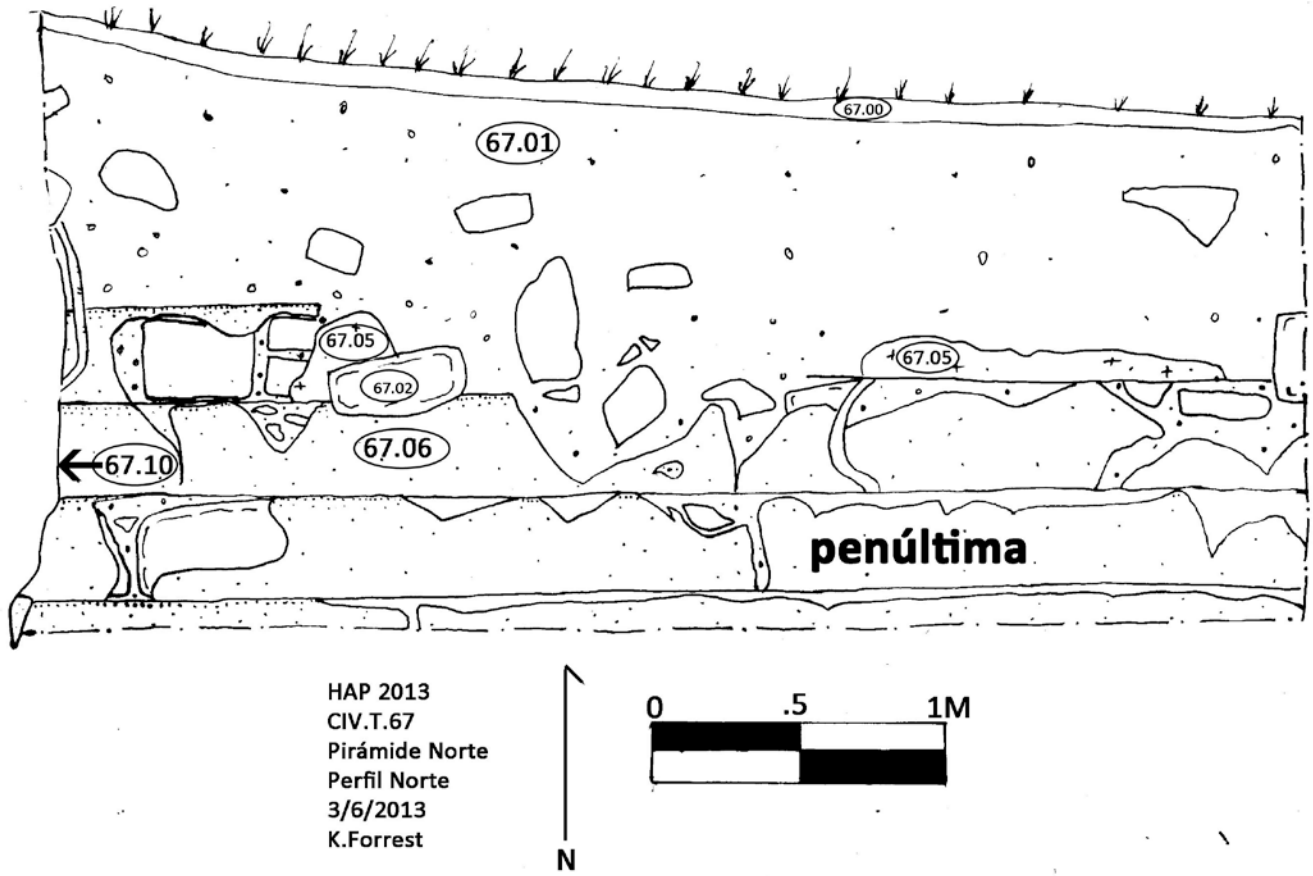


Figura 4.4: Perfil Norte, CIV.T.67 Penúltima fase de construcción



Figura 4.5: Foto de escalinata, CIV.T.67.06 de la penúltima fase de la estructura tomada desde el sureste (Foto K. Forrest)

La escalinata de CIV.T.67.06 se unía con una pared con una esquina perpendicular a 4.4m del límite este de la excavación. A esta pared se le dio el número de contexto CIV.T.67.10. La pared tenía orientación hacia el este. Tenía estuco blanco sin pintura y estaba intacta por un 40 por ciento. La orilla superior estaba mutilada y no se pudo distinguir la línea original de la arquitectura. La pared consistía de bloques de caliza aproximadamente de 0.30 m de largo y varía entre 0.10 m y 0.30 m de alto. El límite inferior de esta pared no fue expuesto (Figura 6).

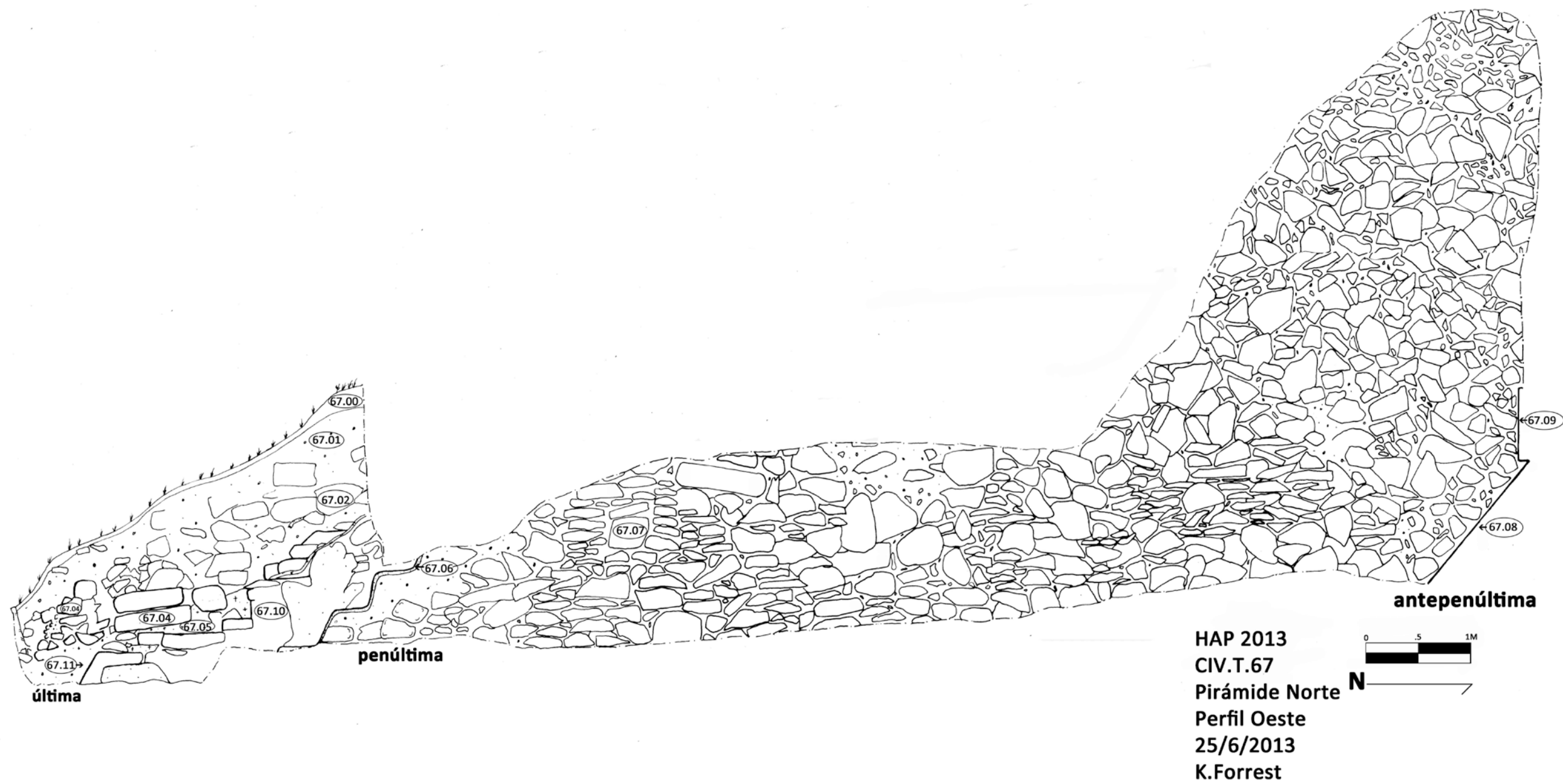


Figura 4.6 Perfil oeste, fases última, penúltima y antepenúltima

La pared CIV.T.67.10 colindaba con un talud orientado hacia el sur a 4.7 m al oeste y 2.8 m al sur del límite noreste de la excavación. A este talud se le dio el número de contexto CIV.T.67.11. La parte superior del talud también se encontraba mutilada al igual que CIV.T.67.10, pero mucho más de su estuco estaba intacto (70%). El estuco era blanco y sin pintura. Los pocos bloques expuestos en este talud varían entre 0.15 y 0.40 m de largo (Figura 7 y 8).

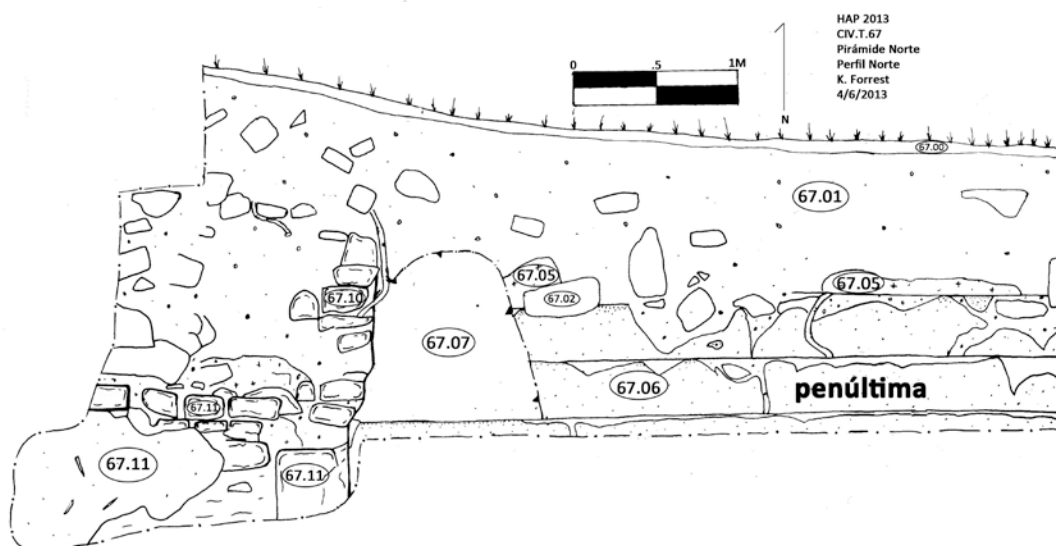


Figura 4.7 Perfil Norte de la excavación CIV.T.67 mostrando la escalinata de la penúltima fase constructiva.



Figura 4.8 Perfil Norte (CIV.T.67.10 y 11), Foto: K. Forrest.

Se decidió hacer un túnel hacia el cuerpo de la pirámide por lo cual un corte de 1.0 m de ancho fue hecho en la escalinata de CIV.T.67.06 entre 3.3 y 4.3 metros al oeste del límite este de la excavación. El contexto CIV.T.67.07 se encontró inmediatamente atrás de la escalinata de CIV.T.67.06. El contexto CIV.T.67.07 estaba compuesto de 95% rocas y solo 5% tierra suelta, gris, y seco o inclusiones pequeños de mezcla caliza. Las piedras eran caliza (90-95%) y pedernal (5-10%). La mayoría de las piedras eran entre 0.15 m de largo y 0.50 m del largo (80%), pero también 10% eran rocas entre 0.50 m y 0.70 m y 10% eran piedras más pequeñas de 0.15 m. La mayoría de este relleno de piedra solo fue colocado sin mezcla y sin muros de contención. Una inclusión de mezcla caliza en el lado norte de la entrada del túnel ayudó bastante en fortificar la parte superior del túnel, pero estas inclusiones eran pocas y tampoco insuficientes para mantener estables las rocas de relleno.

Hubo pocos hallazgos en este relleno. Se recuperaron tres bolsas de cerámicas del contexto de relleno. La cerámica del mismo fue fechada al Preclásico Medio. Se encontraron hallazgos pequeños: un fragmento de figurilla de barro de color naranja (CIV.T.67.07.03.01) (Figura 9) y un fragmento de núcleo prismático de obsidiana (CIV.T.67.07.01). También, había evidencia de carbón y evidencia de estuco de 0.10 m de espesor.



Figura 4.9 Fragmento de figurilla CIV.T.67.07.03.01, Foto: K. Forrest

Aunque el túnel era frágil por el tipo de relleno, se llegó a una profundidad de 10.8 m en el relleno de la estructura de la penúltima fase. A esa distancia de la entrada del túnel, se encontró un rasgo arquitectónico formado por un talud y un muro vertical. Se le dio el número de contexto CIV.T.67.08 al talud y CIV.T.67.09 al muro (Figura 10, 11, 12). El talud CIV.T.67.08 y su muro asociado CIV.T.67.09 representan la antepenúltima fase constructiva de la pirámide. Se expuso esta fachada por unos 1.14 m de altura dentro del túnel de excavación sin alcanzar su base del talud debido a la inestabilidad del túnel. El talud tenía una inclinación de 42 grados y estaba orientado hacia el sur con un azimut de 3 grados al sur del este. El límite este del talud empezaba a 10.8m al norte y 4.1m al oeste del límite noreste de la excavación. Se expuso 2.9m del talud hacia el oeste. Los bloques individuales estaban recubierto por una capa de estuco muy delgada.

El muro (CIV.T.67.09) arriba del talud (CIV.T.67.08) era vertical y tenía una altura de 0.7 m. Así como el talud, el muro estaba orientado hacia el sur con una alineación (azimut) de 3 grados al sur del este. En el límite inferior del muro había un borde de tres bloques totalmente expuestos y tres parcialmente expuestos que eran entre 0.20 m y 0.40 m de largo y 0.12 m y 0.20 m de altura. No había más bloques visibles arriba de este borde. La capa de estuco de este muro estaba muy erosionada (Figuras 10, 11, 12)

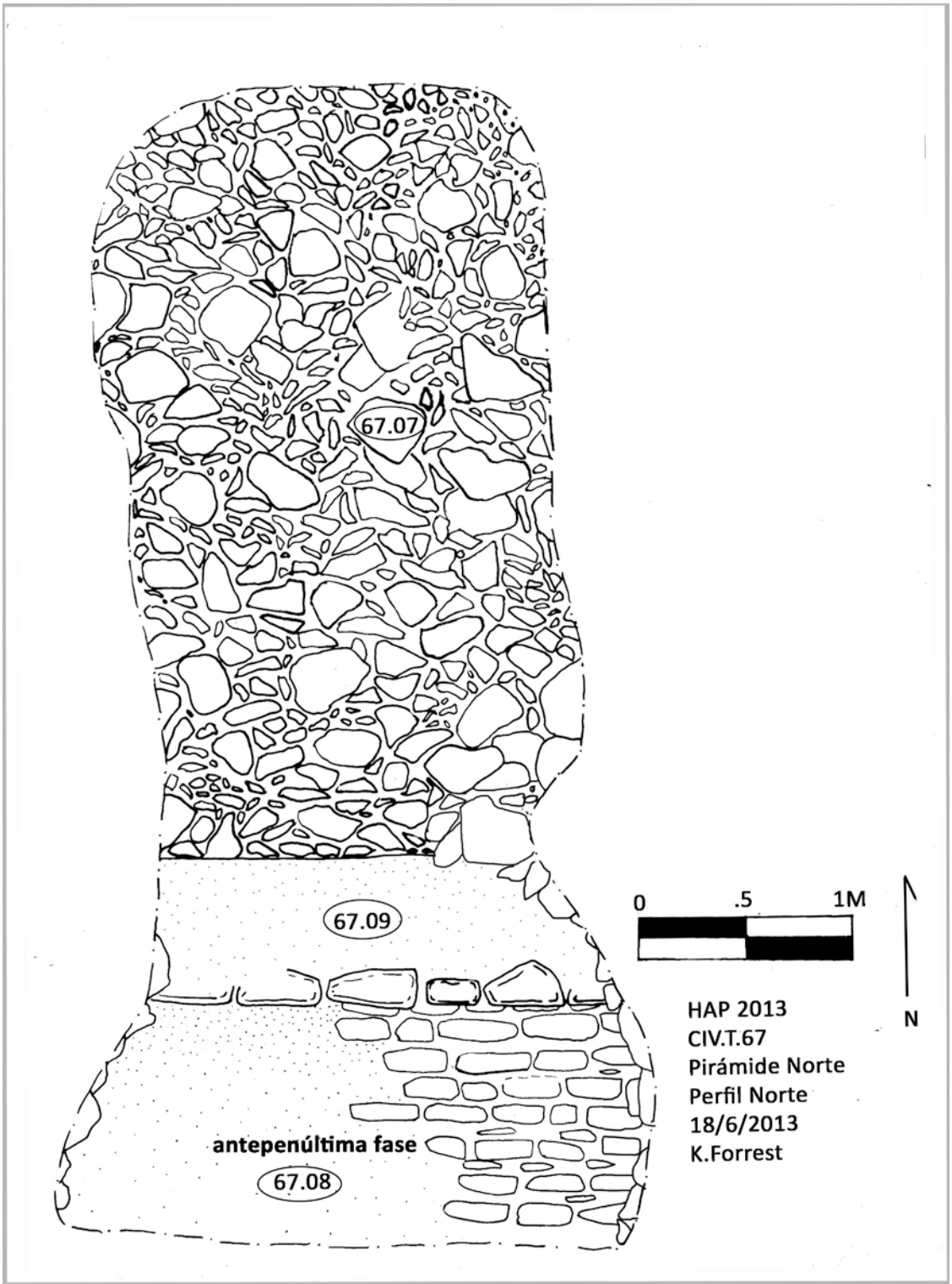


Figura 4.10 Perfil de la excavación CIV.T.67 mostrando la fachada de la antepenúltima fase de la Pirámide Norte



Figura 4.11 Talud y muro de la antepenúltima fase de la Pirámide Norte, Foto: K. Forrest

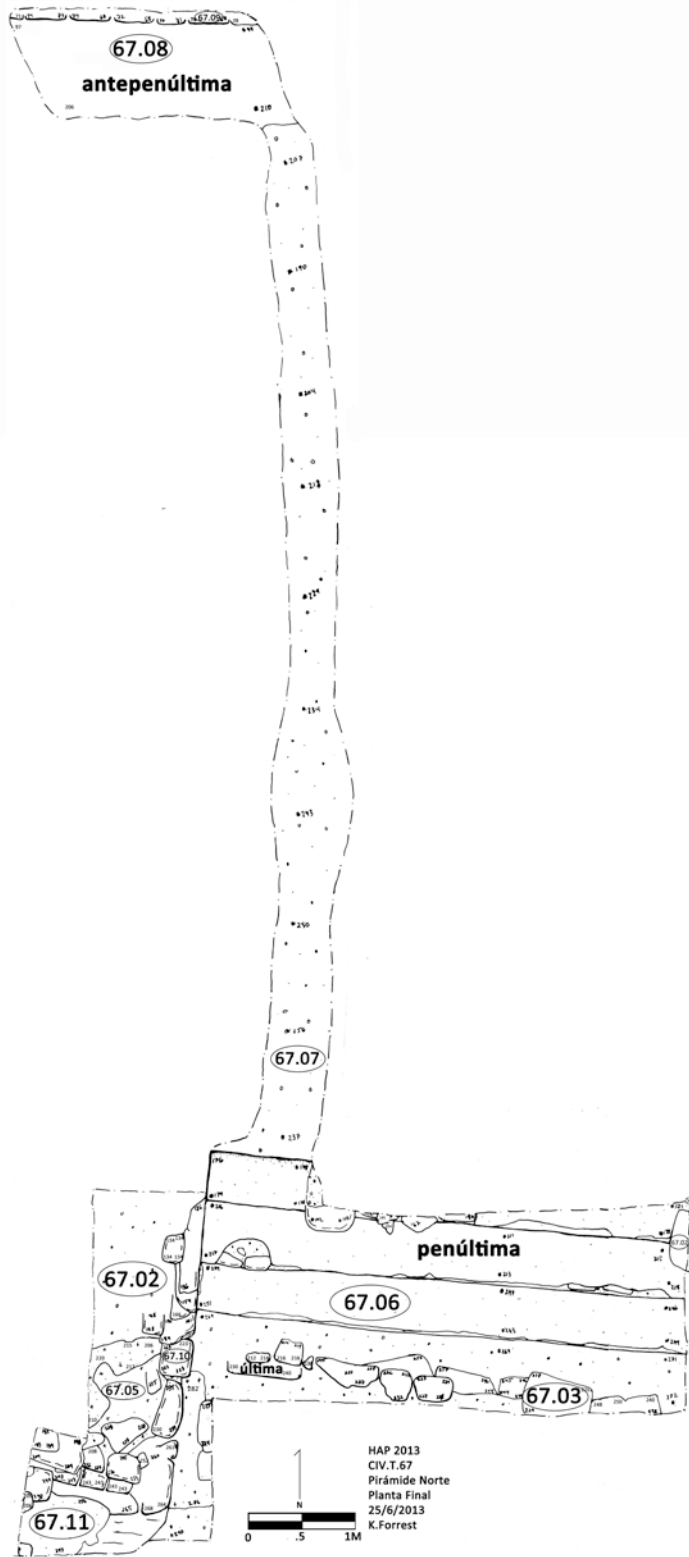


Figura 4.12 Planta de la excavación CIV.T.67 mostrando las últimas tres fases de la Pirámide Norte

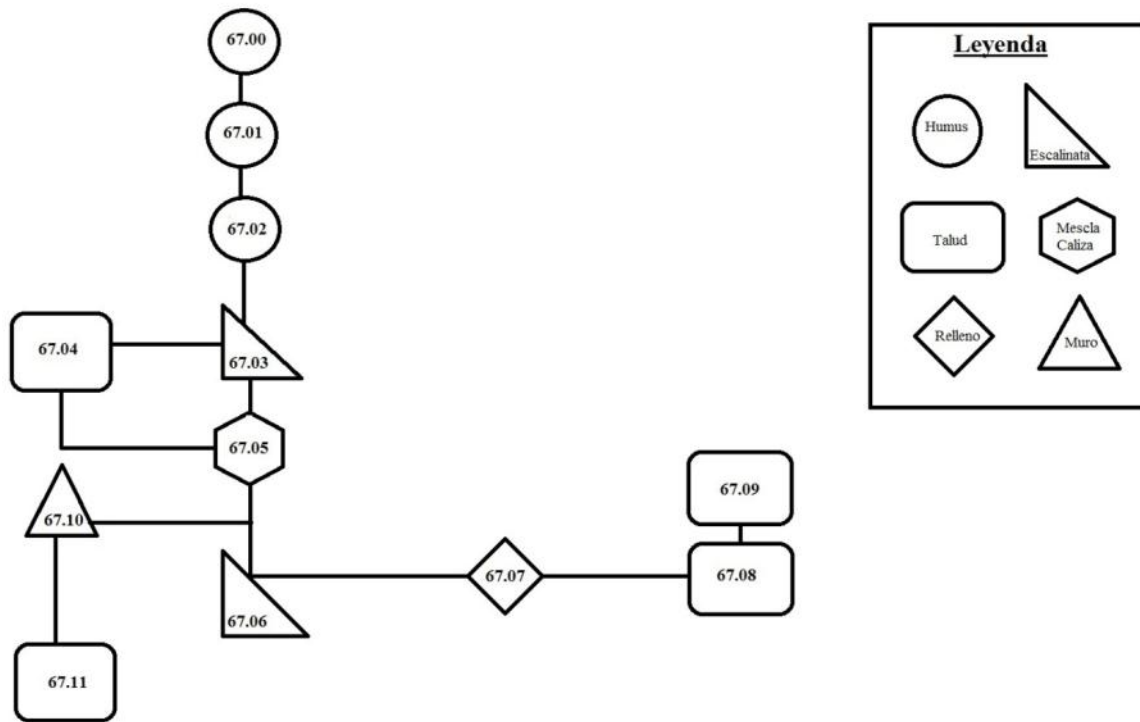


Figura 4.13 Matriz de Harris de CIV.T.67.

La matriz de Harris es un diagrama de las relaciones estratigráficas entre todos los tipos de contextos de una excavación (Harris 1989).

Interpretaciones y Conclusiones de CIV.T.67

En esta excavación se pudieron identificar las tres últimas fases constructivas de la Pirámide Norte. La antepenúltima fase es la más antigua encontrada en esta excavación debido a su posición estratigráfica. De esta solo se pudo apreciar un cuerpo escalonado de la fachada con talud y muro vertical formando un molde remetido (CIV.T.67.08/09). No se pudo exponer más de 2.9 m de ancho de esta fase por la inestabilidad del relleno de la penúltima fase (CIV.T.67.07). La cerámica en dicho relleno fue fechada al Preclásico Medio.

La escalinata de la penúltima fase (CIV.T.67.06) estaba bien preservada excepto por su talud lateral o mascarón que fue mutilado en antigüedad (CIV.T.67.10/11). Directamente encima de la penúltima fase, los constructores pusieron una mezcla caliza (CIV.T.67.05) que formaba la fundación para la última fase. La misma no estaba bien preservada por efecto de la erosión, pero se puede decir que esta fase tenía escalinata remetida y posiblemente un talud (CIV.T.67.03/04) o mascarón. Arriba de esta última fase había niveles de colapso y humus (CIV.T.67.02-00). La cerámica encontrada en el

relleno entre de la última fase fue fechada al Preclásico Tardío (CIV.T.67.05), igual a la cerámica en el la superficie (CIV.T.67.01).

Abajo, se puede ver el perfil de las trinchera de saqueo CIV.L.07 y la excavación CIV.T.41 en la cumbre de la Piramid Norte mostrando cinco pisos y los restos de los rasgos arquitectónicos de dos fases constructivas (Figura 14). Es probable que estas dos fases constructivas correspondan a la última y penúltima fases que están mostradas en las figuras de Planta 2 (Figura 12) y el Perfil Oeste (Figura 6) de la excavación CIV.T.41. En esa misma excavación (CIV.T.41), el relleno debajo del piso más profundo es de tipo similar al contexto CIV.T.67.07 que se encontraba de la penúltima fase de la cumbre de la misma pirámide. Esta comparación sugiere que en la excavación de 2007 no se llegó al nivel de la fase más anterior (antepenúltima).

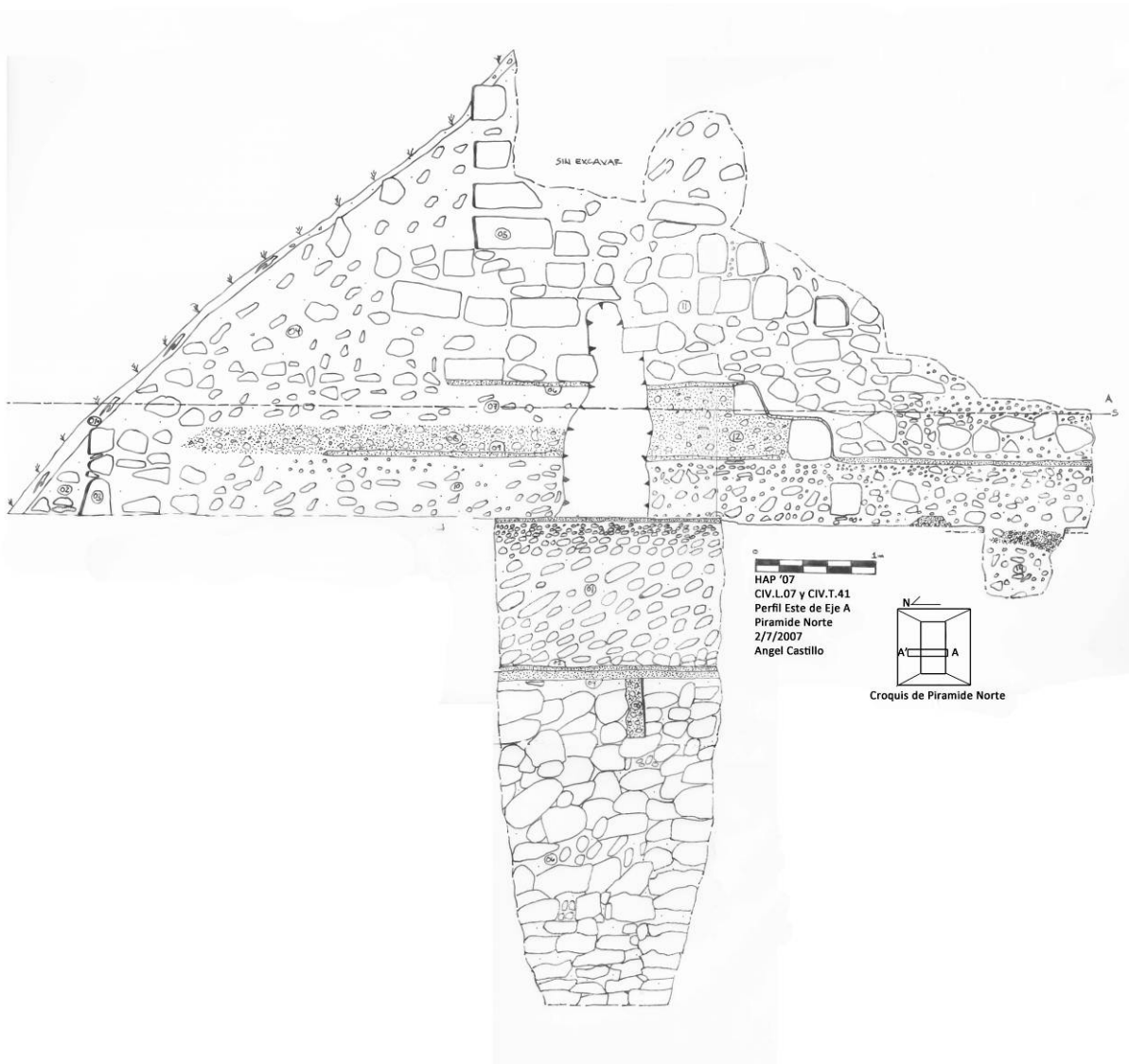


Figura 4.14 Perfil de excavaciones CIV.L.07 y CIV.T.41 hechas en la cumbre de Pirámide Norte en 2007 por Ángel Castillo

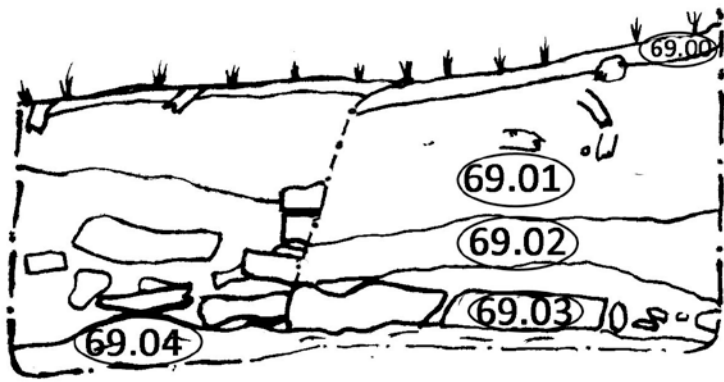
Descripción de CIV.T.69

La excavación CIV.T.69 se ubicó en la esquina superior oeste de la Pirámide Norte. En esta parte, la pirámide tiene una pequeña plataforma por lo cual el propósito de esta excavación fue para determinar si la pirámide tenía cuartos o pequeñas estructuras en los costados oeste y este. Esta excavación se situó aproximadamente a 12.8 metros sobre nivel de plaza, y sus medidas iniciales fueron de 2 metros de norte a sur por 3 metros de este a oeste.

La excavación CIV.T.69 se inició con quitar la capa de humus al cual se le dio el número de contexto CIV.T.69.00. Esta capa de humus era de color café, húmedo e incluía un 40% de raíces. El 5% de este relleno era de piedras de 0.05 m de ancho. La capa de humus solo tuvo un espesor de 0.10 m. Debajo de la capa de humus se encontró el contexto CIV.T.69.01 que consistía de una capa café seco, suelto, con 10% de roca caliza entre 0.05 m a 0.20 m de diámetro, 10% de piedras de menos de 0.05 m de diámetro, y 15% de raíces. Un bifacial de pedernal quebrado se encontró dentro de este contexto y se le dio el número de hallazgo CIV.T.69.01.04.01. Este contexto fue de aproximadamente 0.40 m de espesor. Después de este contexto se encontró una capa gris de tierra suelta con inclusiones de piedra caliza que se le dio el número de contexto CIV.T.69.02. Era bastante gris que parecía piedra caliza descompuesta y era compuesto de 20% piedras menos de 0.05m, 30% piedras entre 0.05-0.15m y 5% piedras de más de 0.15m. También había raíces pequeñas penetrando este nivel. Este contexto fue de 0.30m de grosor. Solamente se recolectó una bolsa de cerámica de este contexto.

En esta excavación se encontró un muro sobresaliendo del límite oeste de la excavación. A este murito se le dio el número de contexto CIV.T.69.03. Los bloques de este muro eran de 0.40m de largo y 0.10 a 0.14m de alto y estaba alineado de norte a sur. La fachada exterior del muro no se podía determinar. El mismo podría haber sido parte de un muro de contención o restos de una fase constructiva, pero por lo pequeño no se pudo definir. El muro estaba colocado sobre un relleno duro de mezcla caliza que parecía un relleno de construcción. A esta mezcla caliza se le dio el número de contexto CIV.T.69.04. Este estrato no estaba plano ni tenía la dureza de un piso intacto. El mismo tenía una porción quemada de 0.40 m² en la cual se encontraron piedras calizas quemadas (Figura 15 y 16).

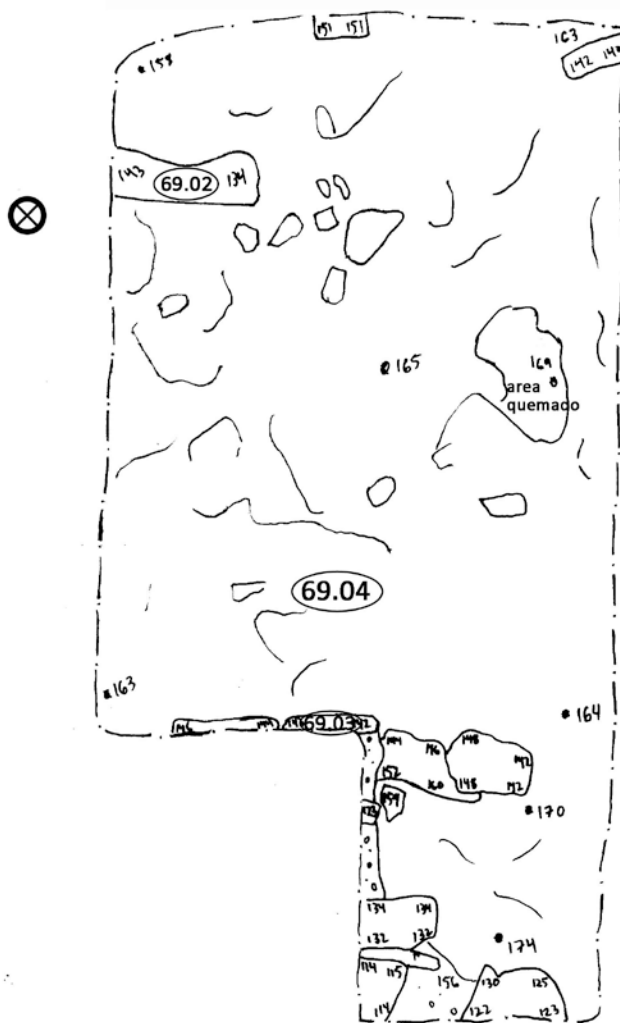
Para poder determinar bien las dimensiones de CIV.T.69.03 se tomo la decisión de extender el pozo 1.3m (este-oeste) por 1m (norte-sur) al lado suroeste del pozo para explorar más dicho contexto. En esta extensión no se encontró más del muro así que se tomo la decisión de finalizar la excavación.



HAP 2013
 CIV.T.69
 Pirámide Norte
 Perfil Oeste
 29/6/2013
 K. Forrest



Figura 4.15 Perfil Oeste de la excavación CIV.T.69



HAP 2013
 CIV.T.69
 Pirámide Norte
 Planta Final
 29/6/2013
 K. Forrest

Figura 4.16 Planta final de la excavación CIV.T.69

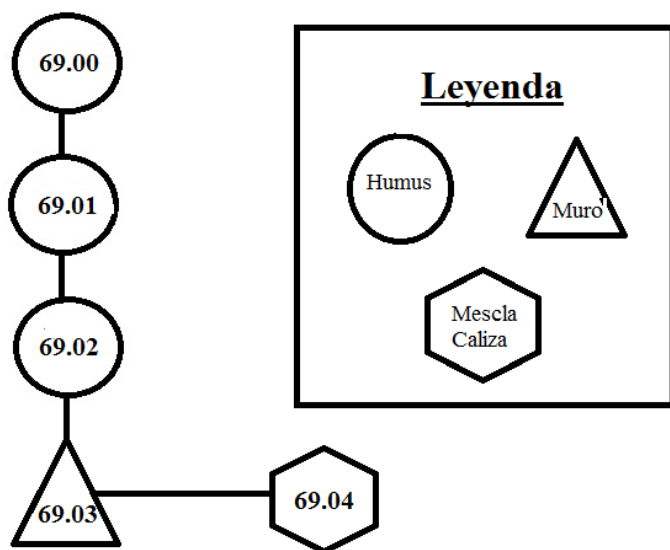


Figura 4.17 Matriz de Harris

Interpretaciones y Conclusiones de CIV.T.69

Por escasez de datos no se puede deducir con seguridad si la Pirámide Norte tenía una forma trídica o cuartos a los lados. El rasgo arquitectónico encontrado fue demasiado limitado para ese tipo de interpretación. Solo se puede concluir que los rasgos de la última fase podrían ser restos del piso del cuerpo superior o terraza de la estructura los cuales se encontraban erosionados y destruidos con señas de fuego. Toda la cerámica recuperada de esta excavación fue Sierra Roja erosionado de la época Preclásico Tardío. La excavación se interrumpió por finalizar la temporada.

Capítulo 5. Excavación CIV.T.68, Estructura 9, Grupo E, Cival.

Josué Calvo. USAC

Introducción

La excavación CIV.T.68 se efectuó con el propósito de localizar un posible mascarón que correspondiese a la fachada este de la Estructura 9. Una estructura radial de 18m de alto en la plaza principal (Grupo E) de Cival . Esta excavación se ubica a media altura del edificio, mide 8 m en su eje norte - sur, y 6 m en el eje este-oeste . Se profundizó además, desde el extremo norte de la excavación con un túnel en dirección sur sobre la superficie de una estructura anterior. .

Descripción de la Excavación:

Se inició la excavación removiendo la capa de humus (CIV.T.68.00) cuyo espesor varía entre 0.10 m y 0.25 m sobre toda la excavación. Es de color café oscuro, compuesta de material orgánico en descomposición, fragmentos de piedrín y raíces y tierra de consistencia suave.

Luego de remover este contexto, inmediatamente debajo se localizó un relleno de tierra café grisáceo con piedrín, consistencia poco compacta, textura granulosa suave (CIV.T.68.01). Este relleno tiene un espesor de 0.30 m. en la parte norte, y 0.12 m de espesor hacia la parte sur. Debajo de este relleno, y en la parte norte de la excavación, se encontraron 4 gradas (CIV.T.68. 02) que corresponden a la última fase constructiva. A este contexto se asocia en una herramienta bifacial de pedernal (hallazgo especial CIV.T.68.02.04.01, Figura 1)



Figura 5.1 Herramienta de pedernal.

En el extremo sur de esta escalinata se descubrieron los restos de un mascarón (CIV.T.68. 03) que aun contenía algunos fragmentos de estuco. El mismo presenta coloración café oscura a negra lo cual sugiere que fue quemado (Figura 2)



Figura 5.2 En el área marcada con rojo se observan los fragmentos de estuco quemado (foto J. Calvo).

Se procedió a remover el contexto CIV.T.68.09.03 en la esquina noroeste de la excavación, en un área de 1.50 m en el eje este-oeste x 2 m de norte a sur. Inmediatamente debajo de este se localizó un relleno de construcción de mezcla de cal y pedrín muy compacto, cuyo espesor varía entre 0.10 m y 0.20 m. (CIV.T.68.09.04) este relleno sirvió como nivelación para asentar los bloques masivos de piedra caliza que forman las gradas del contexto CIV.T.68.09.04. Luego de remover este relleno se localizaron unas pequeñas gradas en muy mal estado de conservación (CIV.T.68.09.05) la huella de estas gradas mide 0.25 m por 0.20 m de contrahuella. Su grado de deterioro indica que fueron cortadas para construir la última etapa constructiva (Figura 3)



Figura 5.3 CIV.T.69.09.05 (foto J. Calvo)

Al remover este contexto, se localizó un relleno de piedra suelta (CIV.T.68.06) que se extiende por toda la excavación y cuyo espesor varía entre 0.50 m y 0.60 m. Este relleno no es compacto, las piedras varían de tamaño y no están depositadas de manera uniforme. Bajo este relleno se localizó un piso de estuco, quemado en regular estado de conservación, tiene un espesor de entre 0.08 m y 0.10 m. (CIV.T.68. 07). Se procedió a remover este piso quemado. Debajo de este se encontró un relleno de nivelación (CIV.T.68. 08) compuesto de piedra pegada con una mezcla de cal y piedrín de 0.60 m de espesor. En el interior de este relleno, se localizó un muro de contención (CIV.T.68. 09) cuya función se ha interpretado como un elemento arquitectónico para estabilizar la estructura. Asociado a este muro de contención, se localizaron restos de hueso y dos dientes en muy mal estado de conservación y fragmentos de un plato del tipo Sierra Rojo. Los bloques que conforman este muro de contención miden 0.40 m de espesor y 0.40 m de ancho, por 0.80 m de largo (Figura 4).



Figura 5.4 Muro de Contención CIV.T.68.09 (foto J. Calvo)

Al remover este contexto, se localizó una fase constructiva, que corresponde a una grada estucada (CIV.T.68.09.10) que mide 0.40 m en la contra huella, posee un buen estado de conservación, pero con algunas partes mutiladas. Junto a este contexto, se halla asociado un piso estucado (CIV.T.68.09.11) en estado de conservación similar a la grada anterior. Al retirar las piedras sueltas en la esquina noreste del mascarón (CIV.T.68.09.03), se localizó un agujero, por el cual se puede observar un muro que corresponde a una fase constructiva anterior (Figura 5)



Figura 5.5 Agujero en la esquina noreste del mascarón de la última fase (foto J. Calvo).

Se procedió a despejar las piedras para ampliar el agujero, el cual corresponde a un corte circular, (CIV.T.68.12). Este corte tiene un diámetro aproximado de 1.0 m y está relleno con piedra suelta, ceniza, restos de carbón, al cernir este relleno, se recuperó un fragmento tubular de cerámica (CIV.T.68.12.03.02), además de una cuenta tubular de piedra verde (CIV.T.68.12.06.03) y tres cuentas redondas del mismo material identificados como hallazgos CIV.T.68.12.06.04, CIV.T.68.12.06.05 y CIV.T.68.12.06.06. El corte CIV.T.68.12 fue vaciado hasta llegar a una profundidad de 6.42 m desde el datum.

En los perfiles de este corte, pueden apreciarse los siguientes contextos: CIV.T.68.09.13 que corresponde a una pared de bloques de una fase constructiva anterior. Uno de estos bloques se encuentra cortado y permite observar el interior que contiene un relleno de piedra suelta y tierra café (CIV.T.68.09.14) cuyo espesor mide 1.85 m hasta llegar a un piso estucado (CIV.T.68.15), el cual se encuentra quemado y se encuentra asociado a la pared de bloques CIV.T.68.13). Inmediatamente debajo de este piso, se encontró un relleno muy compacto (CIV.T.68.16) el cual se compone de pedrín pegado con pasta de cal. Este habría servido para nivelar la base del piso CIV.T.68.15 y cubrir un piso estucado inmediatamente debajo (CIV.T.68.17). Este piso está en muy buen estado de conservación, muy compacto tiene un espesor de 0.10 m. Bajo este piso, continúa un relleno de piedra, muy compacta y pegada con cal y pedrín (CIV.T.68.18) Este relleno se extiende 0.90 m más abajo hasta llegar al fondo del corte. En este fondo el diámetro del corte se reduce hasta 0.60 m. Este espacio se encuentra ocupado por una laja de piedra caliza (CIV.T.68.19) de 0.30 m de espesor,

aumentando significativamente la cantidad de carbón y ceniza en el relleno., lo cual podría sugerir que este corte fuera utilizado para quemar o desechar los restos de un fuego en la base del mascarón. Este fue el final del corte realizado por los mayas. Dentro del relleno de este corte se recuperaron tres cuentas de piedra verde y un pequeño fragmento tubular de cerámica (CIV.T.68.12.06.03-6 y CIV.T.12.03.02, Figuras 6,7, 8 y 9).



Figura 5.6 Fragmento tubular de cerámica (foto J. Calvo).



Figura 5.7 Cuenta tubular de piedra verde recuperada en corte (CIV.T.68.12, foto J. Calvo).



Figura 5.8 Cuenta de piedra verde recuperada en corte CIV.T.68.12 (foto J. Calvo).



Figura 5.9 Pequeña cuenta de piedra verde recuperada en corte CIV.T.68.12 (foto J. Calvo).

A partir de este punto, se procedió a remover el piso de piedra laja (CIV.T.68.19) y a excavar el fondo del mismo, así bajo esta piedra laja, se localizó un relleno de nivelación, compuesto de pedrín y cal cuyo espesor es de 0.20 m. muy compacto y homogéneo (CIV.T.68.20). Debajo de esta nivelación, se identificó un cambio en el color de la tierra, por lo que se definió el contexto CIV.T.68.21. A este contexto se le asocia una pequeña cuenta de piedra verde, (CIV.T.68.21.06.07). La cerámica recuperada en este contexto pertenece a los tipos Sabana Naranja, Juventud Rojo y Guitarra Inciso los cuales pertenecen a la fase Mamón del periodo Preclásico Medio.

La consistencia del relleno cambia drásticamente, al siguiente nivel, que consiste en un relleno de tierra negra, chiclosa, de consistencia compacta, con pequeños fragmentos de piedra caliza (CIV.T.68.22) la cual tiene un espesor 0.80 m. Al fondo de este relleno se encontró una alineación de piedras que guardan una orientación 305° noroeste, (CIV.T.68.23) y consta de un agrupamiento de tres piedras en línea, las cuales miden 0.60 m de altura y 0.40 m de ancho, están dispuestas

directamente sobre la roca madre (CIV.T.68.24), la cual constituye la parte más profunda de la excavación a 8.55 m a partir del datum. Esta constituye un bloque continuo de piedra caliza muy compacta y homogénea y es la base sobre la cual se edificó la Estructura 09.

En la esquina sur este de la base del mascarón (CIV.T.68.09.03) se procedió a vaciar un segundo corte (CIV.T.68.09.25). En este corte, al igual que el anterior, fueron localizados restos de ceniza, carbón, piedra suelta, pedernal y cerámica. Este corte fue vaciado hasta llegar a una laja (CIV.T.68.09.19) la cual se encuentra a 3.10 m desde el datum.

TUNEL

En la esquina noroeste de la excavación CIV.T.68 se procedió a practicar un túnel sobre el perfil sur que tuvo como base el piso estucado CIV.T.68.11 y como límite superior, el piso quemado CIV.T.68.07. La entrada de este túnel mide 1.10 m de alto por 1.0 m de ancho en la entrada, profundizándose en dirección sur 5.40 m. A la mitad de este recorrido se realizó una extensión en dirección oeste, la cual se profundizó hasta 5.30 m sobre el piso estucado de una plataforma.

Durante la primera fase del túnel se descubrió que a la grada estucada CIV.T.68.10 le fue realizado un corte en el extremo sur, este se denominara corte CIV.T.68.26. Este fue excavado sobre la grada estucada y parte del piso estucado (CIV.T.68.11) posee un diámetro de 1.0 m y una profundidad de 0.45 m fue vaciado pero únicamente contenía fragmentos de piedra caliza y tierra suelta, el fondo lo constituyen tres piedras lajas que fueron removidas para descubrir un relleno de piedra suelta (CIV.T.68.14) mismo que ya había sido identificado dentro de la pared de bloques CIV.T.68.13.

Al continuar excavando el túnel, se descubrió que el piso estucado fue cortado y este se conectaba con una plataforma igualmente estucada (CIV.T.68.27) la cual se levanta 0.30 m del piso y tiene un ancho de 2.0m. el borde de esta plataforma lo constituye una cornisa (CIV.T.68.29) que rodea la estructura en esta etapa constructiva. Esta cornisa mide 1.0 m de altura y resalta 0.12 m en la parte inferior de la misma al estar sobre una pared recubierta de estuco (CIV.T.68.09.31). La misma mide 1.55 m de altura y se une en su base con un piso estucado (CIV.T.68.09.32). Tanto la cornisa, como la pared y el piso estaban cubiertos por un relleno de piedra caliza pegada con pasta de cal y piedrín, en una mezcla compacta, la cual contenía además, restos de pedernal y cerámica, a este relleno (CIV.T.68.09.30) están asociados tiestos de cerámica de los tipos sabana Naranja, Juventud Rojo, Sierra Rojo que pertenecen a los periodos Preclásico Medio y Tardío, todo este relleno estaba debajo de una capa de nivelación (CIV.T.68.28), de 0.12 m de espesor, la cual se unía con la cornisa estucada (CIV.T.68.29), para formar un nivel uniforme sobre la plataforma CIV.T.68.27.

Como se notó anteriormente, sobre esta plataforma se continuó una extensión hacia el oeste, llevando como límite superior siempre la base del mismo piso quemado (CIV.T.68.09.07) por lo que la altura del túnel se vio reducida a 0.90 m. Se excavó en dirección oeste 5.30 m hasta topar con un pequeño muro estucado (CIV.T.68.09.36) el cual se unía en el extremo norte a una escalinata compuesta por tres gradas (CIV.T.68.09.35) esta escalinata estaba unificada con el pequeño muro gracias a una pequeña cornisa estucada (CIV.T.68.09.37), la cual se resalta 0.12 m en la base, sobre el muro (Figura 10).

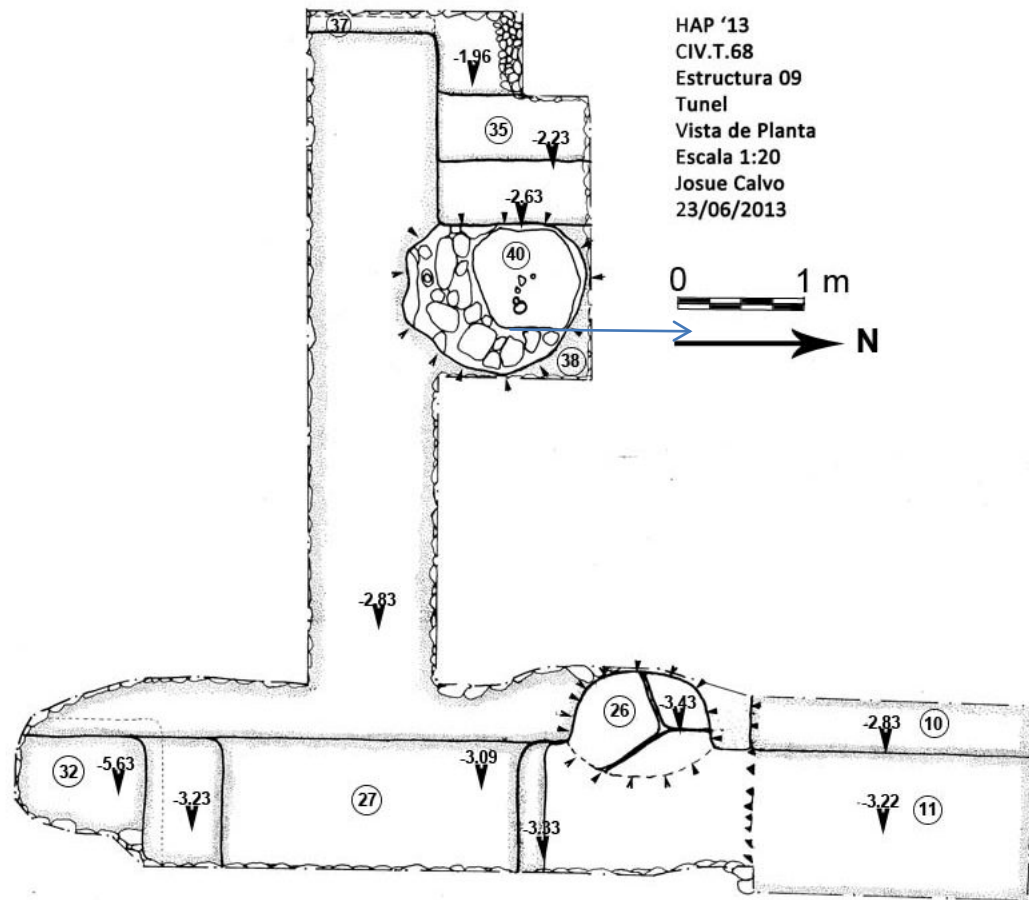


Figura 5.10 Vista de planta del túnel y sus elementos arquitectónicos (dibujo J. Calvo)

En el perfil norte de esta extensión, se observó que habían bloques de piedra caliza dispuestos en forma de muro de contención, por lo que se procedió a hacer un registro en dirección norte para investigar este rasgo (CIV.T.68.33), y se descubrió que forma parte de una bóveda dispuesta sobre un corte realizado por los mayas sobre el piso estucado (Figura 11) a este se le denominará corte CIV.T.68.38. Se procedió a remover el relleno dentro del muro de contención el cual contenía restos de ceniza, carbón, piedra caliza quemada y tiestos de cerámica de los tipos Sierra Rojo y Flor Crema, a este relleno se le identificará con el número de contexto CIV.T.68.34.

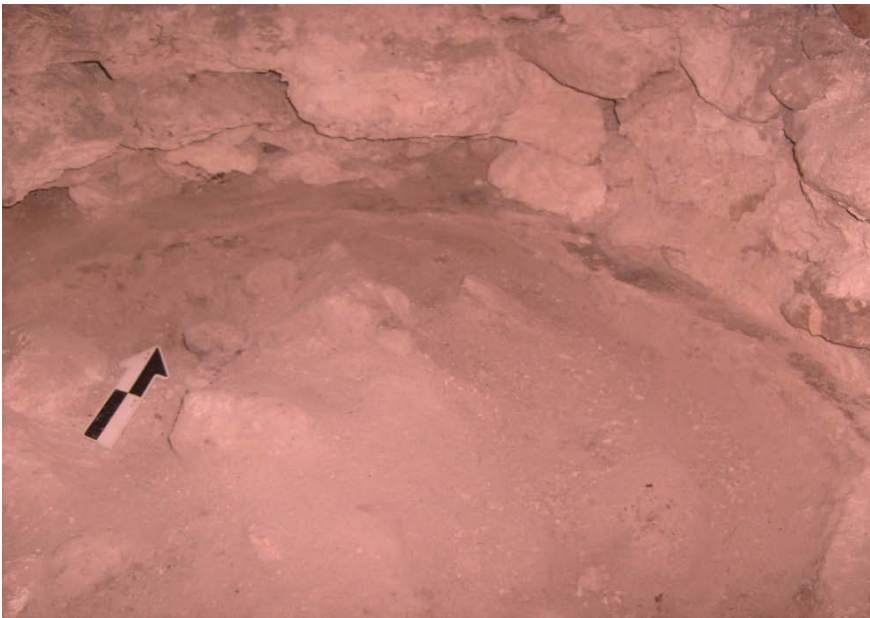


Figura 5.11 Corte CIV.T.68.38 sobre el piso estucado (foto J. Calvo)

En cuanto al corte CIV.T.68. 38 este fue vaciado y dentro de su relleno (CIV.T.68.09.39) se recuperó un cuenco de cerámica (CIV.T.68.39.03.09) en cuyo interior fue localizada una pequeña cuenta de piedra verde (CIV.T.68.39.06.08). En el fondo de este corte se encontró una laja (CIV.T.68.09.40) a una profundidad de 0.30 m del piso de la plataforma (CIV.T.68.27) (Figuras12, 13 y 14)



Figura 5.12 Fondo de Corte CIV.T.68.09.38. Foto J. Calvo



Figura 5.13 Cuenco cerámico localizado en el fondo del corte CIV.T.68.09.38. Foto J. Calvo



Figura 5.14 Cuenta de piedra verde recuperada en el interior de cuenco cerámico. Foto J. Calvo

Se procedió a remover la laja, se localizó un relleno de piedra suelta y tierra café (CIV.T.68.09.41) del cual se recuperaron tiosos de cerámica del tipo Muxanal Rojo sobre Crema, Sabana Naranja y Juventud Rojo, pertenecientes al Preclásico Medio.

En la base del mascarón (CIV.T.68.09.03) se procedió a extender la excavación hacia el este, por lo que se despejó el piso estucado (CIV.T.68.09.42) que forma la base del mascarón y bajo este piso, se localizaron los restos de un segundo mascarón, totalmente quemado y mutilado, con algunos restos de estuco en malísimo estado de conservación (CIV.T.68.09.43). Este pequeño mascarón estaba igualmente sustentado sobre un piso estucado (CIV.T.68.09.44) el cual fue igualmente mutilado y destruido.

Conclusión

La Estructura 9 inicia su historia constructiva con la preparación de la Roca Madre (CIV.T.68.09.24), la cual fue nivelada y sobre la misma fue dispuesta una alineación de grandes piedras con una orientación específica (305°). Este rasgo (CIV.T.68.09.23) pudo haber formado parte de un ritual de fundación del edificio, aunque no es un elemento arquitectónico formal. (Ver Figura 15)

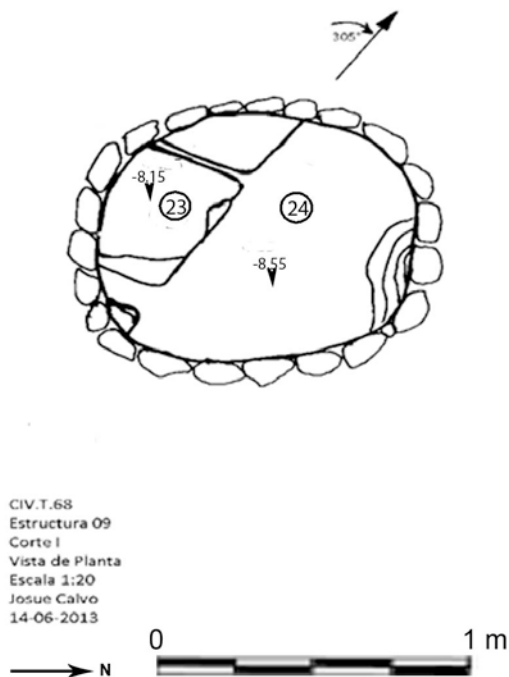


Figura 5.15 Roca Madre y alineación de piedras (dibujo J. Calvo)

Sobre estos elementos (Roca Madre y alineación de piedras) fue depositado un relleno de nivelación que mantiene compacta la base de la estructura (CIV.T.68.09.22) además de elevar el nivel del edificio sobre la superficie inundable. Luego de estabilizar el terreno, se agregó un relleno de piedra

suelta color café sin compactar, mezclado con fragmentos de cerámica de los tipos Sabana Naranja, Juventud Rojo, Guitarra Inciso, pertenecientes a la Fase Mamon del Preclásico Medio. Este relleno sirvió de base para depositar otro relleno constructivo de consistencia más compacta (CIV.T.68.09.20) compuesto de pedrín y tierra blanca, este se utilizó para nivelar el área de piso de piedra laja (CIV.T.68.09.19) el que al mismo tiempo funcionaba como fondo para el corte (CIV.T.68.09.12).

La estratigrafía de este corte muestra todas las etapas constructivas de la Estructura 09, por lo que se puede deducir que dicho corte fue realizado durante la última etapa constructiva y perforando hasta la primera etapa luego se colocó una laja en el fondo del mismo para ser utilizado como contenedor para depositar ofrendas y mantener fuego permanente en la base del mascarón CIV.T68.09.03. (Ver figura 16).

La particularidad de los cuatro cortes de fosa localizados a los lados del mascarón y el rasgo que los hace similares es que todos estos en el fondo cuentan con una piedra laja de gran espesor, o cual pudo ser utilizada para contener el fuego. Además, todos estos cortes fueron realizados sobre el piso estucado de la Primera Fase constructiva, por lo cual puede deducirse que estos fueron realizados durante la Tercera Fase Constructiva, ya que fueron cubiertos durante la última fase constructiva.

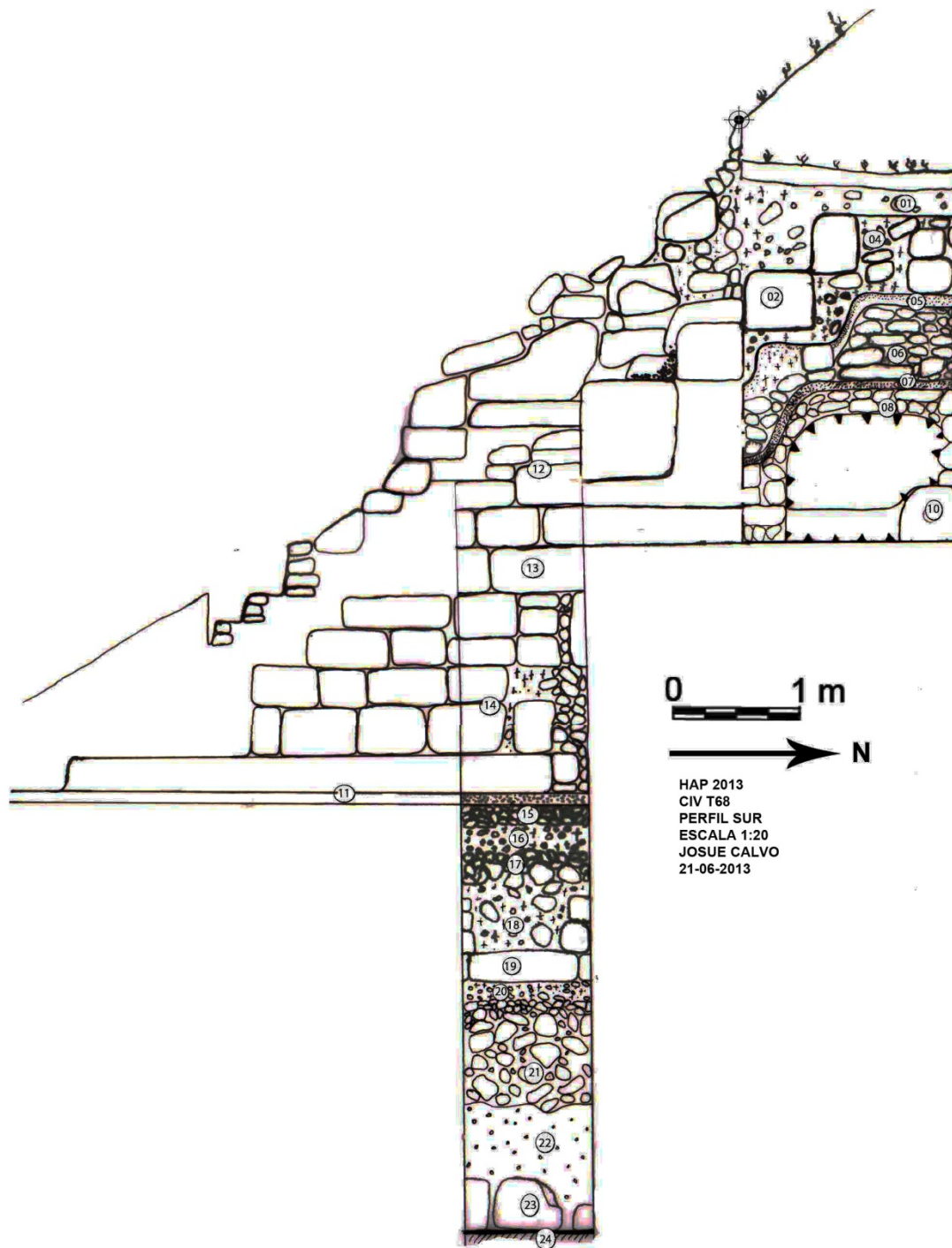


Figura 5.16 Perfil sur de la excavación y corte CIV.T.68.12 (dibujo J. Calvo).

Sobre el fondo del corte CIV.T.68.12, fue acondicionado un relleno de piedra caliza (CIV.T.68.09.18) mixto a pasta de cal. La finalidad de este relleno era la de mantener aislado el espacio del posible fogón respecto a la arquitectura del edificio. El relleno fue depositado inmediatamente por debajo del piso estucado CIV.T.68.17 y es el mismo piso que fue identificado en distintos puntos de la excavación como CIV.T.68.09.11 y CIV.T.68.32. Este piso pertenece a la primera fase constructiva de

la estructura, a la cual también pertenecen todos los elementos arquitectónicos localizados dentro del túnel, es decir, la plataforma estucada (CIV.T.68.09.27), cornisa mayor (CIV.T.68.29), pared (CIV.T.68.31), muro de contención (CIV.T.68.33), escalinata (CIV.T.68.35) muro (CIV.T.68.36) cornisa menor sobre muro (CIV.T.68.37), así como los rellenos constructivos asociados (CIV.T.68.21; CIV.T.68.22; CIV.T.68.41); todos los elementos arquitectónicos que pertenecen a esta fase, se caracterizan por estar cubiertos por una capa de fino estuco, en muy buen estado de conservación. Además, todas las esquinas son redondeadas, tanto las que forman las cornisas con las paredes como las esquinas formadas entre las paredes y el piso (Figura 17).

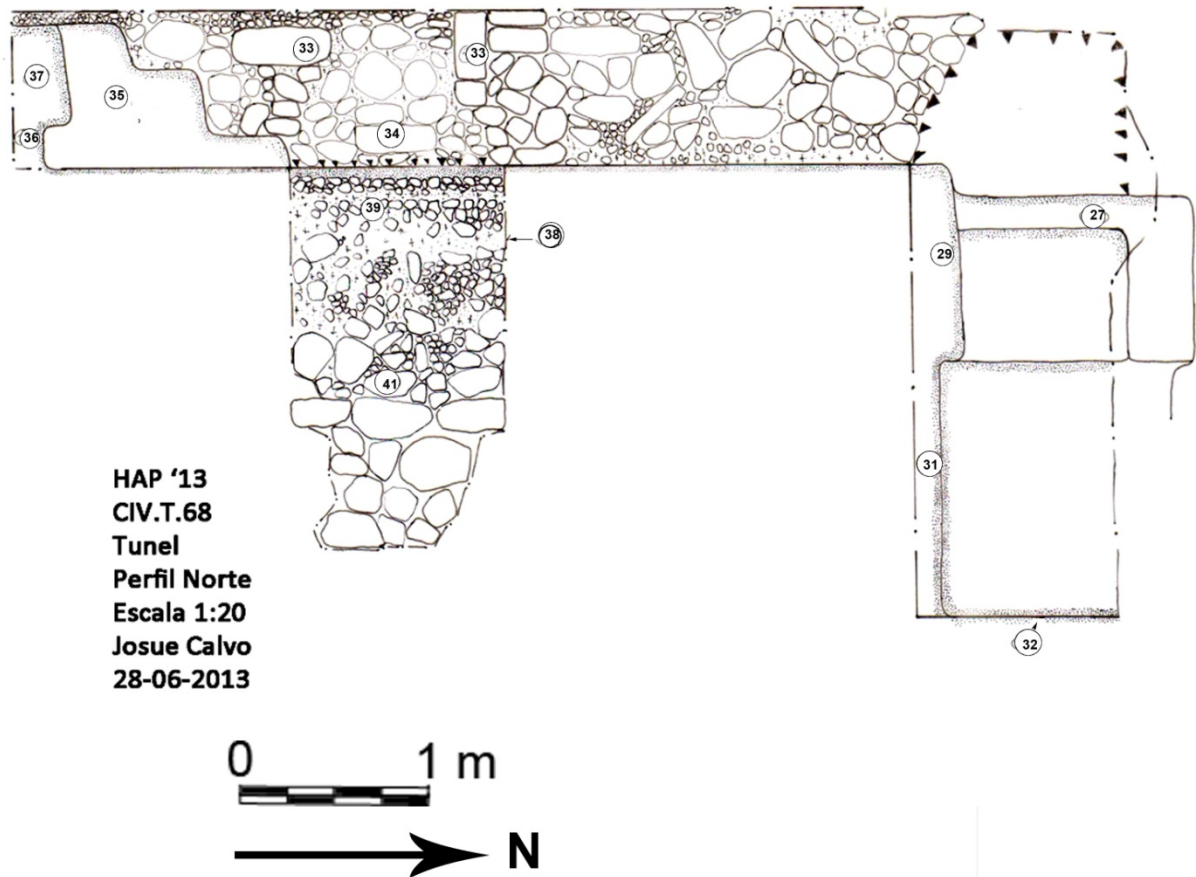


Figura 5.17 Perfil norte del túnel, elementos arquitectónicos de la penúltima fase constructiva (dibujo J. Calvo)

Inmediatamente sobre el piso estucado, es decir sobre la primera fase constructiva, fue depositado un relleno compacto (CIV.T.68.09.16) el cual varía de espesor en distintas partes de la excavación, pero el tamaño del mismo parece responder al hecho de no variar demasiado el volumen constructivo del edificio, este mismo relleno también se identificó como CIV.T.68.08.

Sobre este relleno fue depositado otro piso estucado y quemado (CIV.T.69.15) el cual es parte de la segunda etapa constructiva. Este mismo piso fue identificado en la extensión noreste de la excavación con el numero de contexto CIV.T.68.07. Sobre este piso quemado fue depositado otro relleno constructivo de nivelación (CIV.T.68.09.06), el cual sirvió de base para llevar a cabo la realización de la tercera fase constructiva, cuyo rasgo arquitectónico distintivo lo constituyen las escalinatas deterioradas (CIV.T.68.09.05) (Figuras 18 Y 19)

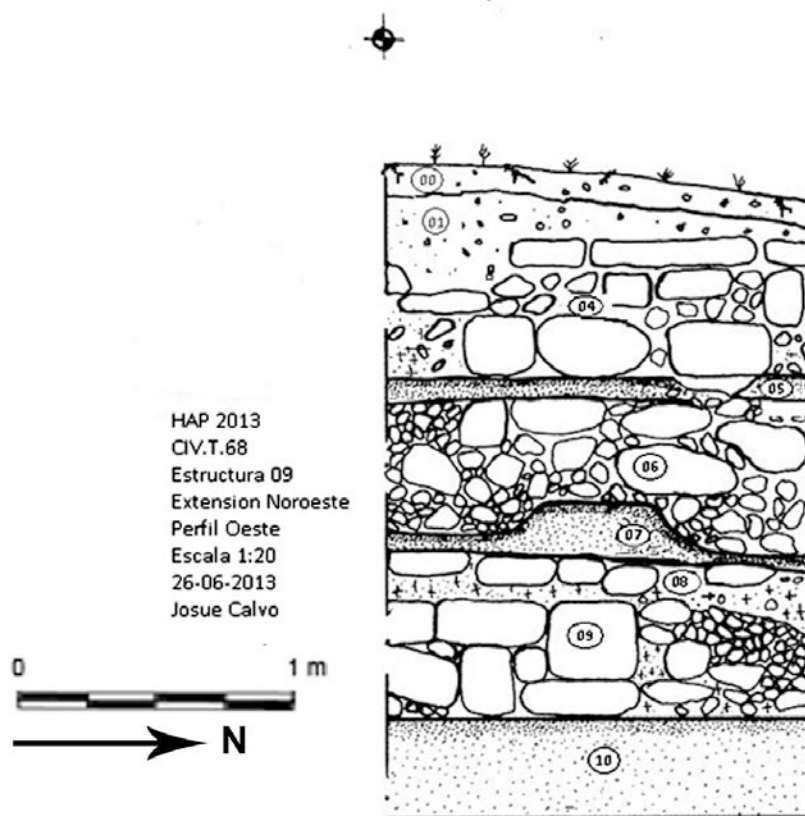


Figura 5.18 Perfil oeste en donde se aprecian los contextos CIV.T.68.09.07, 06 Y 05 (dibujo J. Calvo).

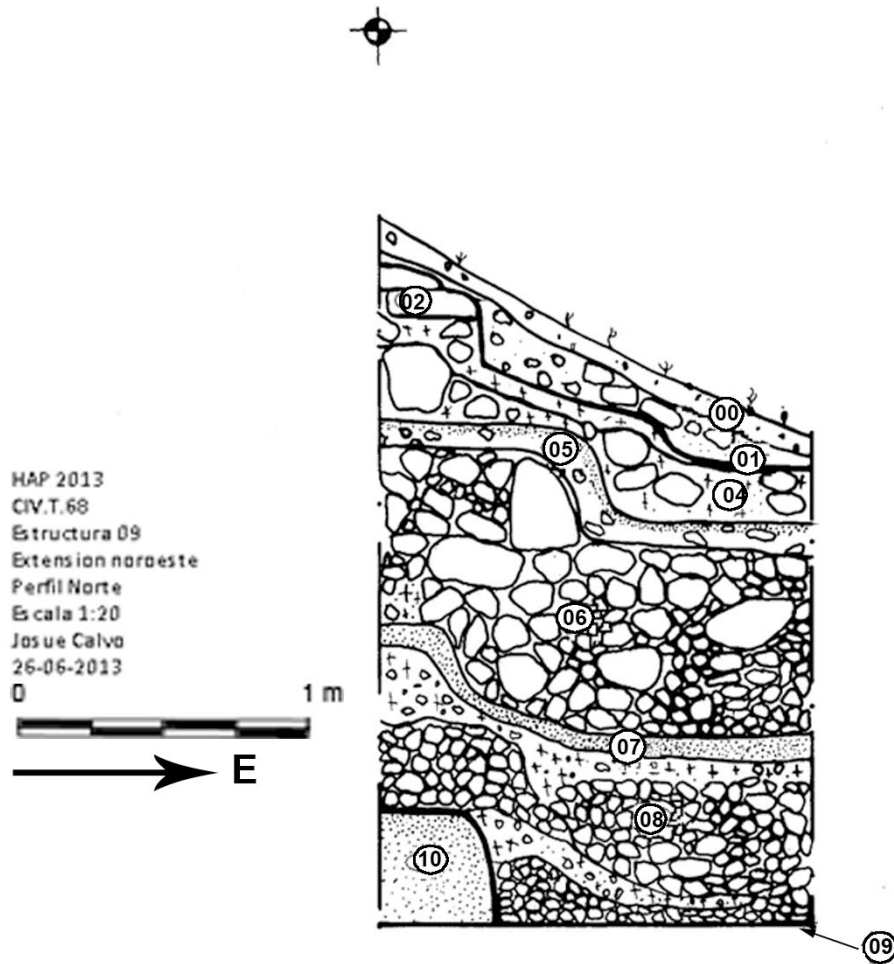


Figura 5.19 Perfil norte, extensión noreste (dibujo J. Calvo).

Inmediatamente sobre la tercera fase constructiva, fue depositado un relleno de nivelación, sobre el cual fue edificada la última fase Constructiva, (cuarta) a la cual pertenecen la escalinata de bloques masivos (CIV.T.68.02) y el mascarón destruido (CIV.T.68.03). Este mascarón se halla asentado sobre los restos de un segundo mascarón (CIV.T.68.43) el cual se encuentra destruido construido sobre un piso estucado (CIV.T.68.44) el cual también se encuentra mutilado (Figura 20). Este correspondería a la tercera fase constructiva.

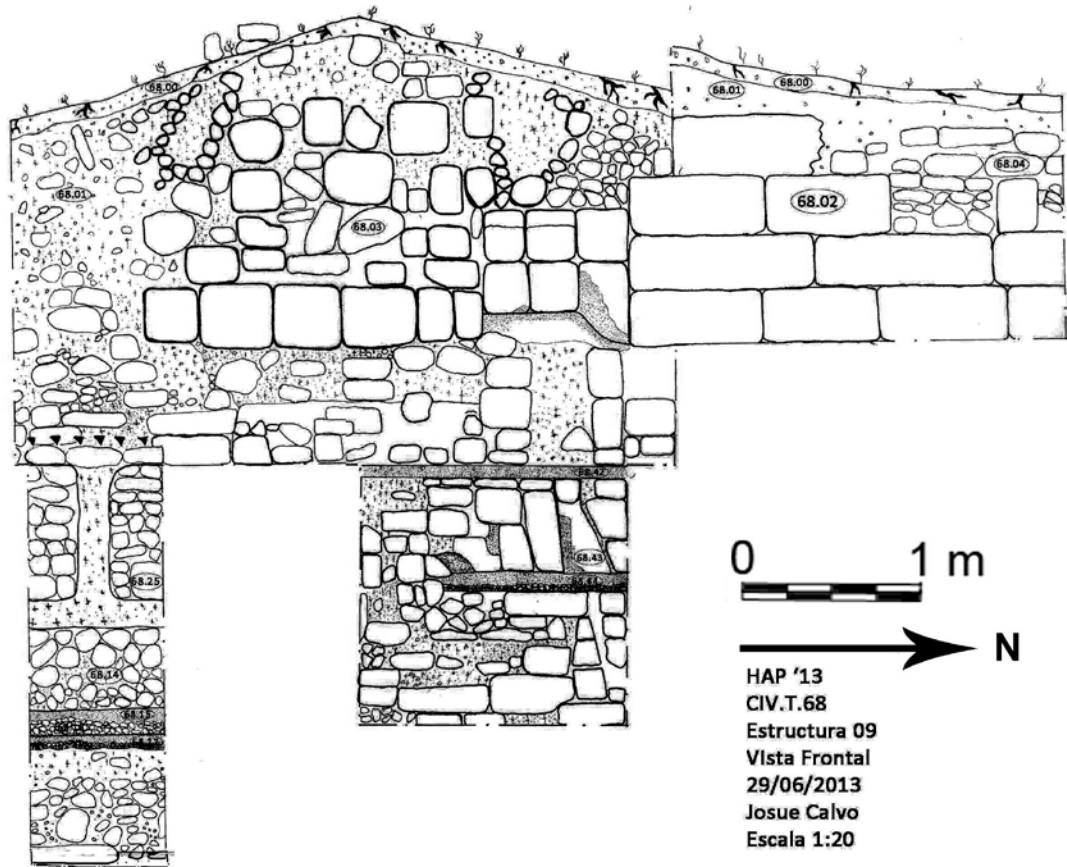


Figura 5.20 Vista frontal de toda la excavación T.68, perfil oeste (dibujo J. Calvo).

De acuerdo a la secuencia estratigráfica y a la cerámica recuperada en los rellenos constructivos, se deduce que la Estructura 9 fue construida durante la fundación de la ciudad, a inicios del Periodo Preclásico Medio, fue reconstruida durante tres fases y fue utilizada hasta finales del Preclásico Tardío, momento en el cual fue destruida la fachada del edificio que corresponde a la última fase constructiva. Cabe mencionar que así como fue mutilado el mascarón de la última fase también lo fue el de la penúltima fase. El tamaño de la estructura incrementó sus dimensiones en volumen durante las distintas fases constructivas, manteniendo la misma posición sobre el resto de la plaza y distancia con la plataforma Este del Grupo E, lo cual podría explicar la mutilación parcial de las fachadas anteriores.

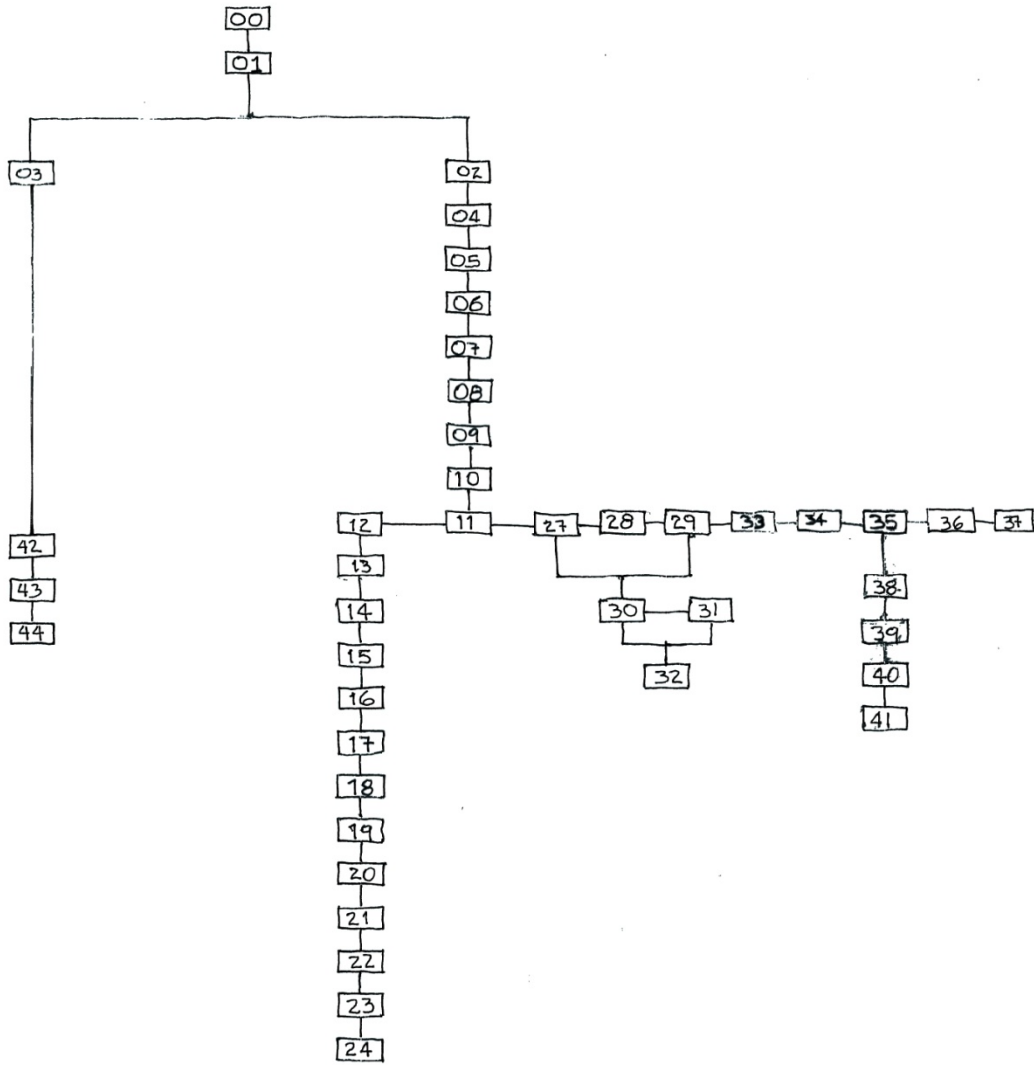


Figura 5.21 Matriz de Harris mostrando la relación estratigráfica de los contextos de la excavación CIV.T.68 (J. Calvo)

Capítulo 6. Excavación HOL.T.84, Grupo I, Pirámide Norte (Edificio D), Holmul

Anya Shetler, Boston University

Introducción

La excavación HOL.T.84 se efectuó con el propósito de investigar fase constructivas y fachadas de la estructura piramidal en el lado norte del Grupo I conocida como Edificio D. La misma se llevo a cabo por medio de un túnel que era continuación de la trinchera de saqueo HOL.L.10 que fue investigada por Angel Aj Pop Castillo en 2002 en la pared oeste de la misma estructura. La excavación empezó con un tamaño de 1x 2 metros siguiendo el muro sur en dirección este de la fachada (lado sur).

Descripción de la excavación

El trabajo en la unidad HOL.T.84 comenzó con la excavación de un túnel desde el punto final del túnel de 2002 hasta el plaza atravesando la última fase de la plataforma. De tal forma se creó una entrada más corta desde el exterior hasta la excavación para facilitar el trabajo que se proponía hacer. Este túnel siguió el mismo piso de la excavación de 2002 en dirección sur. El estrato HOL.T.84.01 era una continuación del último contexto de la excavación de 2002, un relleno de construcción de color gris-blanco, consistencia poco compacta, textura granulosa y flujo, y se integra por un 50 % de cantos rodados pequeños y piedrín. A 3 metros de la pared de la pirámide había otro muro, el contexto HOL.T.84.02. Este muro consistía en bloques de piedra caliza grande y algunos fragmentos de piedra grande. Se interpretó como un muro de contención por razón de la irregularidad de las piedras. Después excavar parte de este muro se observó el contexto HOL.T.84.03, un relleno de construcción de arena de color café grisáceo, con una consistencia poco compacta, y con inclusión de 40% del volumen total de piedrín y algunos cantos rodados. Detrás del contexto HOL.T.84.02 había otro muro con bloques de piedra caliza más regular en el tamaño, con una altura de 0.20-0.35 metros y una anchura de 0.50-0.70 metros. Este fue el contexto HOL.T.84.04. Después de este muro se encontró el contexto HOL.T.84.05, un relleno de arena de color café gris, con una consistencia poco compacta, y con inclusión de 40% del volumen total de piedrín y algunos cantos rodados, muy similar al contexto HOL.T.84.03. Después de 4 metros este contexto terminó con una capa de 0.30 metros del humus que cubre todo el montículo, el contexto HOL.T.84.06. Es de color café oscuro con mucha vegetación.

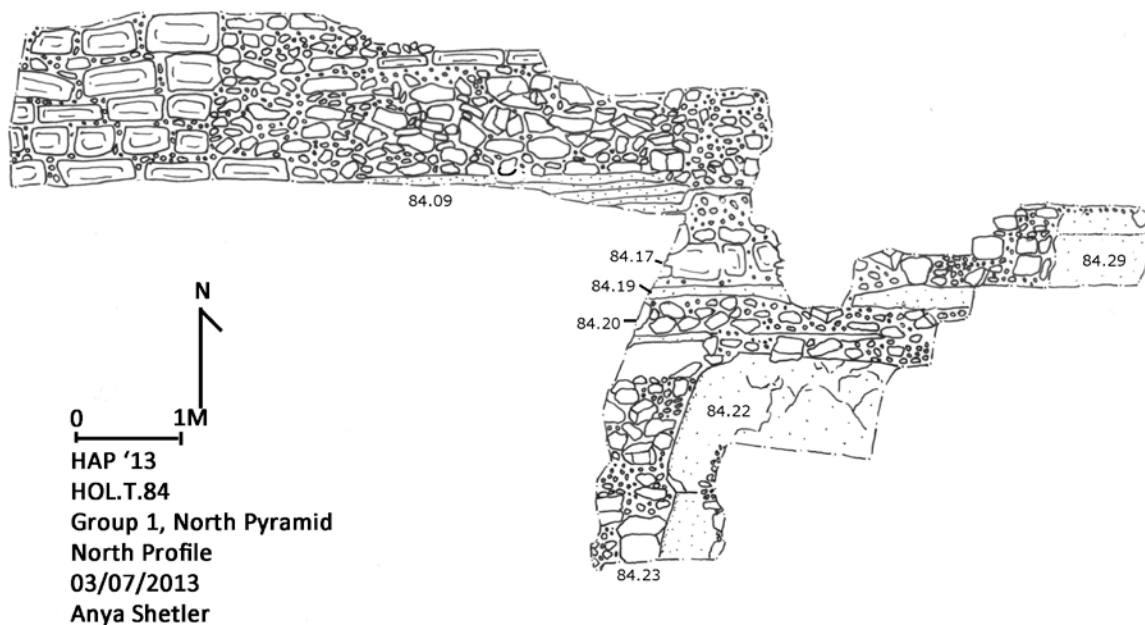


Figura 6.1 Perfil Norte del túnel HOL.T.84 mostrando esquina de estructura Preclásica HOL.T.84.22 (dibujo A. Shetler).

Al terminar este túnel la excavación comenzó a seguir a la pared de la subestructura de la pirámide en dirección este de nuevo. Después de 0.80 metros de excavación, se encontró el contexto HOL.T.84.07, un grupo de bloques de piedra caliza que estaban perpendiculares a la pared de la pirámide en dirección sur. Este contexto incluía un mortero de color gris, y continuó en dirección este por 0.70 metros. El contexto HOL.T.84.08 es un relleno construcción de color café grisáceo, con consistencia compacto, y se integra principalmente de cantos rodados (70%) y piedrín (10%) pero contiene algunos bloques de piedra caliza con una anchura de unos 0.60-0.90 metros y una altura de 0.15-0.25 metros. El contexto HOL.T.84.09 es la capa de estuco liso sobre la cual estábamos excavando. El material tiene el color blanco grisáceo, con una consistencia suave pero compacta, textura granulosa, se compone de 70% piedrín y fragmentos

de piedras, y tiene un espesor de 0.20 metros con una capa de 0.05 metros de piedrín debajo de todo. El contexto HOL.T.84.10 es un corte en el contexto HOL.T.84.09. Es rectangular con esquinas redondeadas, con una anchura de este a oeste de 0.70 m. Dentro del corte hay dos contextos de relleno de construcción. HOL.T.84.11 empieza a nivel con los contextos HOL.T.84.09 y .10. Es un relleno de color gris, con una consistencia floja, y se integra principalmente de arena (70%) con piedrín (5%) con muchas piedras y partes de bloques de piedra caliza con muchas pequeñas áreas vacías entre las piedras. En este contexto, se encontraron un incensario modelado con su tapadera también modelada perfectamente intactas, colocadas dentro de un cajete de bloques de piedra caliza, (hallazgos HOL.T.84.02.01 y .02). El contexto HOL.T.84.12 consiste en el relleno de construcción debajo de las vasijas, que es de color gris, consistencia poco compactada, textura granulosa como arena, y se integra por 60% de piedrín, 10% de cantos rodados pequeños, y un 30% de mezcla.



Figura 6.2 Vista de la ofrenda HOL.T.84.11.02.01 y .02 afuera de su contexto (foto Estrada-Belli).

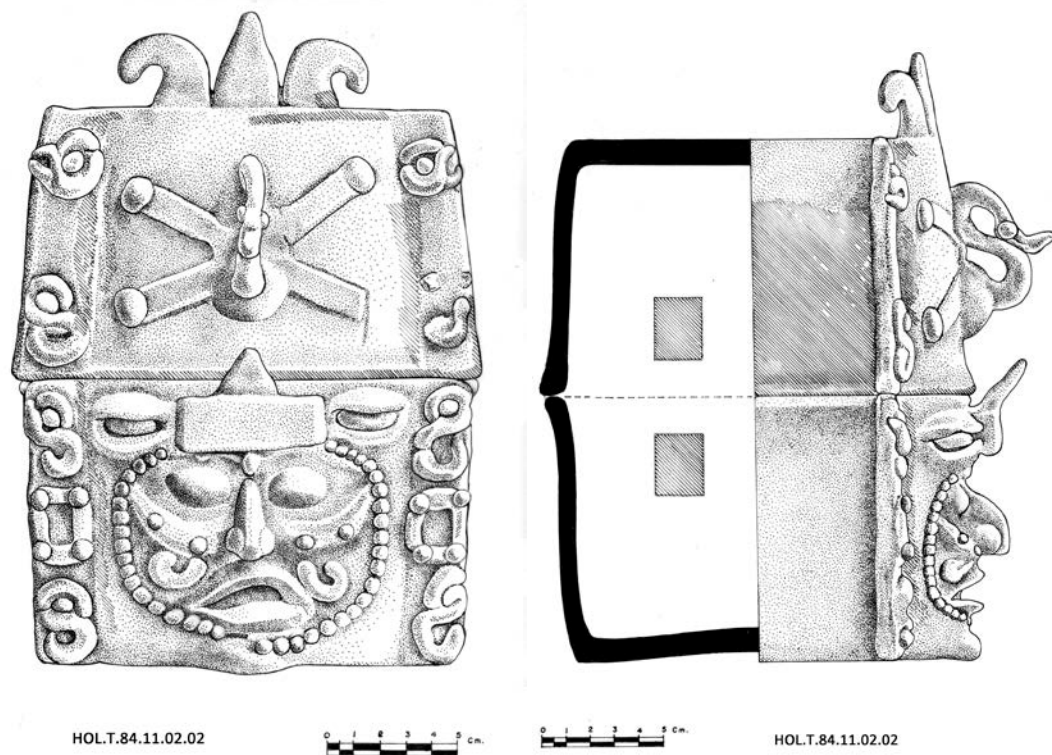


Figura 6.3 Dibujo del incensario y tapadera HOLT.84.11.02.01 y .02 (dibujo F. Alvarez).

HOLT.84.13 es un grupo de lajas, de 0.20m x 0.35m a 0.45m x 0.60m de tamaño y con un espesor de 0.05m a 0.10m. Estas piedras estaban en un área de 2.1 m x 0.50 m, y cubrieron un espacio ocupado por un esqueleto y tres vasijas. Interpretamos estas lajas como el techo de una cista de entierro. En la mitad norte de la cista, las lajas se habían derrumbado sobre el esqueleto, mientras que en la mitad sur todavía estaban intactas a manera de techo, aunque inestable. HOLT.84.14 es una capa de mezcla fina de color gris, muy flojo en la consistencia, y se compone de un 60% de arena y 40% de piedrín muy pequeño. En este contexto, había una serie de pequeños hallazgos. HOLT.84.14.02.01 es un vasija trípode pintado de un color marrón-negro oscuro que se encontró en la esquina suroeste de la cista de entierro. HOLT.84.14.02.03 se encontró a su lado en la esquina sureste de la cista. También había una vasija trípode pintada del mismo color marrón-negro oscuro, HOLT.84.02.02, en el cuadrante norte-oeste de la cista al lado del cráneo del esqueleto y en fragmentos. La misma se encontró casi completamente enterrada en el relleno HOLT.84.14. Sobre su engobe se observa una decoración incisa y una forma como de “acordeón” con dos ranuras profundas debajo del cuerpo principal. Al esqueleto se le asignó el numero de contexto HOLT.84.14.09.01. Se encontró muy dañado y muchos tipos de hueso fueron completamente ausente del entierro. Las partes del esqueleto que había sido cubierto por lajas caídas en el lado norte del entierro fueron los únicos

preservados. El cráneo se conserva en forma fragmentaria e incompleta. Había 3 dientes con implantes de una piedra muy oscuro de color verde-negro la cual podría ser pirita. El análisis preliminar por Jordan Krummel indicó que se recogieron por lo menos partes de algunas costillas, un húmero, un cúbito, un radio, un trocánter mayor, posiblemente una vértebra, y varios metacarpos y metatarsos, aunque muchos de los huesos fueron tan fragmentados que era casi imposible identificarlos. Dentro de la zona de la boca del cráneo había una perla de jade de forma irregular con un agujero incompleto, HOL.T.84.14.06.01. La cabeza fue encontrada en el extremo norte y los pies supuestamente habían estado en el extremo sur aunque no se hallaron. La cara parecía estar mirando hacia el oeste.

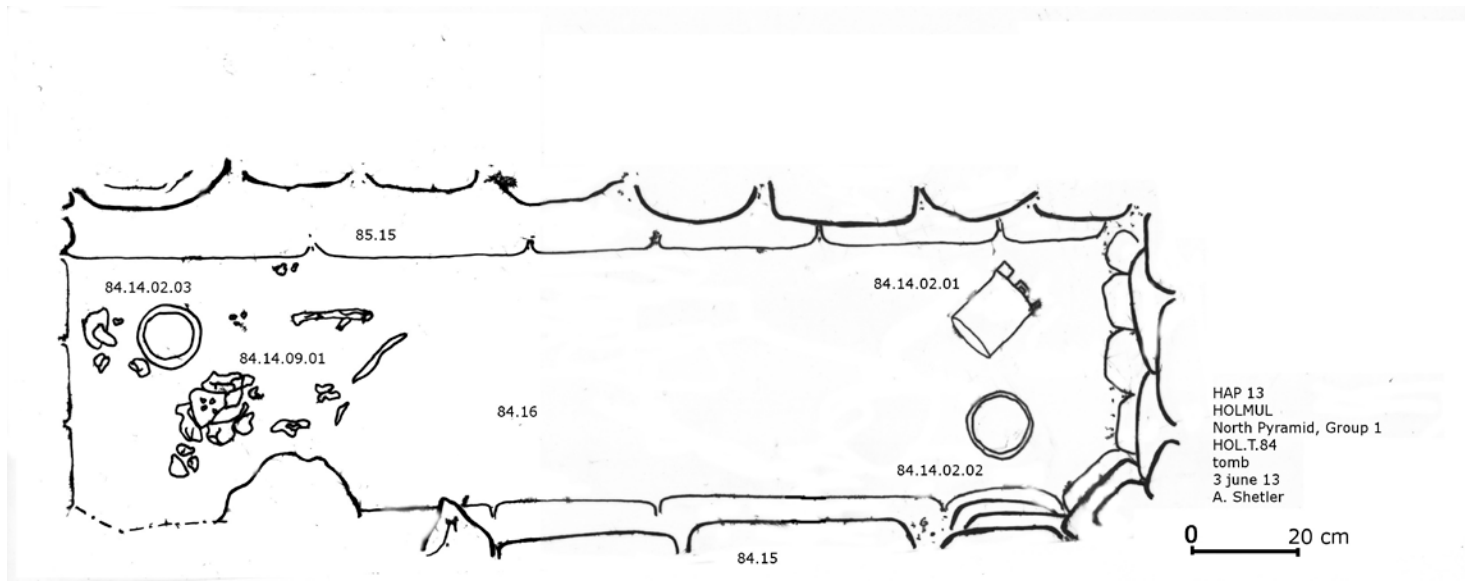


Figura 6.4 Planta del entierro HOL.T.84.14 (dibujo A. Shetler).



Figura 6.5 Cilindros trípodes del entierro HOL.T.84.14. La vasija del centro presenta un corte horizontal en el cuerpo probablemente para ser reutilizada después de una quebradura (foto. F. Estrada-Belli).

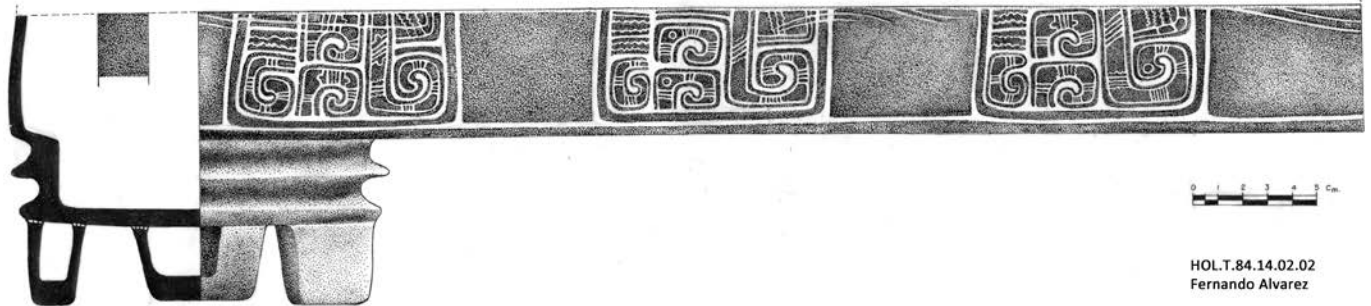


Figura 6.6 Cilindro tripode Urita gubiado inciso no. 02 del entierro HOL.T.84.14 localizada cerca del cráneo (dibujo F. Alvarez).

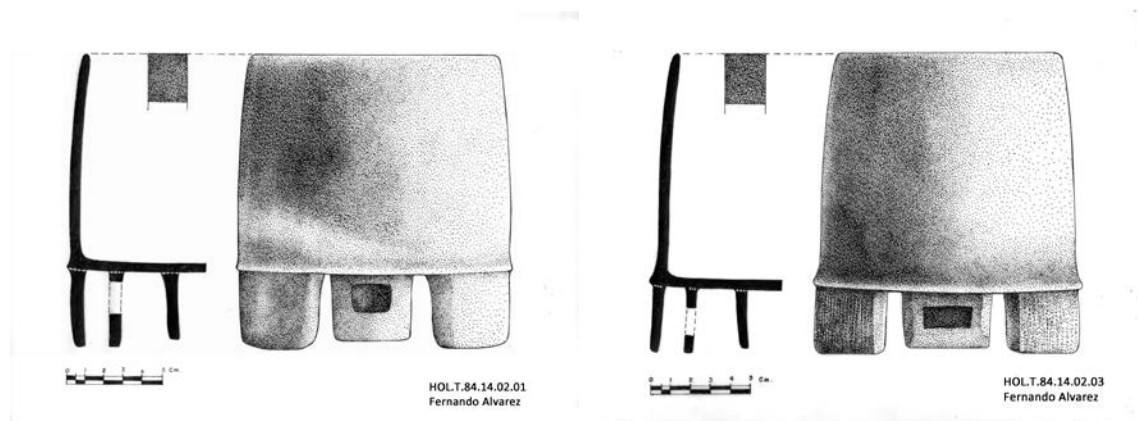


Figura 6.7 Cilindros trípodes Balanza Negro no. 01 y 03 del entierro HOLT.84.14. (dibujo F. Alvarez).

El número de contexto HOLT.84.15 corresponde a las paredes del entierro. Estas miden 0.48m-0.56m de altura y se compone de grandes bloques de piedra caliza que varían en tamaño de 0.18 m – 0.30 m de ancho. HOLT.84.16 es una capa de mezcla que cubría toda la parte inferior de la del entierro a manera de piso rustico. La misma era de color gris claro con una consistencia suave, una textura que varía entre arenosa y fina, y un espesor que varía entre 5 y 8 cm y es más gruesa en el extremo norte.

La cista se excavó desde el extremo sur al extremo norte ya que las losas del techo no habían caído en el extremo sur. En primer lugar la mayor cantidad del relleno HOLT.84.14 se retiró sin mover a los hallazgos. Luego los huesos y los artefactos fueron dibujados y fotografiados antes de ser extraídos.

Cuando la excavación de la cista fue completada, una parte de su piso, HOLT.84.16, se removió desde el extremo norte para que la excavación pudiese continuar hacia abajo. HOLT.84.18 es un relleno de construcción encontrada debajo del piso HOLT.84.16. El mismo es de color gris claro, consistencia de suave a suelto, tiene una textura fina y arenosa e incluye un 40% de arena, 10% de piedras grandes y piedrín pequeño. El 50% de su material se compone de grandes fragmentos de bloques tallados.

El contexto HOLT.84.17 es una hilera de bloques de piedra caliza en el norte y arriba de la ubicación de la cista del entierro. Los bloques son cuadrados, mide 0.40 m de alto por 0.20 m - 0,80 m de ancho, están unidas por un mortero y están colocados con una cara más delgada como frente, hacia el sur. Este estilo de mampostería se asocia a la época Preclásico Tardía. HOLT.84.19 es una gruesa capa de estuco debajo de los bloques HOLT.84.17 que es de color gris claro, de consistencia floja, de textura fina, y se compone de un 30% de piedrín y un 70% de arena fina. El contexto HOLT.84.20 es un relleno de construcción debajo de HOLT.84.19. Es de color gris, muy suelto en consistencia, de textura arenosa y se compone de un 40% de arena,

30% de piedrín, y un 30% de cantos rodados. Esta capa de relleno es de sólo 0.15 m de espesor entre HOL.T.84.19 y HOL.T.84.21. HOL.T.84.21 es otra capa de estuco que es de color gris claro, suave pero sólida en la consistencia, de textura muy fina y arenosa que incluye un 30% de piedrín. Esta capa se encuentra en el mismo nivel que la parte superior de HOL.T.84.22 y la pared norte de la cista de entierro. HOL.T.84.22 es una pared bien estucado, de color gris, y casi totalmente preservada. Esta pared tiene en la parte superior un talud de 1.0 m de altura, y por debajo del talud un muro vertical de 0.60m de alto el cual se conecta con una superficie estucada (HOL.T.84.23). La excavación reveló que esta superficie se extiende por 0.50 m de este a oeste, y luego termina en una esquina estucada y continúa hacia abajo, y por eso se deduce que es la parte superior de otra terraza (cuerpo escalonado) del edificio. Se siguió la excavación a lo largo de la pared HOL.T.84.22 hacia el este hasta que se encontró una esquina y una la pared similar perpendicular a esta hacia el sur. HOL.T.84.24 es un conjunto de gradas que se enfrentan al sur y van hacia abajo a lo largo de la pared HOL.T.22. Las mismas también están cubiertas de estuco. Tres gradas fueron completamente excavadas y se encontró que tienen un promedio de 0.40 m de ancho y 0.45 m de altura. Al este de las gradas se encuentra otra pared estucada y con leve inclinación a manera de talud, HOL.T.84.25. A continuación de esta pared se encontró el rasgo de escultura HOL.T.84.26 es un mascarón estucado.

Esta escultura mide aproximadamente 3.5 m de ancho y 2.5 de alto. La parte superior de la escultura no se liberó del relleno que la cubría debido a la inestabilidad del mismo. Sin embargo se pudo observar la presencia de un talud de aproximadamente 50 cm de alto en el cual estaban plasmados detalles iconográficos posiblemente asociados a una banda celestial. Debajo del este talud se libero la parte inferior del mascarón que consiste de una cabeza y rostros de una deidad con elementos decorativos abstractos modelados e incisos en el estuco . El rostro es un compuesto de formas humanas y abstractas. La forma del cráneo podría ser antropomorfa así como sus mejías. En lugar de las cejas se encuentran volutas grandes. Los ojos son apenas representados a manera de fisuras debajo de las cejas. De las esquinas de los ojos baja un elemento alargado en relieve que termina en la base del talud lateral. Debajo de una nariz antropomorfa se observa un pico de ave con dos elementos en forma de alitas en relieve y en cada lado. En las esquinas de la boca se encuentran dientes en relieve y pintados. La mandíbula del zoomorfo tiene forma similar al elemento inferior de un pico de ave. En cada una de las mejías se encuentra un círculo inciso en el estuco. En los taludes laterales se encuentran elementos abstractos entre los cuales se distingue posiblemente un elemento de perfil de cabeza de serpiente/ala de ave. Elementos como la nariz y pico de ave, las volutas en las cejas y los motivos acuáticos en las mejías sugieren que esta deidad pueda identificarse con el dios de la lluvia Chak (Figuras --).

Varias muestras de carbón se obtuvieron de la superficie de su estuco, pequeños hallazgos HOL.T.84.26.13.01-03. De una de estas muestras se obtuvo la fecha de radiocarbono de 1900

BP +/- 40 (con 1 signa calibrado de 70-130 d.C y un 2 signa calibrado de 20 a 220 de D.C.) Por lo cual, considerando la posición estratigráfica y el material Preclásico Tardío asociado a su relleno se deduce una probable fecha para este rasgo en entre el 70 al 130 d.C. El mascarón se construyó sobre un piso de estuco muy liso, que también parece ser la parte superior de otra terraza (cuerpo escalonado) del edificio. Este fue etiquetado contexto HOL.T.84.27. El contexto HOL.T.84.28 es otro conjunto de gradas que se encuentran justo al lado oriental de la máscara. Se enfrentan al sur y se continúan hacia arriba y hacia abajo.

Posteriormente se excavó en la parte superior del muro HOL.T.84.22. Allí Se encontraron dos gradas, una de 0.40 m de altura y otra de 0.28 m de altura. Siguiendo hacia el noreste, se encontró parte de una pared del edificio en la terraza arriba del mascarón hecha de grandes bloques de piedra caliza, HOL.T.84.29. Los bloques son de 0.60-0.80m de largo y 0.40 m de alto, tienen acabado hacia el sur, y están unidas por mortero.

Antes de cerrar la excavación, se recubrió el espacio frente al mascarón con sacos llenos de tierra cernida y se colocaron tablas y soportes para sostener el relleno arriba del túnel. En la entrada del mismo se construyó un muro de piedras y bloques para sellarlo.

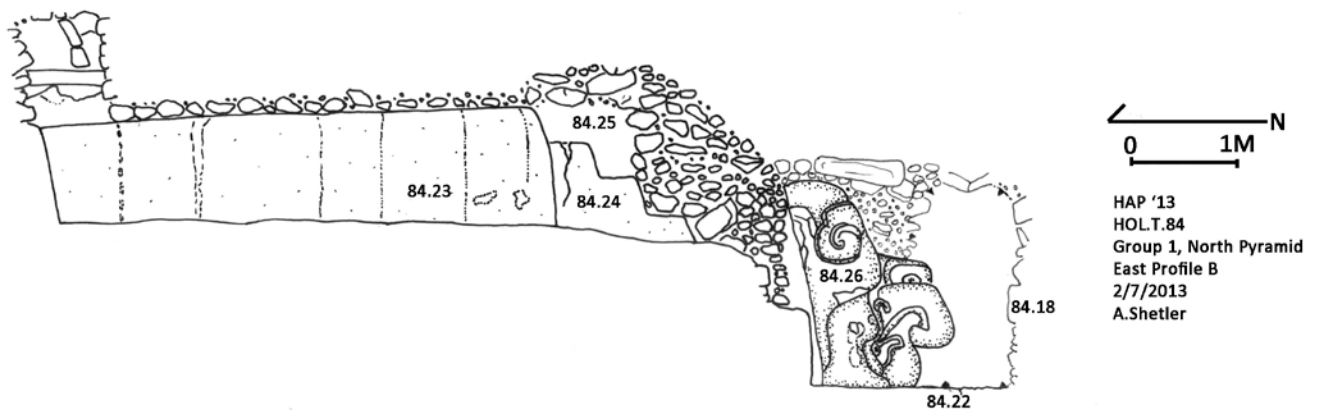
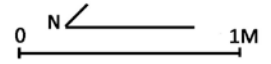
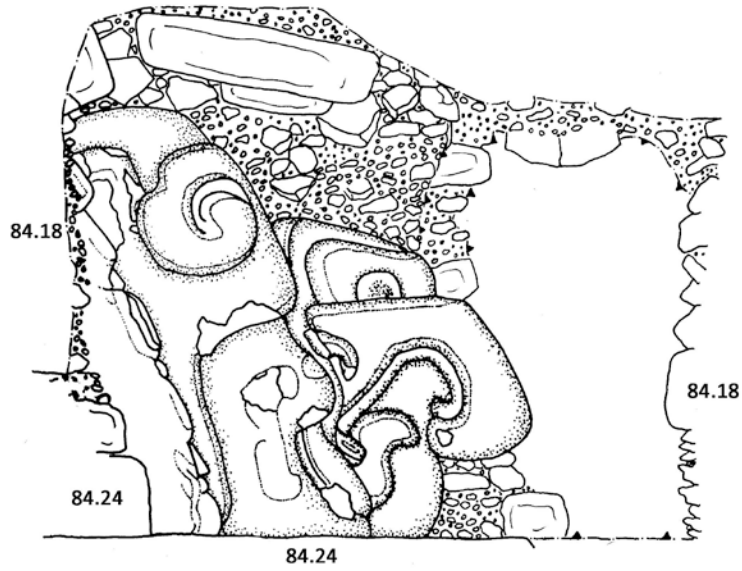


Figura 6.8 Perfil este del túnel de excavación HOL.T.84 (dibujo A. Shetler).

F



HAP '13
HOL.T.84
Group 1, North Pyramid
East Profile of Mask
2/7/2013
A. Shetler

Figura 6.9 Perfil este del mascarón estucado HOL.T.84.26 (dibujo A. Shetler).



Figura 6.10 Vista desde el sur del mascarón de la subestructura del Edificio D del Grupo I representante la deidad de la Lluvia Chak (siglo I d.C., Preclásico Tardío, foto Estrada-Belli).

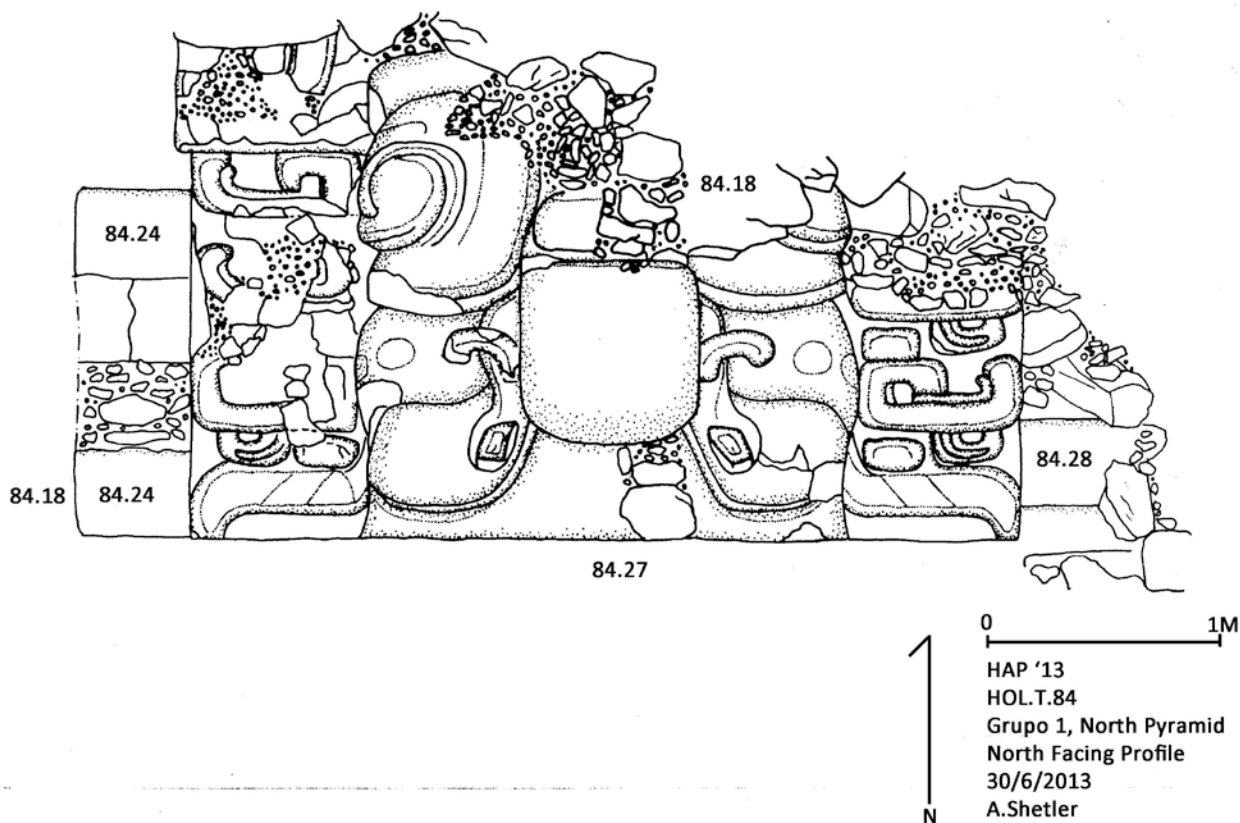


Figura 6.11 Perfil norte del mascarón HOL.T.84.26 (dibujo A. Shetler).

Conclusiones:

De la excavación de esta temporada en la Estructura D se pudieron constatar rasgos pertenecientes por lo menos a 3 subestructuras enterradas debajo de la fase superficial de la misma. En base a la forma y posición de una serie de grandes bloques de piedra caliza que se encuentran en el contexto HOL.T.84.08 parece que hubo dos escalinatas inmediatamente una encima de otra en la fase final. La fila de bloques de piedra caliza HOL.T.84.17 podría ser el primer rasgo de otra escalinata u otra parte de un edificio no excavada. Los contextos de muro HOL.T.82.22-28 son todos parte de una única estructura estucada de la cual se pudieron observar parte de sus dos cuerpos escalonados superiores. En base a ciertos rasgos arquitectónicos como el estilo de molde remetido de la pared (HOL.T.84.22), la forma de las

gradas (HOL.T.84.24), y el mascarón (HOL.T.84.26), se estimó que este edificio es probablemente Preclásico Tardío. La fecha de radiocarbono obtenida del estuco de mascarón confirmó que el mismo fecha al primer siglo d.C. El contexto HOL.T.84.29, un muro de bloques de piedra caliza que no están cubiertos de estuco, podría corresponder al edificio superior de esta estructura Preclásica. La cista de entierro parece haberse introducido dentro del relleno entre la Estructura Preclásica y otra estructura posterior a la misma por un corte (HOL.T.84.10). Basándonos en la cerámica de la ofrenda funeraria, se estima que el entierro fecha para la época Clásica Temprana entre 400 y 500 d.C., aproximadamente. El colapso de las lajas de la cista en la parte norte y la falta de restos óseos en la parte sur, sugieren que la misma fue ingresada en una época posterior y que la parte inferior del esqueleto (área sur de la cista) fue removida. Solo los restos óseos que quedaron enterrados debajo de las lajas colapsadas y todas las vasijas fueron los que se pudieron encontrar en este entierro. Aproximadamente a un metro arriba de la cista se encontró la ofrenda de un incensario con tapadera (HOL.T.84.02.01 y .02) la cual en base a su estilo se puede fechar para el Clásico Tardío. Por lo tanto se puede sugerir que el re-ingreso en la cista pueda corresponder a la deposición de la ofrenda de incensario en el Clásico Tardío. La relación de esta ofrenda con la última fase del edificio no fue investigada, sin embargo por su posición no es de descartarse la posibilidad de que esta ofrenda corresponda con la fase final del Edificio D.

Capítulo 7. Excavación HOL.L.23, Edificio C, Grupo II, Holmul

Luke Auld-Thomas, Tulane University

Introducción

El Edificio C es la estructura más occidental del Grupo 2, en la parte central del sitio de Holmul. La primera meta de nuestra excavación durante la temporada 2013 fue explorar la historia de construcción del edificio, siguiendo una excavación del 2012 (HOL.T.83) por Diana Mendez (Estrada-Belli 2013) que encontró una pared de una fase más temprana del edificio bajo el nivel actual de la plataforma del Grupo 2. Esta misma excavación encontró, al lado de dicha pared, una piedra estucada y pintada con rostros humanos. Por esa razón, se planteó investigar si había restos de esta misma pared *in situ* asociado con un parte más temprana del edificio.

Había dos trincheras de saqueo en el lado este o sea la fachada principal de la Estructura C. Ambas se limpiaron para comprobar qué había sido expuesto durante el saqueo, y colocamos nuestra excavación en la parte exterior de la trinchera norte (HOL.L.23). La excavación empezó con un pozo de 2.5 x 2.5 metros, y al encontrar los restos de fases tempranas del Edificio C hicimos unos túneles para seguir la forma de la estructura. Este proceso se describe en este capítulo a continuación.

Descripción de la excavación

HOL.L.23.01 fue el primer nivel estratigráfico, que consistió del humus y un relleno de piedras y tierra de saqueo. Esta matriz fue bien mezclada por las excavaciones de los saqueadores, una situación exacerbada por la acción de muchas raíces. Por eso, el contexto HOL.L.23.01 incluyó muchas piedras de mampostería (~30%), piedras más pequeñas (~30%) y tierra arenosa suave de color gris oscuro (~40%). A pocos centímetros abajo del piso de la trinchera encontramos el contexto HOL.L.23.02, que fue una pared muy rústica, alineada nortesur, hecha con bloques de aproximadamente 50 x 20 x 20 cm. No encontramos evidencia de revestimiento, y por eso se interpretó como "muro de contención" o pared rústica para la retención del relleno.

En la base de dicha pared encontramos el contexto HOL.L.23.03, un piso de estuco muy plano, de 20 cm de profundidad. Este piso estaba un poco deteriorado en la parte noreste de nuestra excavación a causa de las raíces. El contexto HOL.L.23.04 era un segundo piso, casi igual al primero (incluso la deterioración en la parte noreste) e inmediatamente debajo del mismo. La única diferencia era que el piso inferior solo tenía unos 17 cm de profundidad. El contexto HOL.L.23.05 fue un tercer piso debajo del HOL.L.23.04, de acabado similar a los dos pisos que lo cubrían y que tenía 12 cm de profundidad.

Al romper el tercer piso, encontramos el contexto HOL.L.23.06, que era un matriz de tierra suave de color gris-moreno (~70%) con inclusiones de piedras pequeñas de tamaños entre 5cm-25cm (%30). Dentro de esta matriz encontramos unos fragmentos de un plato o comal de cerámica (HOL.L.23.06.01.01; FIGURA 1) con un diseño abstracto inciso. El relleno

HOL.L.23.06 yacía a los dos lados de una pared rústica, denominada contexto HOL.L.23.07. Esta pared estaba alineada unos 10° al sur del oeste, y su curso de piedras más arriba lindaba al pie del piso HOL.L.23.05. La pared consistía de piedras grandes, aproximadamente 30 x 30 x 80 cm, pero como no había evidencia de mortero ni revestimiento, y como su alineación estaba fuera de oeste verdadero, es probable que esta pared haya sido sólo para retención durante la renovación del edificio, así como el contexto HOL.L.23.02. Los contextos HOL.L.23.06 y HOL.L.23.07 ambos descansan sobre un piso estucado, denominado HOL.L.23.08. Como los otros, este piso era muy plano y duro; tenía 10 cm de profundidad.



Figura 7.1 Fragmento de un plato, HOL.L.23.06.01.01, con diseño abstracto (foto Auld-Thomas).

Bajo del piso HOL.L.23.08, encontramos dos contextos nuevos, HOL.L.23.09, que era un relleno de tierra suave y arcillosa de color café-gris con inclusiones de muchas (~50%) piedras pequeñas (de menos de 10 cm) y pedrín; y una entrada al túnel que hicieron los excavadores el año 2012 (HOL.T83, Estrada-Belli 2013) siguiendo la pared de una fase temprana del Edificio C y, por eso, la superficie de dicha estructura, que aquí se denomina como HOL.L.23.10 (Fase II del edificio).

La superficie de esta estructura, contexto HOL.L.23.10, consiste en bloques de piedra bien trabajados, aproximadamente 30 x 30 x 80 centímetros de tamaño, y casi todos cubiertos aun con estuco muy plano y fino de color gris-rosado. El único lugar donde había mucho daño al estuco era una escalinata pequeña que los excavadores del año pasado ya habían limpiado (Figura 2).



Figura 7.2 Vista de la superficie estucada de HOL.L.23.10, sacado desde el punto donde terminó el túnel del 2012 mirando atrás hacia el punto donde encontramos el túnel (foto Auld-Thomas).

Al descubrir ésta fase temprana del edificio (HOL.L.23.10), hicimos un túnel al oeste para buscar los restos de una fase más tardía, usando los tres pisos (HOL.L.23.03-.05) como techo del túnel y el nivel más alto del edificio (HOL.L.23.10) como piso. Este túnel cortó a través de tres contextos de relleno, HOL.L.23.06, .08, y .09. En este túnel, excavando dentro del contexto HOL.L.23.09, encontramos un arreglo de piedras que denominamos HOL.L.23.11 pensando que era otra pared muy rústica, sin embargo era un arreglo accidental de piedras pequeñas (~25 cm) dentro de la matriz de HOL.L.23.09.

Junto con el piso HOL.L.23.08 (es decir, levantándose de él), encontramos el contexto HOL.L.23.12, que era la esquina noreste de una grada aproximadamente 40 cm de alto y cubierto con estuco muy fino de color claro gris-rosado--y, por eso, la superficie de una fase más tardía de la Estructura C, denominada aquí cómo Fase III. Se siguió exponiendo esta grada hacia el sur y hacia el oeste. Al oeste la grada colindaba con una pared de molde remetido. Le

excavación se interrumpió allí porque esto fue confirmación de que habíamos encontrado el perímetro del edificio y no sólo una escalinata.

Excavando a lo largo de la misma grada hacia el sur a través de la matriz de contexto HOL.L.23.06, encontramos inmediatamente los restos de un mascarón de estuco (HOL.L.23.20), el cual descansaba encima de la grada pero con un elemento decorativo proyectado hacia el frente y sobre el piso HOL.L.23.08. La parte expuesta del mascarón medió 3.5 metros de largo y 1 metro de altura sobre el piso, con una profundidad horizontal de 1 metro. La mitad superior del mascarón se encontró mutilada debajo de los pisos HOL.L.23.05, .04, y .03. El mascarón continuaba a unos 10 cm dentro del sub-piso de HOL.L.23.05, pero no siguió más allá de la superficie del mismo. El mascarón representaba una cara antropomorfa, con labios muy gruesos, mejillas redondas con dos motivos decorativos en ambos lados, y orejas de aproximadamente 1 metro en cada lado del rostro. Dos garras, aparentemente de algún tipo de ave, surgían de las orejas y estaban puestas en la superficie de grada (HOL.L.23.12). Bajo de la cara y colocado sobre el piso HOL.L.23.08, había un elemento decorativo semiesférico, compuesto por muchos elementos redondos más pequeños posiblemente representado plumas de ave (Figura 3). El mascarón preservaba pintura roja en los labios, en los motivos decorativos en las mejillas, y en el elemento decorativo bajo la cara (plumas).

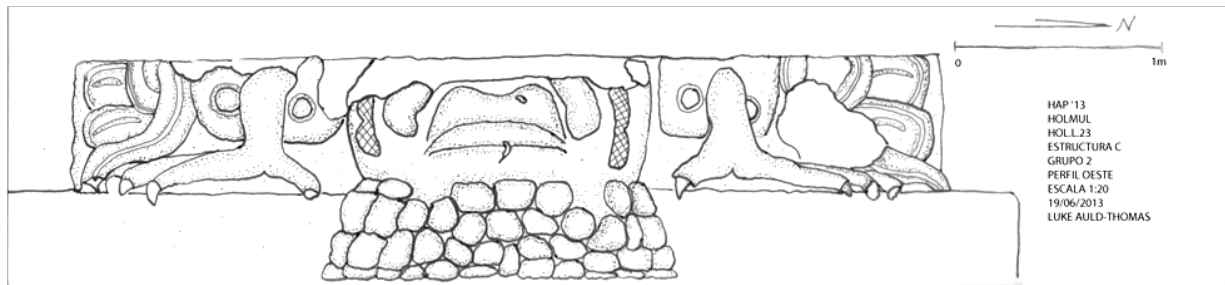


Figura 7.3 Detalle del mascarón del Edificio C (dibujo Auld-Thomas).

Aproximadamente 50 cm al sur del límite del mascarón y siguiendo la misma grada (HOL.L.23.12), la matriz del relleno (HOL.L.23.06) cambió al contexto HOL.L.23.21, un matriz de mezcla muy dura con menos que 25% de inclusiones (15% piedras pequeñas, 10% pedrín). Dentro de esta matriz, 3 metros más al sur del mascarón, encontramos el contexto HOL.L.23.22, otro elemento semiesférico colocado en el piso (HOL.L.23.08) igual a la parte más baja del mascarón ya descrito (Figura 4). Interpretamos este elemento como otro mascarón similar al anterior en todo detalle.



Figura 7.4 El segundo elemento semiesférico (HOL.L.23.22) que indica la presencia del segundo mascarón (foto Auld-Thomas).

Entre los dos mascarones, hicimos un pequeño registro hacia el oeste en busca de la escalinata central del edificio. Sobre la grada HOL.L.23.12 encontramos otra grada, HOL.L.23.23, del mismo estuco y aproximadamente 35 cm de altura. Esto confirmó que habíamos encontrado la escalinata central entre los mascarones de la fase III del edificio.

Al limpiar el suelo de nuestra excavación con la meta de exponer toda la superficie de la Fase II (HOL.L.23.10), descubrimos que no había resto de un piso sobre el relleno del edificio; dentro de este relleno encontramos contexto HOL.L.23.17, que era la superficie de una terraza cubierta con estuco fino de color gris claro, que medía aproximadamente 35 cm x 2 metros, alineada al este-oeste. Se interpreta esta superficie como parte de la primera fase (Fase I) de la Estructura C. A lo largo del lado sur de esta terraza, había una capa de estuco, denominada contexto HOL.L.23.14, con su parte más alta levantada unos 3 cm sobre el nivel del contexto HOL.L.23.17, indicando que originalmente recubría el piso y las paredes de un cuarto de mampostería arriba del HOL.L.23.1. Este rasgo fue mutilado antes de la construcción de la Fase II dejando solo una huella de la pared en el estuco.

Bajo del contexto HOL.L.23.09 y lindante con la grada más alta de la Fase II, encontramos la entrada al túnel del año 2012 hacia el norte, es decir el contexto HOL.L.23.13, que era un piso de 8 cm de profundidad, ya perforado por las excavaciones en el 2012. Como el piso no era muy profundo y no cubría la fase II del edificio completamente, lo interpretamos como un piso rustico o piso de construcción. Inmediatamente debajo de éste piso encontramos el contexto HOL.L.23.15, que era un relleno de piedrín (menos de 5 cm de diámetro) de color

café-gris, de 12 cm de profundidad, que se interpreta como el sub-piso del piso HOL.L.23.13. Este nivel de piedrín lindaba con la parte superior de la terraza más alta de Fase II del Edificio C (HOL.L.23.10).

Abajo del contexto HOL.L.23.15, adentro del túnel del año 2012, se encontró un relleno (HOL.L.23.16) de tierra suave y arcillosa de color café-gris con inclusiones de muchas (~50%) piedras pequeñas (de menos 10 cm) y piedrín. El hecho de que esta matriz sea del mismo color, consistencia, y mismo porcentaje de inclusiones indica que probablemente haya sido depositada en el mismo evento con el contexto HOL.L.23.09, especialmente porque ambos lindan con la superficie de la Fase II del edificio (HOL.L.23.10).

Siguiendo a través del HOL.L.23.16 el lado norte de la terraza superior de la Fase II, encontramos una nueva matriz de relleno, el contexto HOL.L.23.18, que consistía de tierra suave y rasposa de color blanco, con inclusiones de aproximadamente 50%. La mayoría de éstas inclusiones era de bloques rústicos y piedras entre 30 y 60 cm de largo, pero también había un 10% de piedras finas con restos de estuco muy plano y blanco por un lado. Algunas de éstas preservaron restos de pintura negra y roja, pero no había ninguna indicación de figuras.

El contexto HOL.L.23.18 siguió a lo largo de la cara norte de la Fase II y, después de encontrar la esquina noreste de la plataforma, se observó por unos 4 metros a lo largo de la cara este de la estructura. En el centro de su lado este, encontramos unas gradas de 2.75 metros de ancho por 1.35 metros de profundidad por 1.75 metros de altura asociada con la misma Fase II. A esta escalinata se le dio el contexto HOL.L.23.19. De la misma se liberaron cinco gradas. La misma, como lo demás del edificio, estaba cubierta con estuco fino de color gris-rosado. El estuco estaba dañado en unos lugares por la deposición de piedras cuando la estructura fue enterrada. Se supone que el piso a la base de la escalinata se asocia a una plataforma basal. El mismo se pudo seguir por unos 2 metros en dirección este. Sin embargo se calcula que su nivel descansa a unos 30 cm arriba del nivel de plaza más bajo encontrado en la excavación de 2012.

Conclusiones

Debido a que la excavación no alcanzó el nivel de la roca natural, el rasgo más antiguo de la serie estratigráfica que se haya observado es la superficie de un cuerpo escalonado o plataforma recubierto de estuco fino (HOL.L.23.17). Este piso asocia a la Fase I del Edificio C. El estuco de este piso se termina con una huella (HOL.L.23.14) que representa el lugar de donde las piedras de una pared fueron sacadas antes de la siguiente construcción. La Fase II, rodea la fase más temprana y consiste en una plataforma completamente cubierta con estuco fino de 1.75 metros de alto (HOL.L.23.10), y una escalinata de 2.75 metros de ancho (HOL.L.23.19) que asciende desde la plataforma del Grupo II en la fachada este del edificio. La Fase II fue enterrada por un relleno que corresponde a los contextos HOL.L.23.09 y HOL.L.23.11 (arriba), y HOL.L.23.16 y HOL.L.23.18 (a los lados). Los rasgos HOL.L.23.09, HOL.L.23.11, y HOL.L.23.16 se interpretan como parte de una misma matriz, aunque había un piso (HOL.L.23.13) y un sub-piso de piedrín (HOL.L.23.15) entre los primeros dos y el tercero. Este piso se observó en la superficie de la terraza de la Fase II y fue perforado por las excavaciones del 2012.

Arriba del relleno HOL.L.23.09, se encuentra un piso (HOL.L.23.08) que asociamos a la Fase III del Edificio C. Ésta superficie se junta con la base de una plataforma estucada (HOL.L.23.12) y decorada con dos mascarones en la fachada este del edificio, uno al lado norte

de la escalinata central (HOL.L.23.20) y uno al lado sur (HOL.L.23.22). La escalinata de esta fase (HOL.L.23.23), se encuentra finamente estucada y mide aproximadamente 1.5 metros de ancho.

La Fase III fue enterrada con un relleno representado por los contextos HOL.L.23.06 y HOL.L.23.21, Dentro de ello encontramos una pared rústica (HOL.L.23.07) hecha con piedras aproximadamente de 30 x 30 x 80 cm y alineada un poco afuera del eje este-oeste y basada en el piso HOL.L.23.08. Este rasgo se interpreta como una pared de contención del relleno durante la construcción. El relleno HOL.L.23.06 fue tapado por el piso HOL.L.23.05. La construcción del mismo cortó la mitad superior de los mascarones y demás rasgos arquitectónicos superiores de la estructura. Había dos pisos más inmediatamente arriba de este nivel, los contextos HOL.L.23.04 y HOL.L.23.03. No se puede establecer con certeza si estos pisos representan tres fases separadas o solo una fase y sus renovaciones, pero por lo menos podemos decir que había una fase IV del Edificio C representado por estos pisos.

Sobre el piso HOL.L.23.03 se observó una pared muy rústica HOL.L.23.02 de piedras aproximadamente de 50 x 20 x 20 cm y sin evidencia de revestimiento, alineada norte-sur. La misma se interpreta como muro de contención de relleno. Finalmente, arriba de esta pared, estaba el relleno de la trinchera de saqueo, compuesto por muchos bloques grandes de piedra mezclados con piedras más pequeñas, tierra suave, y humus. La existencia de la pared de retención bajo de este nivel final, sin embargo, indica que probablemente haya habido una fase final de la estructura cuyas superficie no encontramos en nuestra excavación debido a la acción de los saqueadores.

En resumen, en la excavación HOL.L.23 se documentaron las primeras cuatro fases constructivas del Edificio C el cual sin duda incluye fase adicionales en la parte superior no investigada. En base a los datos cerámicos y a el estilo iconográfico del mascarón (HOL.L.23.20) de la Fase III se puede fechar las primeras tres fases a la época del Preclásico Tardío.

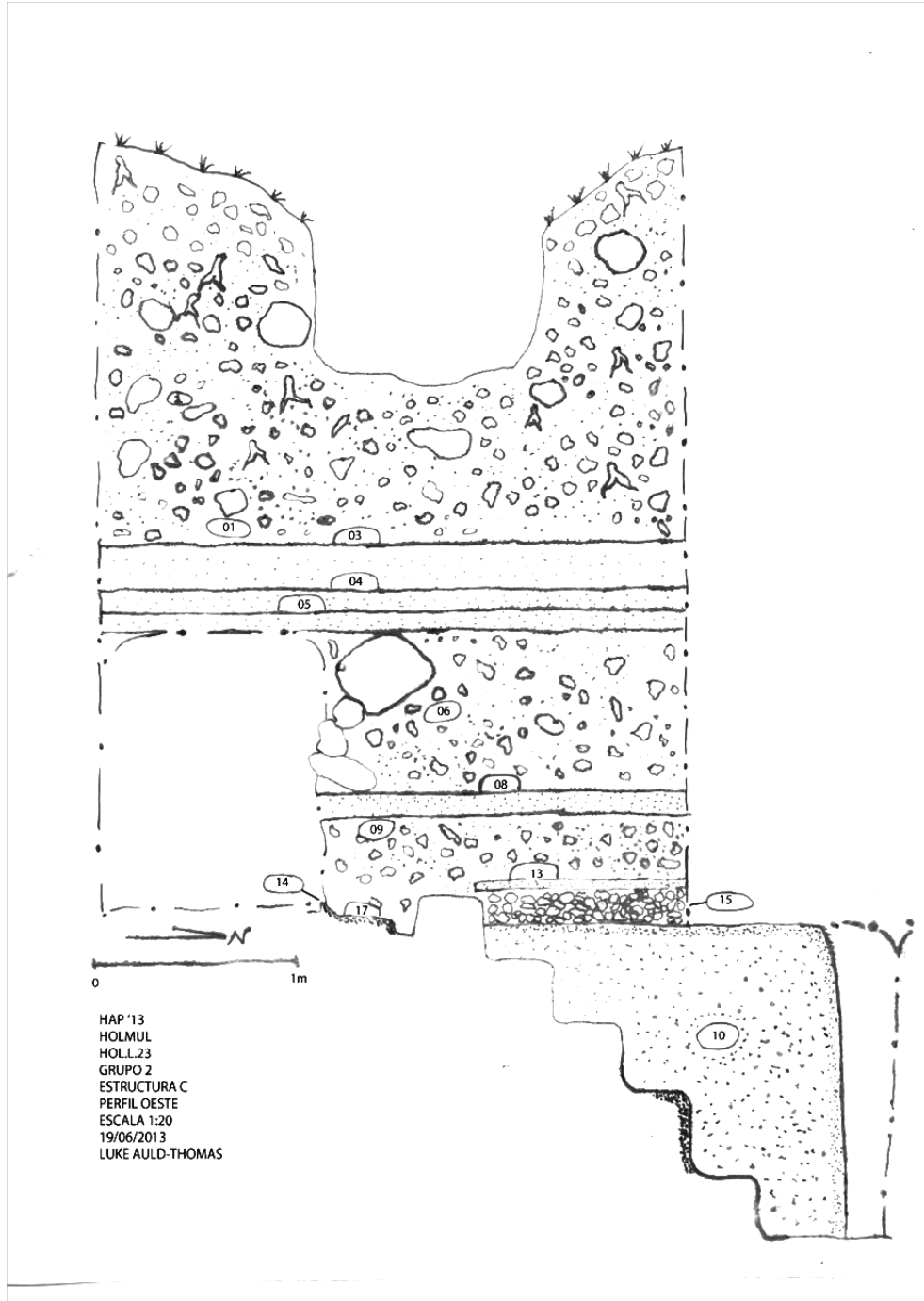


Figura 7.5 Perfil oeste de la excavación HOL.L.23 (dibujo L. Auld-Thomas).

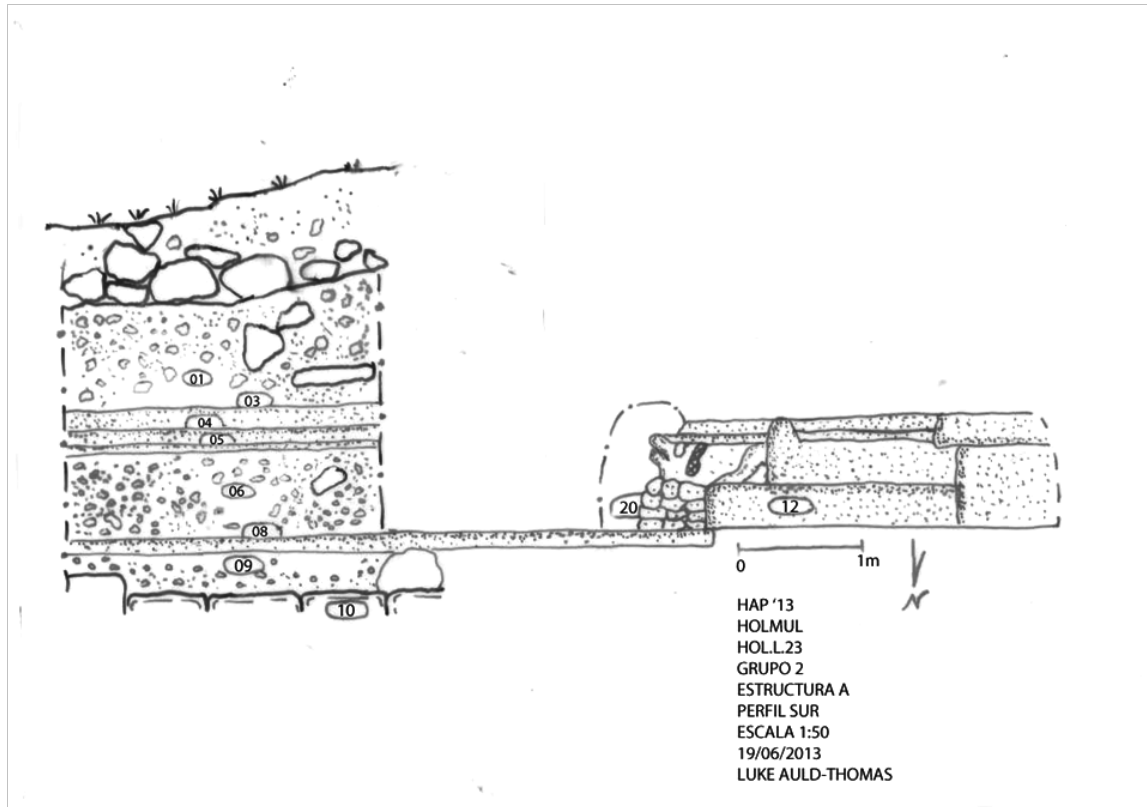


Figura 7.6 Perfil sur de la excavación HOL.L.23 (dibujo L. Auld-Thomas).

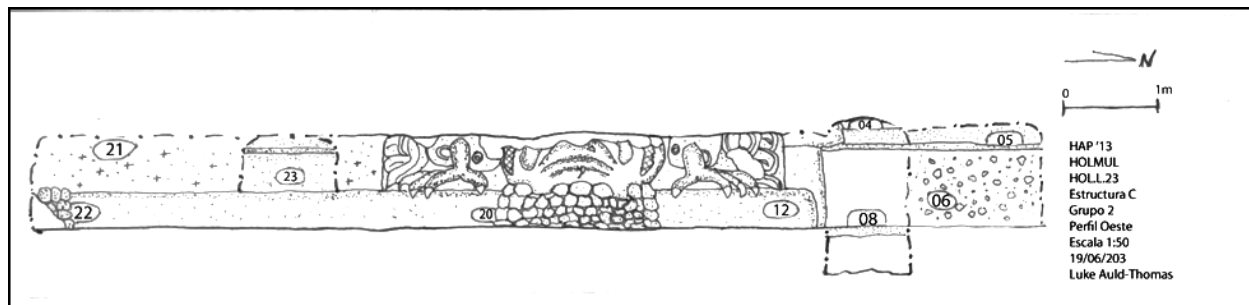


Figura 7.7 Perfil oeste del túnel superior de HOL.L.23 mostrando la fachada este de la Fase II del Edificio C (dibujo L. Auld-Thomas).

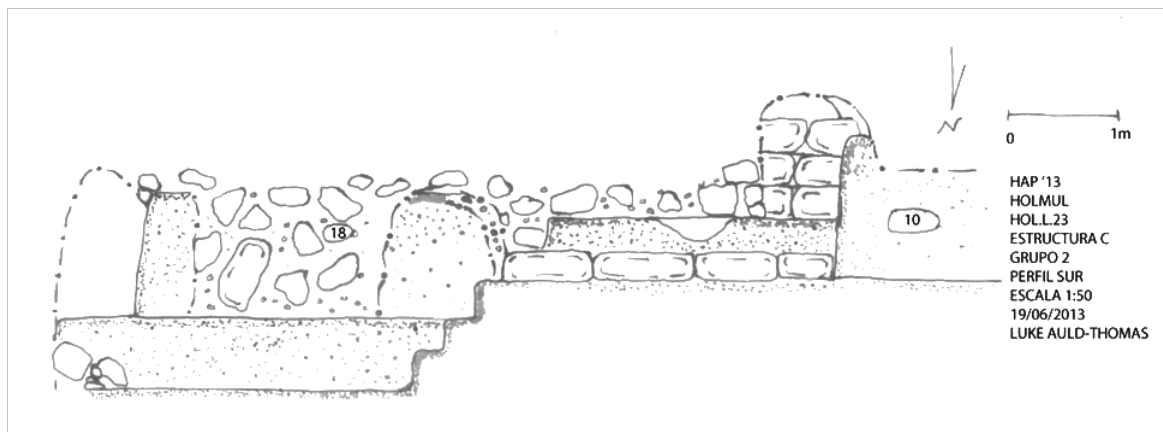


Figura 7.8 Perfil sur del túnel inferior de la excavación HOL.L.23 mostrando la esquina noreste de la Fase II del Edificio C (dibujo L. Auld-Thomas).

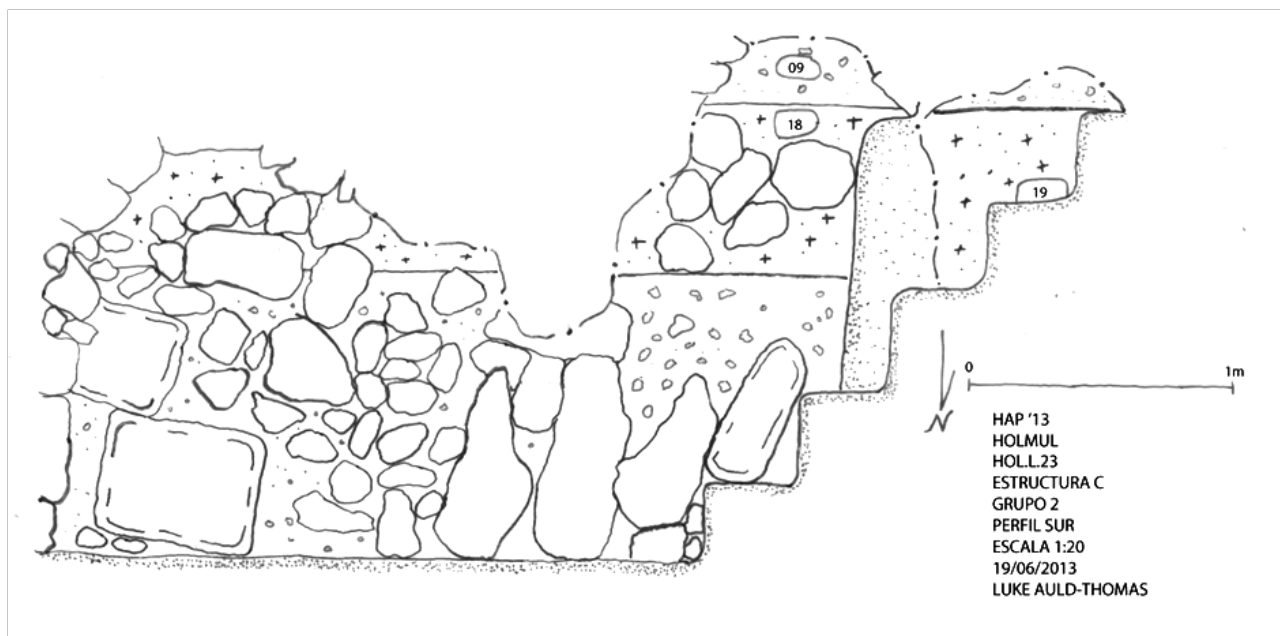


Figura 7.9 Perfil sur del túnel inferior de la excavación, mostrando la escalinata central y cuerpo escalonado asociado a la Fase II (dibujo L. Auld-Thomas).

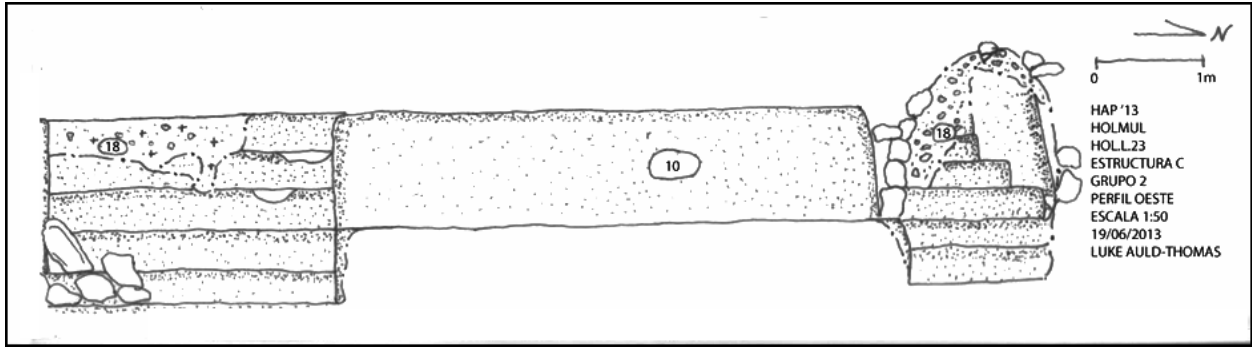


Figura 7.10 Perfil oeste del túnel inferior de la excavación, mostrando la fachada este de Fase II (dibujo L. Auld-Thomas).

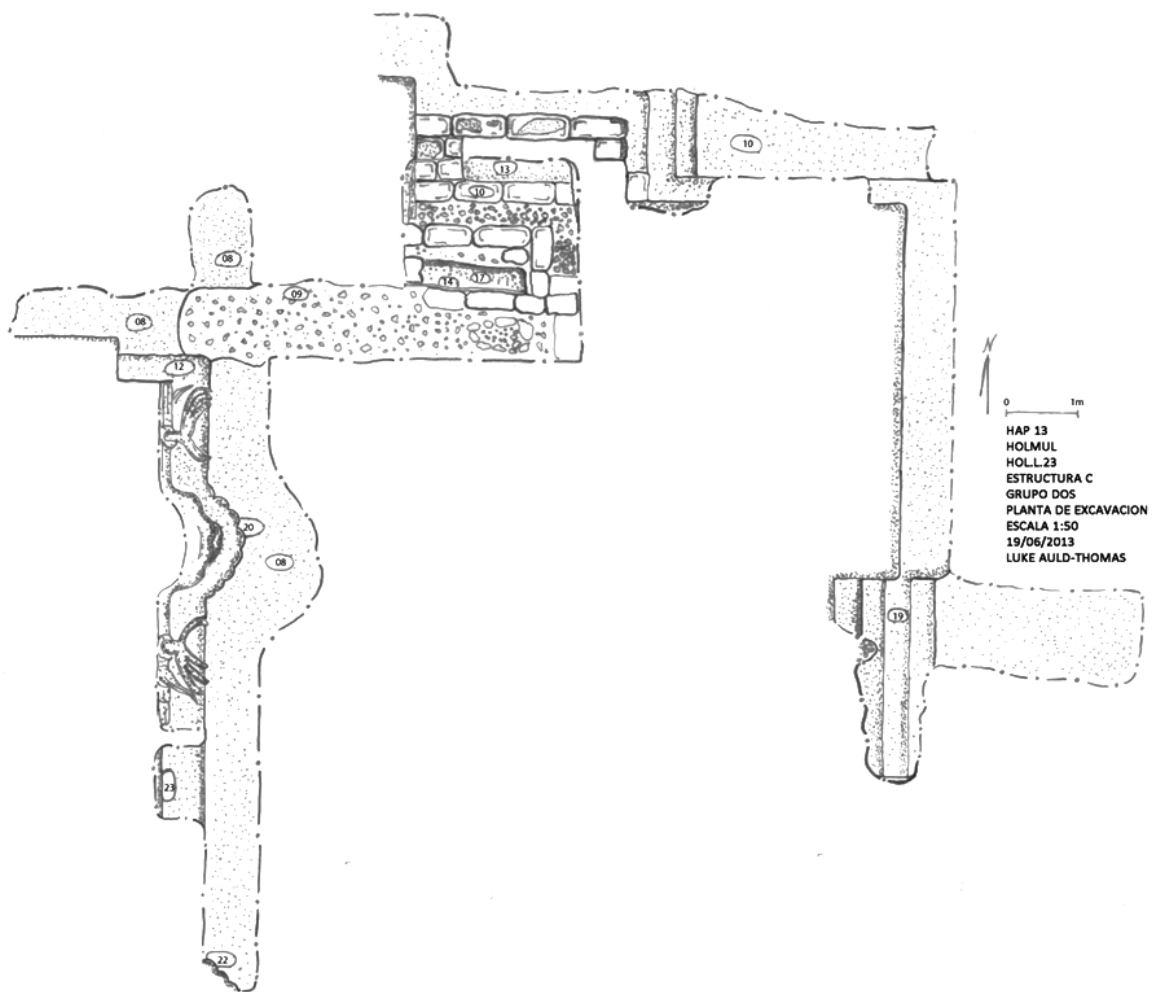


Figura 7.11 Planta de la excavación HOLL.23 (dibujo L. Auld-Thomas).

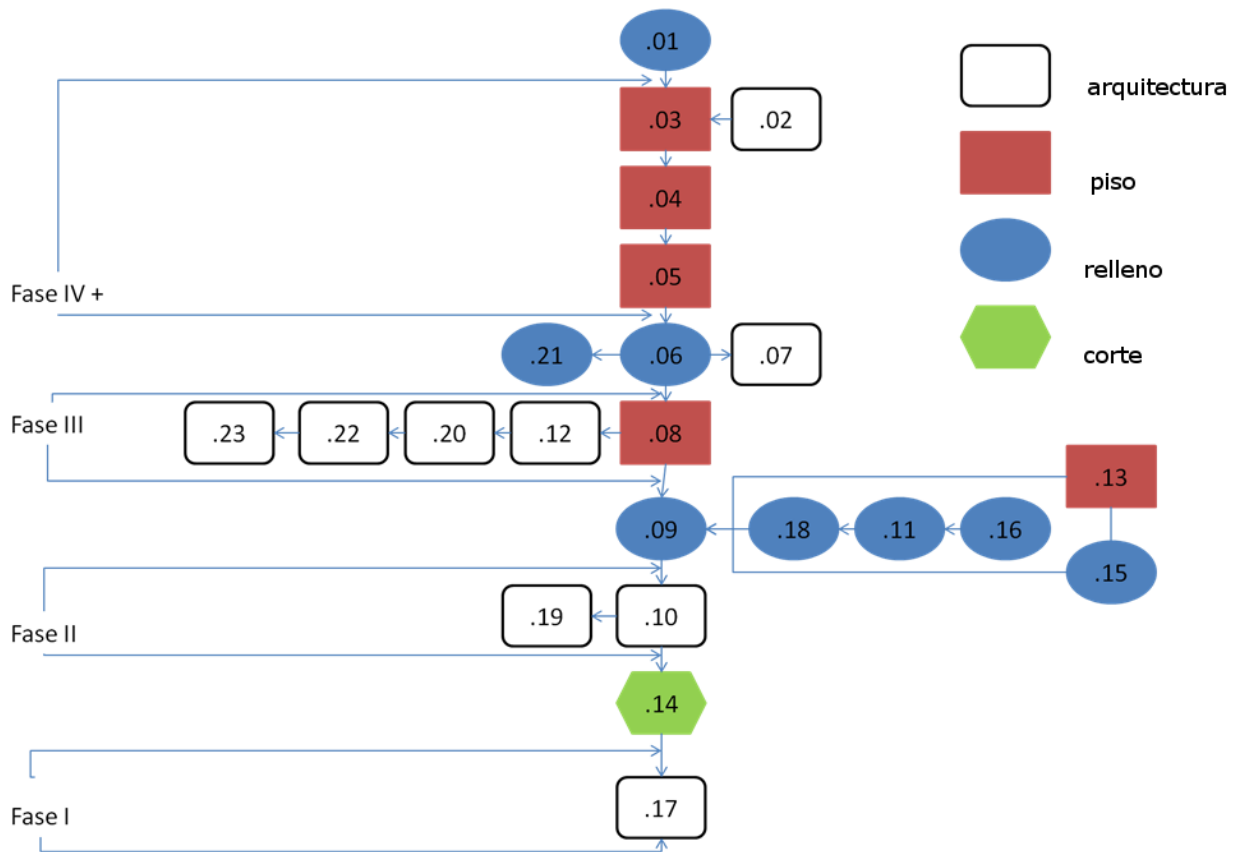


Figura 7.12 Matriz Harris de la excavación HOL.L.23 mostrando la relación temporal entre los contextos excavados (dibujo L. Auld-Thomas).

Capítulo 8. Excavaciones en el Edificio A, Grupo II, Holmul. HOL.T.78, HOL.L.20

Francisco Estrada-Belli (Boston University/Tulane University).

En 2013 se reanudaron dos registros de tuneles previamente iniciadas en la base del Edificio A del Grupo II de Holmul durante la temporada de 2012 (Estrada-Belli 2013) con la colaboración de Ramzy Barrois, Jordan Krummel, Anya Shetler y Angel Castillo. La excavación HOL.L.20, es un túnel de registro en dirección este que se emprendió en 2012 desde la mitad del túnel que atravesaba la base de la estructura desde la fachada sur en dirección norte. En este mismo registro se pudieron encontrar los restos de una escalinata (HOL.L.20. 14) perteneciente a una fase constructiva anterior del Edificio A. Dentro de esta escalinata se habían hecho varios hallazgos que vale la pena recordar aquí: un entierro debajo de la primera grada (contexto HOL.L.20.15) una ofrenda de una vasija pintada con la imagen del Dios Bufón, una pieza de piedra verde incisa, dos espinas de mantarraya y diez excéntricos de obsidiana (contexto HOL.L.20.19) y un entierro/tumba de un individuo acompañado por 28 piezas cerámicas pintadas y dos orejeras de piedra verde. (HOL.L. 20.21).

La excavación HOL.T.78 era un registro de túnel que corría a la par de la HOL.L.20 en dirección este-oeste siguiendo la pared exterior norte de la escalinata encontrada en el túnel HOL.L.20 y descrito anteriormente. En 2012 el túnel se había interrumpido en la esquina que esta pared de piedras y mezcla sin estuco formaba con una pared y talud de 1.60 de alto (contexto HOL.T.78.26), orientados norte-sur, que evidentemente formaban el primer cuerpo escalonado de la estructura asociada a dicha escalinata.

Se continuó esta excavación en dirección este siguiendo la pared (HOL.T.78.27) que en el lado sur del túnel formaba la pared exterior de la escalinata (HOL.L.20.14). Se procedió removiendo el relleno (HOL.T.78.28) que cubría el primer cuerpo escalonado (HOL.T.78.26) y se ascendió destapando dos cuerpo escalonados superiores (HOL.T.78.29 y HOL.T.78.30).

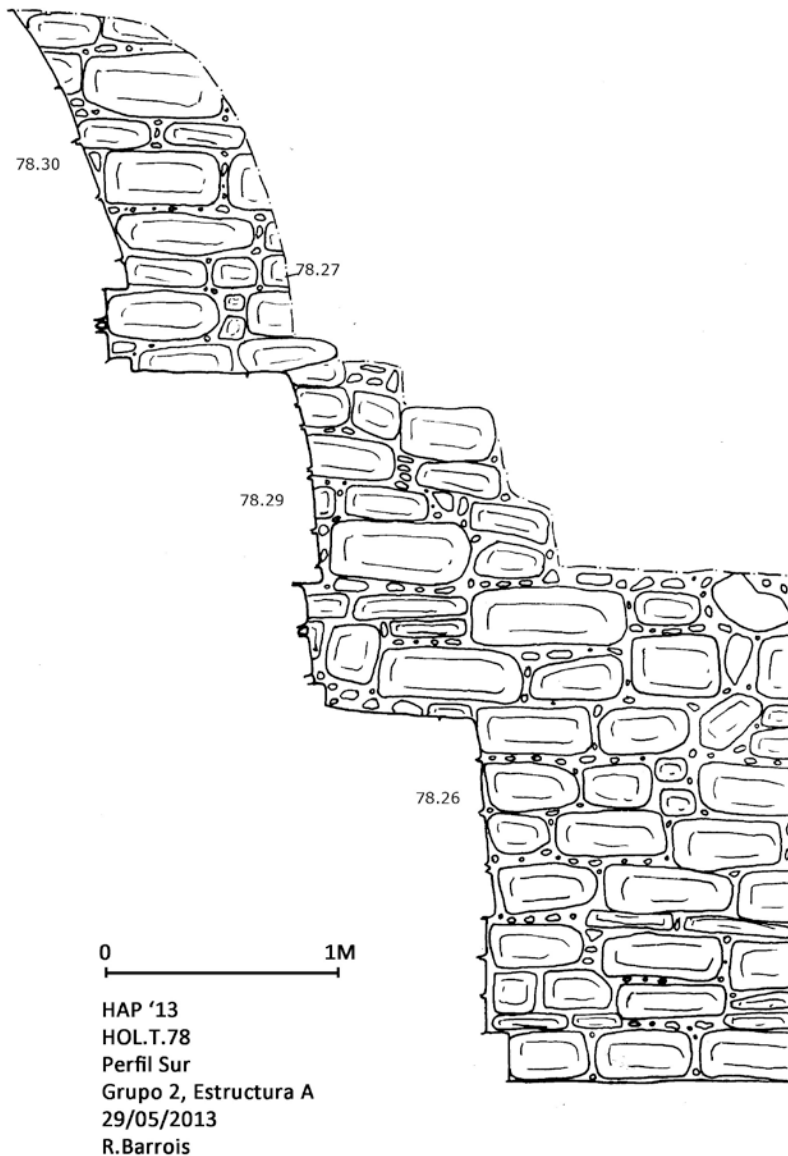


Figura 8.1 Perfil de los cuerpos escalonados de la subestructura del Edificio A dentro del túnel HOL.T.78 (dibujo R. Barrois).

Excavando arriba del cuerpo escalonado superior (HOL.T.78.30) se encontró una pared vertical que descansaba sobre este último en dirección este-oeste (HOL.T.78.31). Solamente la porción superior de esta pared se pudo destapar por lo cual solo se puede estimar su altura a 1.80 metros sobre el piso del cuerpo escalonado. La porción superior de esta pared presenta restos de estuco pintado con pigmentación roja formando una cornisa. Debajo de la cornisa la decoración estucada se encuentra erosionada y faltante. Arriba de esta cornisa se observa

decoración modelada y pintada a manera de friso. Este rasgo que es la mitad superior, de aproximadamente 2 metros de alto que descansa sobre la pared HOL.T.78.31 fue denominado HOL.T.38.32. Este numero de contexto se le asignó también a la fachada este de la misma pared así como a las fachadas norte y sur expuestas en esta excavación.

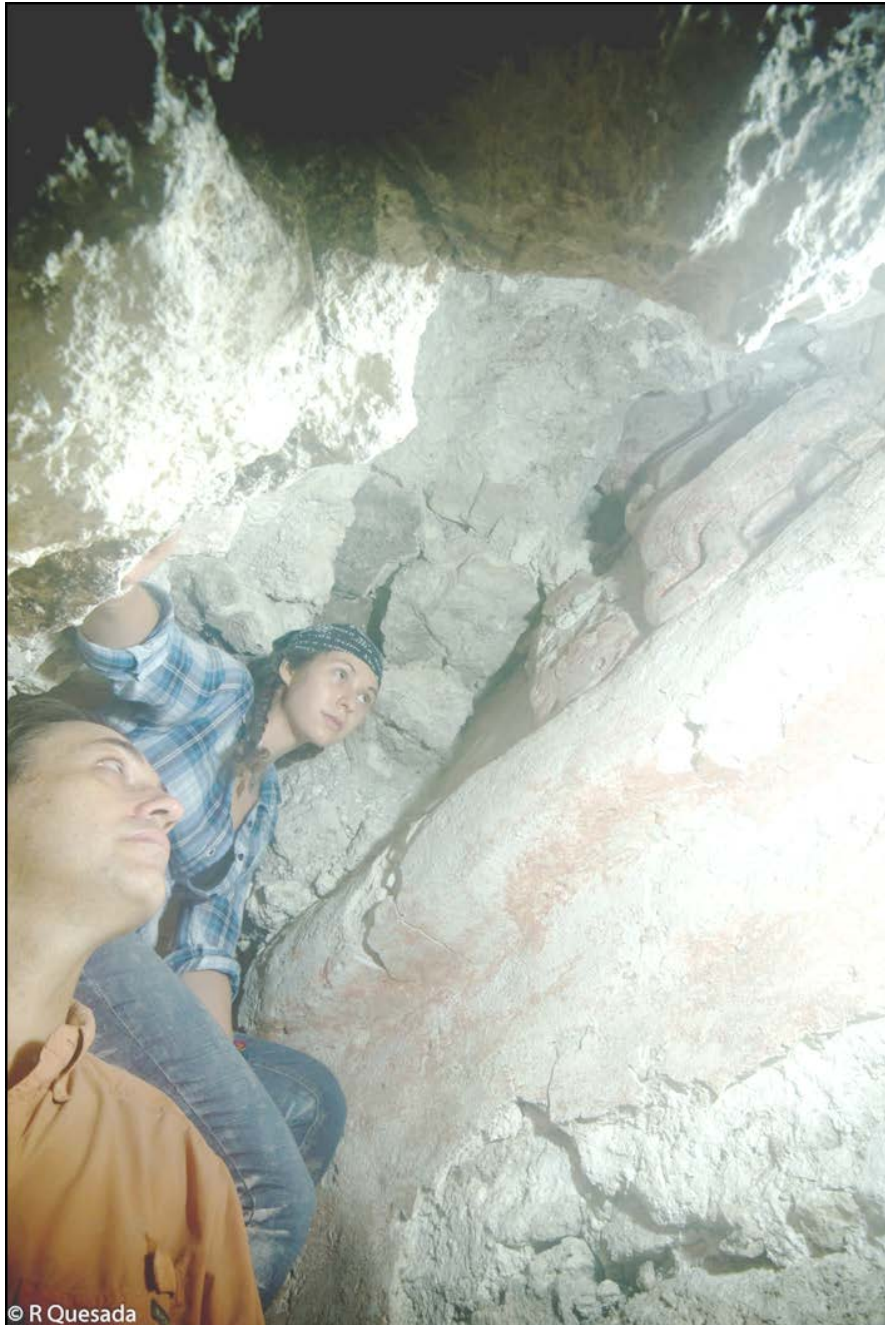


Figura 8.2 Jordan Krummel y Francisco Estrada-Belli junto a una pared estucada (HOL.T.78.32) en la esquina noroeste de la subestructura del Edificio A con restos de decoración modelada (foto R. Quesada).

La porción expuesta de la pared HOL.T.78.32 arriba del cuerpo escalonado formaba una esquina hacia el sur. Con el propósito de descubrir ulteriormente el rasgo escultórico de esta pared se siguió excavando en dirección sur a lo largo de la pared misma. Fue así que se pudo destapar la fachada sur de esta pared por 8 m de longitud en dirección norte-sur. A esa distancia la pared formaba una esquina con otra pared hacia el oeste, formando al mismo tiempo la esquina suroeste de una subestructura del Edificio A.

A continuación se descubrió una sección de 5 m más de esta misma pared de su esquina suroeste en dirección este hasta encontrar la esquina sureste de la misma subestructura. La fachada sur de la pared decorada con friso retuvo la misma denominación de HOL.T.78.32. Esta sección de la pared presenta buen estado de conservación. En ella se observan dos paneles enmarcados por una cornisa. El panel más oriental presenta una superficie estucada lisa con pigmentación roja. El panel más occidental de esta fachada descansa sobre un nivel más bajo por unos 30 cm. Es probable que esta diferencia se deba a que estos paneles presentan la parte superior de cada uno de los dos espacios abovedados del edificio que descansaban sobre dos niveles distintos con el vano posterior más alto que el anterior.



Figura 8.3 Vista hacia el este de los paneles remetidos de la fachada sur de la subestructura del Edificio A (Foto: Estrada-Belli).

El panel occidental también presenta una capa de estuco con pigmentación roja. En el espacio central de este panel se observa un elemento en bajo-relieve iconográfico o jeroglífico. El mismo está descrito en detalle en el informe epigráfico del capítulo siguiente por A. Tokovinine. Sin embargo, se puede mencionar aquí el que se este signo se compone de elementos fonéticos que puedan leerse como “ahaw –te-naah” (casa de linaje de ahaw). Cabe mencionar que la fachada opuesta (norte) presenta un elemento similar, lo cual puede interpretarse como una descripción de la función de este edificio como casa o templo del linaje real de Holmul escrita en sus paredes laterales.

Más al oeste de este elemento jeroglífico se observa una decoración compleja que ocupa el área de la esquina del edificio. En la parte más baja de esta esquina se observa el rostro/cabeza de un zoomorfo con elementos iconográficos y volutas a su lado que lo identifican como un espíritu de cerro sagrado o witz. Arriba de esta cabeza de zoomorfo se observa la forma en alto-relieve de un personaje sentado con piernas cruzadas vistiendo un atavío de plumas y joya de jade. Se puede observar su brazo derecho con su mano que descansa sobre la rodilla mientras la mano izquierda esta agarrando su collar de perlas de jade. El tocado de este personaje presenta una cabeza de ave y abundante plumaje con pigmentación verde. La cabeza del ave presenta pigmentación roja con elementos de los ojos en negro y se interpreta como la deidad solar/ave primordial. En el centro del tocado se observa un cartucho dentro del cual están unos signos jeroglíficos. Según el análisis de A. Tokovinine este podría representar el nombre de este personaje. Su lectura es dificultosa, sin embargo se puede el numeral seis.

En el collar de este personaje se observa un cráneo en miniatura. En la cintura también se observa una cabeza humana. Ambos rasgos así como la parte derecha del rostro del personaje presentan quebraduras. Por lo tanto, se hipotiza que estas quebraduras fueron intencionales y relacionadas a un ritual de terminación del edificio.

A continuación se destapó la parte restante del friso avanzando desde la esquina suroeste hacia la esquina noroeste del mismo hasta liberar la totalidad de la parte superior de la fachada del mismo. Cabe mencionar que el sector de la esquina noroeste quedó parcialmente inexcavado debido a la inestabilidad del estuco y relieve de la pared y para evitar daños. Sin embargo en base a lo que se pudo excavar de esa esquina es evidente que la misma presenta una decoración en todo simétrica con la esquina suroeste y por lo tanto idéntica. El único elemento que podría variar sería el glifo/nombre en el tocado del personaje que sin embargo está dañado y no es legible.

Así como las equinas, la parte central de la pared del friso se encuentra decorada con estuco modelado, incisiones y pintura policroma. En el centro se observa un personaje ricamente

ataviado con un tocado de deidad ave/solar sentado en una cabeza de espíritu de cerro sagrado witz similar a los personajes de las esquinas. La parte izquierda de su rostro, una máscara en su collar y una máscara en su cintura presentan daños al estuco. Su tocado, que es de cabeza de ave, presenta un cartucho con signos jeroglíficos. De acuerdo a la interpretación de A. Tokovinine, estos presentarían el nombre del personaje representado “Och Chan Yopaat” seguido por los títulos “macha” y “chaak tok wayaab”. Este último es poco conocido y solamente ocurre en la región de Holmul y Naranja.

Detrás del personaje principal y a lo largo de toda la pared esculpida se observa una banda en relieve dentro de la cual figuran varios elementos iconográficos que identifican este rasgo como “banda celestial”.

A cada lado del personaje central se observan los cuerpos de dos serpientes. Estas surgen de la boca de zoomorfo central y formando dos grandes volutas terminan con su boca abierta hacia los personajes de las esquinas. Rasgos incisos y modelados de su cuerpo indican que se trata de dos serpientes emplumadas. Un elemento en la parte terminal de la boca de la serpiente del lado sur se asemeja a un punzón de alacrán y referir a la constelación del alacrán que es visible en el sur del cielo. Por otro lado la serpiente del lado norte no presenta punzón en la nariz sin embargo el ojo es distinto siendo en forma de espiral como el ojo del dios sol. Debajo de las volutas formadas por los cuerpos de las serpientes se observan dos personajes sentados en perfil mirando hacia el personaje central. Ambos personajes presentan un rostro de anciano con elementos de deidad solar o dios sol del inframundo. En las manos sostienen un elemento jeroglífico que de acuerdo a la lectura de A. Tokovinine es “Naah Waah” (sagrado tamal). Este rasgo se interpreta como una oferta ritual de sostén para el personaje central de parte de los dioses del inframundo. Cada uno de estos personajes en perfil presenta sobre su cabeza un cartucho con elementos jeroglíficos que sin duda indicarían sus nombres. Sin embargo su lectura es incompleta. Del cartucho del personaje de la derecha solo se distinguen las palabras “tza’k ahaw”.

Finalmente, arriba de la banda celestial, en el espacio entre el personaje central y los de las esquinas se observan dos signos jeroglíficos “ahaw” de los cuales surgen plumas de quetzal similares a las de los tocados. Estas, así como las otras presentan pigmentación verde.

En resumen, la parte superior de la subestructura del Edificio A identificada como el contexto HOL.T.78.32 representa tres personajes sentados sobre cabezas de cerros sagrados en un espacio enmarcado por una banda celestial. Los personajes de las esquinas están conectados a un personaje central por serpientes emplumadas que desprenden de el cerro sagrado central. La posición de los mismos sugiere que los personajes de las esquinas están surgiendo de la boca de las serpientes. Dos dioses del inframundo figuran a cada lado del personaje central ofreciendo un tamal como alimento ancestral. Lo anterior se puede interpretar como una

escena de apoteosis o ascenso como dioses de tres gobernantes identificados por nombres en sus tocados. Estos son probablemente gobernantes ancestrales de la dinástica local a la veneración de los cuales este edificio estaría dedicado así como lo indican los signos de las fachadas laterales.

Debajo de esta composición corre una banda de jeroglifos cuya interpretación epigráfica se da en siguiente capítulo por A. Tokovinine. Sin embargo, mencionar que la misma aparentemente proporciona una lista de al menos siete nombres de gobernantes locales. En la parte central de la inscripción, debajo del personaje central del friso, figura nuevamente el nombre de Och Chan Yopaat. El mismo está seguido por el nombre K'inich Tajal Chak quien es el último de la lista y por consiguiente el que dedico' el edificio. A continuación, el texto proporciona información de parentesco de este personaje, por lo cual se indica que es nieto del rey de "Sak Chwen" (la cercana Naranja) "Ajwosaj" e hijo de la hija de Ajwosaj "señora de Sak Chwen", y un miembro masculino de la nobleza del mismo sitio cuyo nombre está borrado.

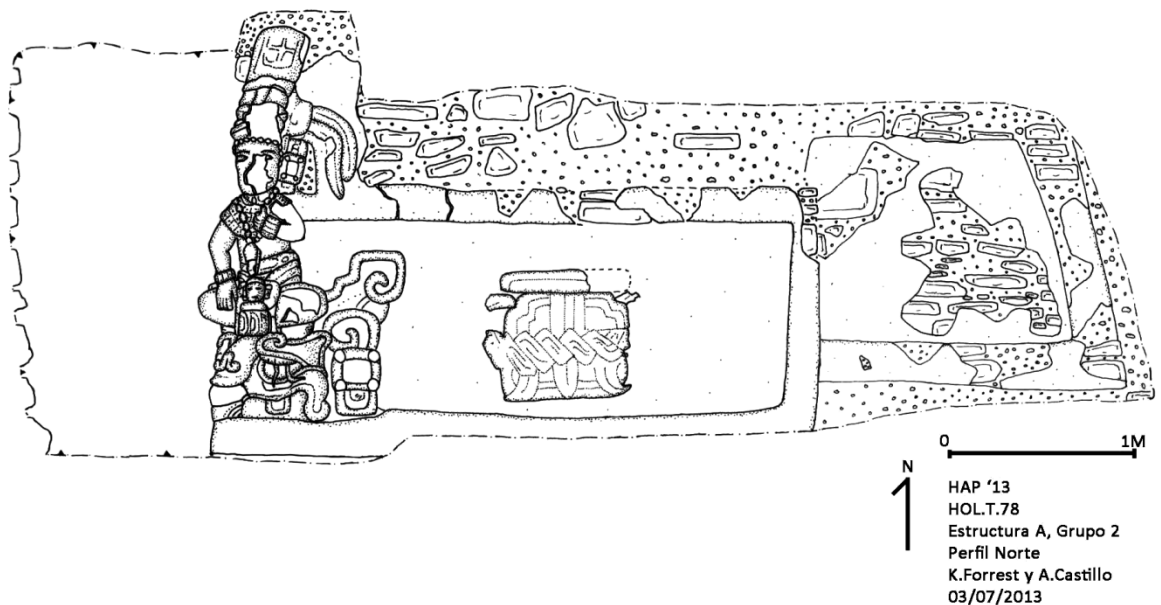


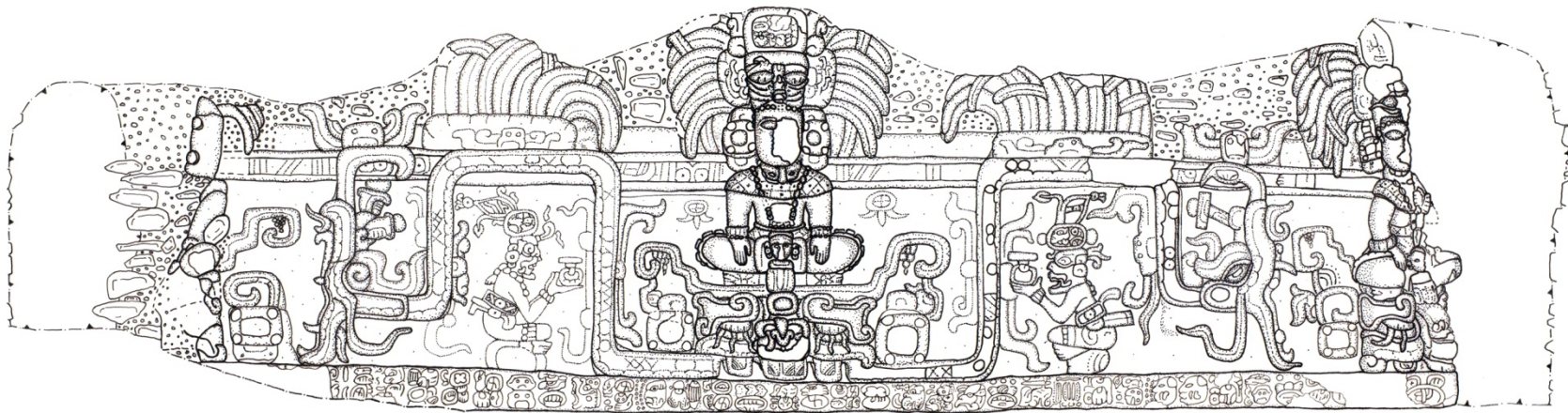
Figura 8.4 Perfil norte de la fachada sur de la subestructura asociada al friso HOL.T.78.32 (dibujo: Forrest y Castillo).



Figura 8.5 Vista del personaje y cabeza de witz de la esquina suroeste de la subestructura del Edificio A (foto: Estrada-Belli).



Figura 8.6 Fotomosaico de la pared oeste y friso (HOL.T.78.32) de la subestructura del Edificio A (foto A. Tokovinine)



N←
0 .5 1m

HAP '13
HOL.T.78
Estructura A, Grupo 2
Perfil Este
03/07/2013
Angel Castillo

Figura 8.7 Dibujo del friso e inscripción asociada a (HOL.T.78.32, por A. Castillo).

Capítulo 9. Documentación y análisis preliminar de la inscripción del Edificio A, Grupo II, Holmul, Guatemala

Alexandre Tokovinine (Harvard University)
Corpus de las Inscripciones Jeroglíficas Mayas,
Museo Peabody de Arqueología y Etnología

Este informe presenta una descripción general y un análisis preliminar de las inscripciones del friso de estuco descubierto durante una investigación del Edificio A en el Grupo II de Holmul. El autor del informe no participó en la excavación. Entre 4 y 6 de Julio, documentó el friso con una cámara digital de alta resolución y un flash remoto como una fuente de luz rasante. Las fotografías compuestas del friso fueron utilizadas para rastrear las inscripciones. Los dibujos fueron posteriormente verificados con el relieve original y luz rasante.

Las inscripciones aparecen en el lado occidental de la sección excavada del techo del Edificio A (Figura 1). El texto principal corre a lo largo de la moldura del techo. Los cinco protagonistas tienen subtítulos en los tocados, aunque el subtítulo del primer protagonista (Subtítulo 1), probablemente ha sido destruido. El lado sur expuesto del techo muestra un emblema complejo que parece ser no-glífico (Figura 2). Un emblema similar (con un T533 en el centro de las cuerdas) adorna el área correspondiente del lado norte del techo. Los emblemas combinan imágenes de cuerdas o petates, contornos en forma de T533, bultos y posiblemente logogramas **NAAH** "casa". Es posible que los emblemas aluden a la función o nombre del edificio como el sede del gobierno o el lugar de la veneración ancestral.

La escena en el lado occidental del techo (Figura 1) se enmarca con una banda celestial. Una persona está sentada sobre un espíritu del cerro en el centro (Protagonista 3). Dos serpientes emplumadas salen de la boca de la montaña y se extienden hacia las esquinas del friso. Los cerros con las personas sentadas aparecen de las bocas de las serpientes (Protagonistas 1 y 5). La escena también cuenta con dos deidades ancianas (Protagonistas 2 y 4) que parecen estar ofreciendo "primeros tamales" (*naah waaj*) a la figura central (Protagonista 3). El subtítulo en el tocado de la deidad de la izquierda (Figura 5a) se puede leer como **pa-ti-li BAAK** paatil baak "espalda-hueso". El subtítulo de la deidad de la derecha (Figura 5c) es **?-TZ'AK-AJAW** ... tz'ak ajaw "señor de ... ordenado(s) / generaciones". El primer nombre parece ser único. En cuanto a

la segunda deidad, se podría esperar una secuencia relativamente común de **9-TZ'AK-AJAW**, pero el nombre comienza con un logograma que parece más a **TIL** o **CHITAM**.

El subtítulo en el tocado del Protagonista 3 (Figura 5b) se lee como **OCH-CHAN YOP-AAT-ti macha-a BAAK/CHAK-?-WAY** och[i] chan yopaat macha' *chak/baak ... way[aab]*. Se puede traducir *ochi chan yopaat* como "Yopaat entró al cielo" que sea un patrón común de los nombres personales que representan un aspecto o acción de una deidad, en este caso, el dios de las tormentas *Yopaat*. La palabra *macha'* todavía no tiene una traducción segura. Aunque es tentador de leer la última parte del nombre como *chak tok wayaab* - el título común de los gobernantes de Holmul, la preservación de los glifos no permite una identificación segura de **CHAK** y de **to**. El nombre del Protagonista 3 (a excepción de su último título) también aparece en el texto principal (Figura 5, pV-pW) donde se ubica justo en el centro de la inscripción y directamente debajo de su montaña (Figura 1). El subtítulo en el tocado del Protagonista 5 está fuertemente dañado (Figura 5d). Los contornos de los glifos sugieren que probablemente se inicia con **6 -?CHAN-NAL**, aunque la identificación de **CHAN** es muy preliminar. Parece que el nombre del Protagonista 5 no fue citado en la parte sobreviviente de la inscripción principal.

La inscripción principal en el lado occidental del techo del Edificio A probablemente consistió en 42 bloques jeroglíficos. Es sólo una estimación, sin embargo, debido a que los primeros nueve bloques son muy dañados. Bloques pA-pG casi han desaparecido (Figura 3), aunque algunas secciones de los bloques pC, pD, pF, y pG son todavía visibles. Supuestamente los bloques pH y pI fueron dañados durante la excavación del techo y sus fragmentos fueron recogidos (Figura 4), aunque el autor no intentó recomponer los fragmentos más allá de lo que ya se ha hecho. El bloque pO también en gran medida se ha ido, pero el resto del texto estaba en relativamente buena condición de conservación cuando el autor lo documentó (Figura 5).

#	Transcripción	Transliteración	Traducción
(pA)	ausente
(pB)	ausente
(pC)	ausente
(pD)	ausente
(pE)	ausente
(pF)	ausente
(pG)	ausente
(pH)	ausente
(pI)	[u]-TZ'AK ausente -na	<i>utz'a(h)k[a] ...</i>	lo ha puesto en orden
(pJ)	NAAH-TE'-AJAW u-TZ'AK-a	<i>te' naah ajaw utz'aka</i>	señor de ... <i>Te' Naah</i> ; lo ha puesto en orden
(pK)	?ya/?K'AHK-OOK ma-k'a	<i>... ook mak'</i>	<i>... Ook Mak'</i>
(pL)	ko-AAT ?tzi-li-pi	<i>ko... aat tzilip/tzipil</i>	<i>... Aat Tzipil</i>

(pM)	ya-K'IN i-su	<i>yak'in iis</i>	<i>Yak'in lis;</i>
(pN)	u-TZ'AK ba-?HUT	<i>utz'a(h)k[a] ba[ah]/ utz'akab ?hut</i>	lo ha puesto en orden .../ el ordenamiento de
(pO)	MIJIIN-?BOOK	<i>mijiin book</i>	<i>Mijiin Book</i>
(pP)	?-CHAN	<i>... chan</i>	<i>... Chan</i>
(pQ)	?	<i>...</i>	<i>...;</i>
(pR)	u-TZ'AK 1-CH'AM	<i>utz'a(h)k[a] juun ch'am</i>	lo ha puesto en orden
(pS)	K'UH	<i>k'uh</i>	<i>Juun Ch'am K'uh</i>
(pT)	T174.530 ko-	<i>...</i>	<i>... Kot'ol / Kosol;</i>
(pU)	T210-lo u-TZ'AK	<i>?kosol/?kot'ol utz'ak[a']</i>	lo ha puesto en orden
(pV)	OCH-CHAN	<i>och[i] chan</i>	<i>Ochi Chan</i>
(pW)	YOP-AAT ma-cha-a	<i>yop aat macha'</i>	<i>Yopaat Macha';</i>
(pX)	u-TZ'AK	<i>utz'a(h)k[a']</i>	lo ha puesto en orden
(pY)	20-TZ'AK-ku/TUUN-li-a	<i>winik tz'a(h)kuula'/ tz'a(h)ktuunila'</i>	al veinte veces ordenado / al de veinte piedras ordenadas
(pZ)	K'IN-chi	<i>k'inich</i>	<i>K'inich</i>
(pA')	ta-ja-?CHAHK	<i>taja[l] chahk</i>	<i>Tajal Chahk</i>
(pB')	ya-AJAW KAN-AJAW	<i>yajaw kan[uul] ajaw</i>	el vasallo del señor de <i>Kanuul</i>
(pC')	MAM	<i>mam</i>	reverendo
(pD')	3-WINIK.HAAB	<i>hux winikhaab</i>	de tres k'atunes
(pE')	7-YOP-AAT	<i>huk yopaat</i>	siete <i>Yopaat</i>
(pF')	AJ-NUM?-sa-?	<i>...</i>	"Aj Wosaaj"
(pG')	SAK-CHWEN	<i>sak chwen</i>	<i>chwen</i> blanco
(pH')	u-BAAH [u]-1-TAHN	<i>ubaah ujuun tahn</i>	el querido hijo de
(pI')	K'UH-IXIK	<i>k'uh[ul] ixik</i>	la señora divina
(pJ')	IXIK	<i>ix-</i>	señora
(pK')	SAK-CHWEN	<i>sak chwen</i>	<i>chwen</i> blanca
(pL')	u-MIJIIN	<i>umijiin</i>	el hijo de
(pM')	2-WINIK.HAAB	<i>cha' winikhaab</i>	señor de dos k'atunes
(pN')	AJAW	<i>ajaw</i>	
(pO')	ausente	<i>...</i>	<i>...</i>
(pP')	AJAW	<i>ajaw</i>	señor

A juzgar por las secciones sobrevivientes de los bloques PA-pH, es poco probable que el texto se iniciaba con una fecha de la cuenta larga. Si había una rueda calendárica no sobrevivió. Sin embargo, la inscripción menciona una persona histórica conocida, el gobernante de Naranja llamado "Aj Wosaaj" (pC'-PG '), quien puede ser identificado por su nombre personal único, así como por los títulos del "chwen blanco", "vasallo del señor de Kanuul" y "siete Yopaat" (este título aparece en un texto dedicatorio sobre un vaso K681). "Aj Wosaaj" accedió al trono como el vasallo de los gobernantes Kanuul en 546 d.C. y reinó al menos hasta 615 d.C. después de

haber celebrado cuatro k'atunes (Martin y Grube 2008:71-72). Su título de tres k'atuns en la inscripción implica que el Edificio A fue dedicado a fines del siglo VI - principios del siglo VII durante el último k'atun del reinado de "Aj Wosaaj". Los bloques pC y pD, aunque muy dañados, parecen haber contenido una secuencia de títulos **TAHN-TE' 5-"JGU"** que también se encuentra en los títulos de "Aj Wosaaj" en la inscripción dedicatoria sobre una vasija (K681). Si es así, "Aj Wosaaj" fue mencionado dos veces en la narración.

La paleografía de las inscripciones se asemeja al corpus epigráfico de la corte real de "Aj Wosaaj" que contiene muchas formas de signos no convencionales. Por ejemplo, el logograma en pA' comparte algunos rasgos con el variante del glifo **TUUN** "piedra" y con el glifo de la deidad de la lluvia **CHAHK**. Teniendo en cuenta que la orejera diagnóstica de **CHAHK** puede ser sustituida por las marcas de "piedra" en ciertos contextos como las variantes de G1 del logograma **AL**, el autor se inclina a leer el glifo en pA' como **CHAHK** y no como **TUUN**. El tratamiento de la logograma **AJAW** en el bloque pB' también es muy poco común.

La sección preservada del texto consiste de varias cláusulas que comienzan con **u-TZ'AK(-a)**. El verbo *tz'ak* aparece con frecuencia en las inscripciones mayas clásicas, pero sus grafías comunes son diferentes y, probablemente, corresponden a otras formas gramaticales: **u-TZ'AK-AJ-(ja)** *utz'akaj* "la cuenta de" (sustantivo), **u-TZ'AK-bu-ji-(ya)** *utz'akbuj(iiy)* "sustituyó/reemplazó" (verbo transitivo) y **u-TZ'AK-bu-li** *utz'akbuul* "el sucesor de" (participio). También es posible que el bloque pN contiene una forma nominalizada poseída **u-TZ'AK-ba**, aunque su contexto no es lo suficientemente claro. El bloque pY cuenta con un sustantivo derivado con un sufijo agentivo *-a* después de un sustantivo o verbo compuesto *tz'ak-tuun* o el participio *tz'akuul*. El nombre del protagonista de la escena en el friso, *Ochi Chan Yopaat Macha'*, se encuentra entre las grafías **u-TZ'AK** en los bloques pU y pX. Esto implica que se trata de una secuencia de cláusulas no verbales que comienzan con un sustantivo poseído o de una secuencia de cláusulas verbales que empiezan con un verbo transitivo.

La sección del texto después del último **u-TZ'AK** en pY-pP' tiene dos frases nominales. El nombre de "Aj-Wosaaj" probablemente comienza en el bloque pB. Sin embargo, los bloques PY-pA' contienen el nombre de *K'inich Tajal Chahk*, posiblemente un gobernante anterior de Naranja, que sólo se menciona en el texto sobre un plato (K5458) en la colección del Museo de Bellas Artes de Boston (Martin y Grube 2008:70). Teniendo en cuenta que hay docenas de ejemplos de la frase nominal de "Aj-Wosaaj" y ninguno incluye *K'inich Tajal Chahk*, este último no puede ser interpretado como parte de la frase nominal extendida de "Aj-Wosaaj". Por lo tanto, la única manera de interpretar la secuencia con el último **u-TZ'AK** es asumir que comienza con un verbo transitivo seguido por el objeto y luego por el sujeto de la oración según las reglas de sintaxis de los idiomas mayas. Por lo tanto, otras cláusulas también comienzan con un verbo transitivo seguido por sujetos o por objetos de las acción si uno asume que toda la

narración tiene un solo agente, "Aj Wosaaj". Alfonso Lacandena ha mencionado al autor (comunicación personal, 2013), que **TZ'AK-a** puede ser analizado como un verbo transitivo no-CVC *tz'aka* o *tz'ahka* con varias palabras potencialmente relevantes en Ch'orti y Ch'ol. El significado posible de *tz'aka* sea "poner las cosas o personas en el orden o secuencia, ajustar, juntar".

Ch'orti

<i>tz'aki</i>	vt	"juntar"	(Hull 2005:109; Pérez Martínez and Quizar 1996:227; Wisdom 1950:738)
<i>tz'akse</i>	vt	"ajustar, modificar "	(Hull 2005:109)
<i>tz'akta</i>	vi	"ser suficiente"	(Hull 2005:109)
<i>tz'akar</i>	part	"suficiente"	(Hull 2005:109)

Ch'ol

<i>tz'ahk</i>	s	"pared de piedra"	(Aulie and Aulie 1978:121)
<i>tz'ahkin</i>	vt	"poner piedras en su lugar"	(Aulie and Aulie 1978:121)
<i>tz'ʼAksesan</i>	vt	"completar"	(Aulie and Aulie 1978:122)

Aunque el texto, entonces, dice que "Aj Wosaaj" "ajusto" o "junto" a K'inich Tajal Chahk es poco probable que la narración hablaba de una secuencia cronológica. Termina con "Aj Wosaaj" y sin embargo, su título de tres k'atunes más de cuarenta años después de su entronización elimina su accesión al poder como un contexto de la narración. Por otra parte, no está claro si K'inich Tajal Chahk fue el predecesor inmediato de "Aj Wosaaj". La inscripción sobre la vasija K5458 sólo menciona su título de "*chwen* blanco", pero no incluye el glifo emblema de los reyes de Naranjo. No era el padre de "Aj Wosaaj", aunque podría tener alguna conexión a la madre que lleva el título de "señora *chwen* blanca" en la inscripción principal (pL'-pK'). Es potencialmente importante que otros textos mencionan que la madre de "Aj Wosaaj" no era de Naranjo pero de un lugar todavía no identificado llamado Bupa'. El padre de "Aj Wosaaj", por otro lado, se presenta como una deidad solar nocturna en la Estela 43 de Naranjo y toma el título real del wak kab nal yook'in en la inscripción de la Estela 44. Por lo tanto, se puede proponer que K'inich Tajal Chahk pertenecía al linaje de los "*chwen* blancos" pero no gobernaba en Naranjo. Si "Aj Wosaaj" era el único agente en la narración, no pudiera haber supervisado cinco generaciones de gobernantes locales en 40 años. La secuencia, por lo tanto, es del algún otro tipo y incluye un elemento espacial y no estrictamente cronológico.

El título de "siete Yopaat" de "Aj Wosaaj" que potencialmente refiere a las siete versiones de la deidad de la tormenta Yopaat es muy importante en el contexto de la entidad regional del las "siete divisiones" (*huk* tzuk) asociada a la esfera de la influencia política de Naranjo (Beliaev 2000; Tokovinine 2008). Los gobernantes de Holmul pertenecían a las siete divisiones según los datos epigráficos. Es posible que la sección dañada del la inscripción contenía más cláusulas *tz'aka* a un total de siete. ¿Era una referencia a unos siete gobernantes locales, siete deidades,

o siete antepasados instalados, reunidos, o puestos en orden por "Aj Wosaaj"? K'inich Tajal Chahk era una persona histórica, a pesar de que su nombre evocaba una forma particular de Chahk. Probablemente murió antes de la dedicación de este edificio por que el estilo del plato con su nombre es más temprano. Ochi Chan Yopaat Macha' podría ser una deidad de Holmul o un gobernante local (su nombre en el tocado puede haber incluido un título local de chak tok wayaab). Hay un énfasis claro en su figura en la escena y en su nombre en la narración principal. Sin embargo, ninguna referencia a Ochi Chan Yopaat Macha' puede ser encontrada en Naranjo, por lo que debe haber sido de importancia en Holmul. Su representación como un señor sentado sobre una montaña en el cielo recibiendo "primeros tamales" de dos deidades sugiere que Ochi Chan Yopaat Macha' podría haber pasado a un mundo espiritual en algún momento antes de la dedicación del edificio. Por lo tanto, los pacientes del "ordenamiento" o "ajustamiento" por "Aj-Wosaaj" podrían ser antepasados de varias familias subordinadas de las siete divisiones, incluyendo a Ochi Chan Yopaat Macha' de Holmul.

En resumen, las inscripciones del Edificio A ofrecen una información importante acerca la organización regional política y ritual de Naranjo durante el reinado de "Aj Wosaaj". También confirman un fuerte vínculo entre Holmul y Naranjo. La dedicación de un templo por "Aj Wosaaj" en Holmul y el "ajustamiento" de un antepasado local implica alguna forma del control político. También podemos añadir un nombre a la lista de los gobernantes de Holmul conocidos. La narración principal implica que las relaciones entre Holmul y Naranjo fueron parte de un orden político y ritual más grande establecido por "Aj Wosaaj". La referencia a sus propios jefes de la familia Kanuul indica el contexto histórico y regional más amplio de ese orden.

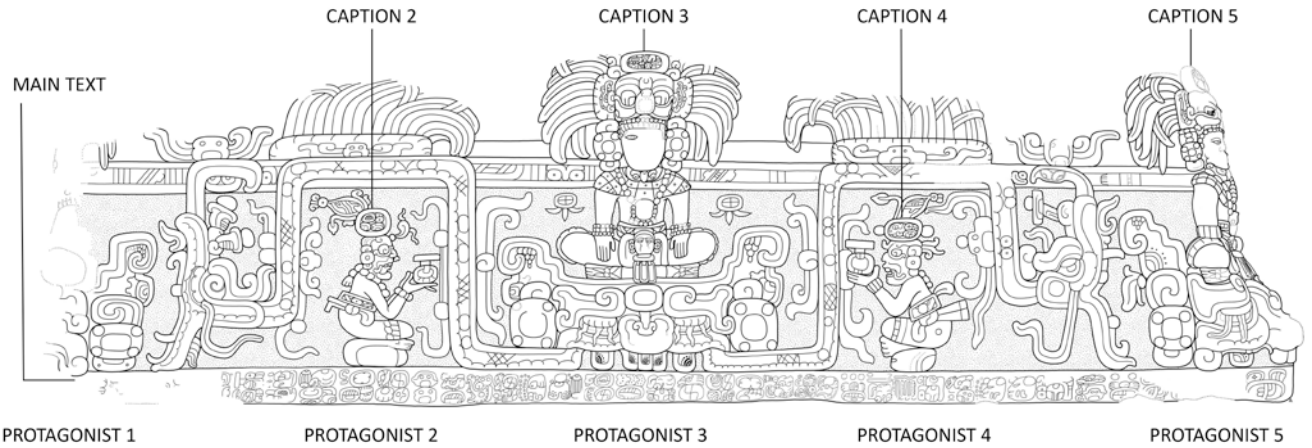
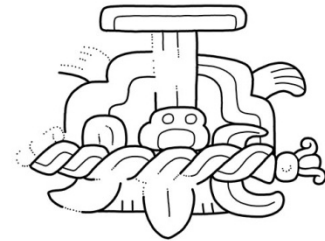


Figura 9.1 Friso de subestructura del Edificio A (dibujo: A. Tokovinine)



a



b

Figura 9.2: a) Friso del Edificio A, pared sur (foto: A. Tokovinine);

b) emblema de la pared sur (dibujo: A. Tokovinine)

pA

pB

pC

pD

pE

pF

pG

pH

pl



Figura 9.3 Texto principal, sección dañada (foto y dibujo: A. Tokovinine)



Figura 9.4 Texto principal, fragmentos de bloques pH y pl (foto: A. Tokovinine)

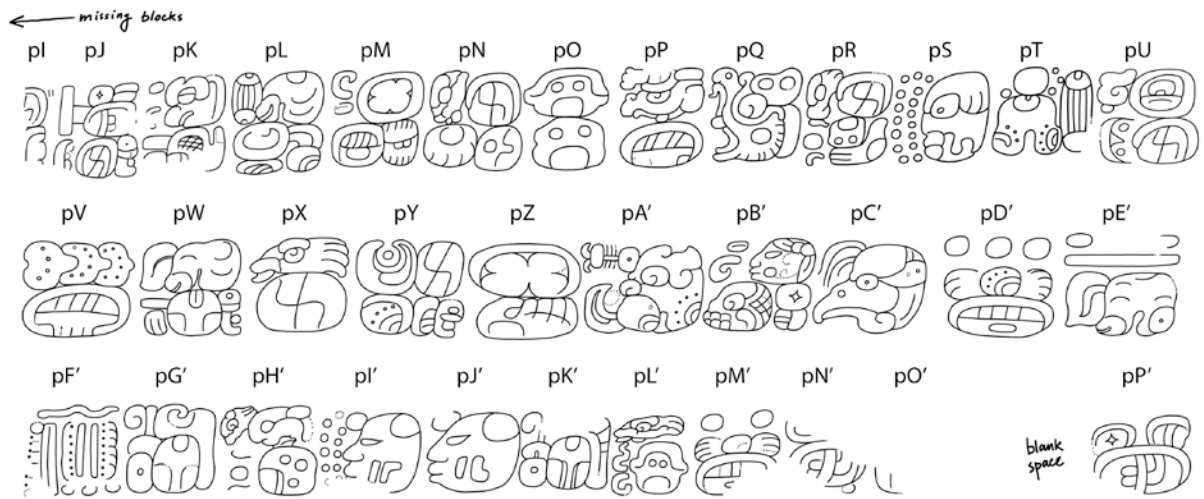


Figura 9.5 Texto principal (dibujo: A. Tokovinine)

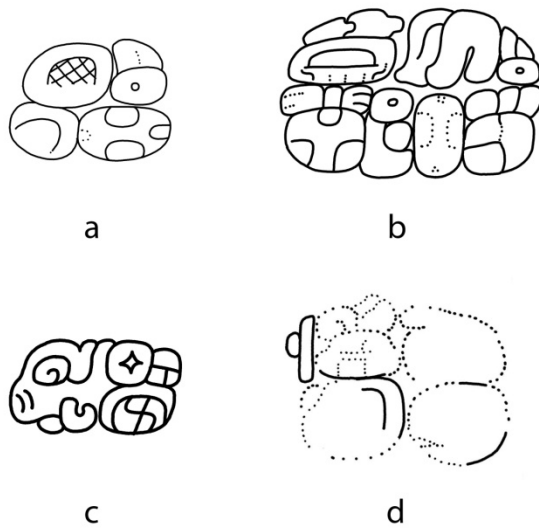


Figura 9.6 Texto 2(a), Texto 3(b), Texto 4(c), Texto 5(d), (dibujo: A. Tokovinine)

Capítulo 10. Conclusiones

Durante la temporada de 2013 se alcanzaron importantes metas de la investigación multi-anual e interdisciplinaria del Proyecto Arqueológico Holmul. El mapeo de áreas residenciales en el norte de Cival, llevado a cabo por Antolín Velázquez documentó importantes patrones de asentamiento y uso de la tierra durante las épocas Preclásica y Clásica. Las áreas de asentamiento abarcan un área de hasta 7.5 km más al norte de Cival. Por un lado este dato es sorprendente por evidenciar una extensión de las áreas de asentamiento alrededor de Cival mucho más allá de lo que era predecible. Sin embargo, esto también se puede deber al traslape que pueda haber con el área residencial de época posterior alrededor de otros centros vecinos como por ejemplo Witzna' que es un centro primario de la época Clásica. La extensión y densidad poblacional de esta área mapeada en 2013 también se debe a la cercanía de abundantes fuentes de agua como son el río Holmul y muchas aguadas a lo largo de su curso así como de terrenos bajos cultivables. Es decir que una vez más las áreas de bajos estos datos evidencias la importancia de los terrenos de bajos para el sostén de alta densidad poblacional desde la época Preclásica a la Clásica.

Los datos de asentamiento proporcionados por el mapeo arqueológico complementan un estudio medio ambiental llevado a cabo por los doctores Wahl y Anderson de USGS por medio de sedimentos lacustres. Cabe mencionar que la recolección de sedimentos de la laguna Ek Naab fue exitosa. Los datos de este estudio aun se encuentran en una fase muy preliminar. Sin embargo se puede reportar aquí que durante la temporada 2013 se recuperó una columna de aproximadamente 9 metros de sedimentos lacustres. Aún se desconoce la antigüedad de los niveles más bajos alcanzados, sin embargo es evidente una sedimentación muy marcada la cual podrá proporcionar datos detallados de las pautas de cambios medio-ambientales en esta área en las épocas prehispánicas. Estos datos serán importantes para evaluar no solamente los impactos que la ocupación humana pueda haber tenido sobre el medio-ambiente local, sino también cuales fueron las circunstancias medio-ambientales durante las fases de transición del Preclásico Terminal y Clásico Terminal, durante las cuales se abandonaron los centros primarios vecinos de Cival y Witzna', respectivamente.

En el centro de Cival se logró avanzar en la conservación de la Estructura 1 del Grupo I, en lo que se refiere al túnel de acceso a los mascarones excavados en temporadas anteriores (2003 y 2004) así como de la consolidación de la superestructura que se ve seriamente afectada por una trinchera de saqueo. Los trabajos de consolidación deberán continuar en la próxima temporada para poder llegar a asegurar la estabilidad de este edificio y la accesibilidad a los

mascarones. Los mismos representan una obra importante del arte escultórico del Preclásico Tardío y nos proporciona datos importantes sobre la función de la arquitectura sagrada preclásica.

Las excavaciones en el centro de Cival fueron exitosas en documentar las pautas constructivas de tres de las pirámides mayores del sitio. En la Pirámide Norte se pudieron documentar las últimas tres fases constructivas, las cuales fechan para la época Preclásica Tardía. Este dato, confirma el patrón evidenciado en investigaciones anteriores según el cual la ocupación terminal del centro ceremonial de Cival fecha aun dentro de la época Preclásica Tardía por lo menos en lo que se refiere a los edificios mayores. Un dato importante que se obtuvo de la Pirámide Norte que la última versión del edificio solo incluyó una remodelación del acabado de la estructura mientras que la penúltima fase constructiva representó una ampliación masiva de la pirámide.

Las investigaciones de la Estructura 9 del Grupo E obtuvieron datos interesantes sobre la secuencia constructiva de esta pirámide radial. Se pudo confirmar que su primera fase constructiva, del Preclásico Medio, fue modelada sobre un montículo de roca natural. De las cinco fases constructivas detectadas por las excavaciones en la base de la pirámide la tercer ultima fue la mayor. Es probable que esta fase constructiva sea contemporánea a la ampliación masiva de la Pirámide Norte recién mencionada y que ambas fechen para el 1 siglo antes de Cristo o el inicio de la era Cristiana.

En Holmul, se investigaron los grupos ceremoniales I y II con el fin de ampliar el conocimiento de las fases constructivas de estos complejos ceremoniales que se había iniciado a documentar en temporadas anteriores. En la investigación en el Edificio C del Grupo II, que en su fase última fue un edificio residencial de la época Clásica Tardía, se detectaron las primeras tres fases constructivas que remontan a la época Preclásica Tardía. Aunque no se disponga de datos radiométricos es muy probable que la primera fase sea contemporánea a la primera fase del Edificio B del mismo grupo con el cual comparte un piso de plaza formando un patrón triádico. Es decir que la primera fase del Edificio C podría fecharse al siglo cuarto a. C. Asociado a la fachada oeste de esta estructura se documentaron los restos parciales de dos mascarones. La iconográfica de estas esculturas representa deidades solares o gobernantes con tocado de ave primordial durante la fase Preclásica Tardía.

En el Edificio A del Grupo II, se pudo documentar la existencia de una subestructura plenamente conservada y decorada con un espectacular friso de estuco modelado y pintado con coloración policroma inmediatamente debajo de la última fase constructiva del edificio. La subestructura, que tiene una orientación este-oeste, fecha para el inicio del Clásico Tardío,

cerca del año 600 d.C. de acuerdo a los datos epigráficos asociados al friso. Es interesante notar que en esa época el Edificio A aun conservaba la orientación propia de los edificios Preclásico formando un patrón tríadico con los edificios B y C. Sin embargo, la versión final del edificio presentó su fachada principal hacia el sur. El friso representa las figuras de tres gobernantes divinizados surgiendo de cerros sagrados entre serpientes emplumadas y alimentados por los dioses del inframundo. Dos emblemas iconográficos esculpidos en las fachadas laterales sugieren que este edificio haya sido un templo para la veneración de gobernantes ancestrales de la dinastía local. Como se menciona más detalladamente en el capítulo 8, el hallazgo de este friso es importante debido al alto grado de conservación del relieve, la complejidad de la representación iconográfica y la información histórica que proporciona la inscripción dedicatoria. Esta última representa el dato más importante ya que ilustra ciertas relaciones políticas con la vecina Naranja y el Reino Kaan proporcionando datos históricos nuevos para entender las relaciones entre los poderes políticos a través de todas las tierras bajas mayas en la época Clásica Tardía.

Las investigaciones en el Grupo I de Holmul pudieron documentar fases constructivas del Preclásico y Clásico, aun si de manera parcial, relacionadas con el Edificio D, que es la pirámide principal de este grupo. La fase más antigua detectada en la excavación de Anya Shetler (capítulo 6) fecha para la parte final del Preclásico Tardío (1er siglo d. C.) y fue decorada con mascarones estucados que representan el rostro de Chaak la deidad de la lluvia. Este dato es interesante debido a que las representaciones de Chaak en la escultura monumental Preclásica son muy escasas. Sin embargo este hallazgo subraya la importancia de esta deidad en el ritual público del Preclásico Tardío. Cabe mencionar también el importante hallazgo de un entierro del Clásico Temprano en el eje principal de este mismo edificio cuya ofrenda funeraria incluye tres vasijas trípodes de estilo Teotihuacano. Su importancia se debe al hecho de documentar por primera vez la presencia de cerámica de estilo Teotihuacano en el centro ceremonial de Holmul ya que hasta la fecha solamente se habían observado este rasgo en el centro periférico de La Sufricaya. Este patrón, a la vez, había sugerido una distinción en la distribución de estilos entre los dos centros rituales. Sin embargo este hallazgo sugiere que durante el Clásico Temprano Holmul como centro político en su totalidad tenían ciertos enlaces con Teotihuacan y Tikal (véase Estrada-Belli et al. 2009). Este dato a la vez, apoya a las teorías según las cuales Tikal había intervenido en las dinastías de varias ciudades vecinas, como Holmul, durante la fase de mayor contactos con Teotihuacan en el Clásico Temprano.

Capítulo 11. Bibliografía

Aguilar Boris

2009 *Informe de las actividades realizadas en el sitio arqueológico Holmul*, Melchor de Mencos, Petén, Guatemala, temporada de campo: junio agosto 2009.: 41

Aulie, H. Wilbur and Evelyn W. de Aulie

1978 *Diccionario Ch'ol: Ch'ol-Español, Español-Ch'ol*. 1. ed. Instituto Lingüístico de Verano en coordinación con la Secretaría de Educación Pública a través de la Dirección General de Servicios Educativos en el Medio Indígena, México.

Beliaev, Dmitri D.

2000 Wuk Tsuk and Oxlahun Tsuk: Naranjo and Tikal in the Late Classic. In *Sacred and the Profane: Architecture and Identity in the Maya Lowlands*, Robert-Colas, Pierre, ed., pp. 63-81. Verlag von Flemming, Berlin.

Bullard, William Rotch, Jr.

1960 Maya settlement pattern in northeastern Petén, Guatemala. *American Antiquity* 25:355-372

Callaghan, Michael G.

2006 Cerámica del Proyecto Arqueológico Holmul, muestras de 2004 y 2005. In *Investigaciones arqueológicas en la region de Holmul, Petén, Guatemala. Informe preliminar de la temporada 2005*, editado por Estrada-Belli, F., pp. 225-328. Boston University, Boston.

2008 *Technologies of Power: Ritual Economy and Ceramic Production in the Terminal Preclassic Period Holmul Region, Guatemala*. Tesis doctoral, Vanderbilt University.

Estrada-Belli, Francisco

1999 *The Archaeology of Southeastern Pacific Coastal Guatemala: A Regional GIS Approach*. British Archaeological Reports International Series 890. John and Erica Hodges, Oxford.

2001a Maya Kingship at Holmul, Guatemala. *Antiquity* 75(290):685-6.

2001b (editor) *Investigaciones arqueológicas en la region de Holmul, Petén, Guatemala. Informe preliminar de la temporada 2001*. Boston University.

2002a Anatomía de una ciudad Maya: Holmul. Resultados de Investigaciones arqueológicas en 2000 y 2001. *Mexicon* XXIV(5):107-112.

2002b *Investigaciones arqueológicas en la region de Holmul, Petén, Guatemala. Informe preliminar de la temporada 2002*. Boston University. Documento electrónico <http://www.bu.edu/holmul/reports>, noviembre 10, 2006

2003a *Archaeological Investigations in the Holmul Region, Peten, Guatemala: Report of the 2003 Season*. Boston University. Documento electrónico <http://www.bu.edu/holmul/reports/>, noviembre 2006

2003b La Pintura mural de la Sufricaya. *La Pintura Mural Prehispánica en Mexico. Buletín Informativo* IX (18):38-42.

2003c The Power of GIS and Remote Sensing: Multi Scalar Spatial Analysis of settlement data in SE Pacific Coastal Guatemala and the Southern Maya Lowlands. In *The Reconstruction of Archaeological Landscapes through Digital Technologies*, editado por Forte, T. M. y P. R. Williams, pp. 49-58. British Archaeological Reports International Series vol. 1151. Archaeopress, Oxford.

2003d Anatomía de Holmul: Su ciudad y territorio. In XVI Simposio de Investigaciones Arqueológicas en Guatemala, editado por Laporte, J. P., B. Arroyo, H. Escobedo, L. y H. E. Mejía, pp. 265-274. Museo Nacional de Arqueología y Etnología, Guatemala.

2004 *Investigaciones arqueológicas en la region de Holmul, Petén, Guatemala. Informe preliminar de la temporada 2004*. Documento electrónico, <http://www.bu.edu/holmul/reports/>

- 2005 Cival, La Sufricaya y Holmul: The long history of Maya political power and settlement in the Holmul region. In *Archaeology in the Eastern Maya Lowlands: Papers of the The 2004 Belize Archaeology Symposium*, editado por Awe, J., John Morris, y Shirley Jones pp. 193-208. Institute of Archaeology, Belmopan, Belize.
- 2006a *Investigaciones arqueológicas en la region de Holmul, Petén, Guatemala. Informe preliminar de la temporada 2005*. Boston University. Documento Electrónico <http://www.bu.edu/holmul/reports>, 1 diciembre, 2006
- 2006b Lightning Sky, Rain and the Maize God: The Ideology of Preclassic Maya Rulers at Cival, Peten, Guatemala. *Ancient Mesoamerica* 17(1):57-78.
- 2008 *Investigaciones Arqueológicas en la region de Holmul, Peten, Guatemala. Informe preliminar de la temporada 2007*. Boston University. Documento electronico <http://www.bu.edu/holmul/reports/>, Noviembre 10, 2008
- 2009 *Investigaciones arqueológicas en la región de Holmul, Petén, Guatemala. Informe preliminar de la temporada 2008: Cival y K'o*. Boston University. Electronic Document www.bu.edu/holmul/reports
2011. *The First Maya Civilization. Ritual and Power Before the Classic Period*. Routledge, London/New York.
- Estrada-Belli, Francisco, Jeremy Bauer, Molly Morgan y Angel Chavez
- 2003 Symbols of early Maya kingship at Cival, Petén, Guatemala *Antiquity* (298). Document Electronico, http://antiquity.ac.uk/ProjGall/estrada_belli/index.html
- Estrada-Belli, Francisco y Jennifer M. Foley
- 2004 Arqueología e historia de enlaces geo-políticos: El Clásico Temprano en La Sufricaya. In *XVII Simposio de Investigaciones Arqueológicas de Guatemala* editado por Laporte, J. P., Hector Escobedo, Barbara Arroyo pp. 863-870. Museo Nacional de Arqueología y Etnología, Guatemala.
- Estrada-Belli, Francisco, Nikolai Grube, Marc Wolf, Kristen Gardella y Claudio Guerra-Librero
- 2003 Preclassic Maya monuments and temples at Cival, Petén, Guatemala *Antiquity* (296). Electronic Document, <http://antiquity.ac.uk/ProjGall/belli/belli.html>, accessed
- Estrada-Belli, Francisco y Magaly Koch
- 2007 Remote Sensing and GIS Analysis of a Maya City and Its Landscape: Holmul, Guatemala. In *Remote Sensing in Archaeology*, editado por Wiseman, J. R. y F. El-Baz. Plenum Press, New York.
- Estrada-Belli, Francisco, Alexandre Tokovinine, Jennifer Foley, Hurst Heather, Gene Ware, David Stuart y Nikolai Grube
- 2009 A Maya Palace at Holmul, Peten, Guatemala and the Teotihuacan 'Entrada': Evidence from Murals 7 and 9. *Latin American Antiquity* 20(1):228-259.
- Estrada-Belli, Francisco, Judith Valle, Chris Hewitson, Marc Wolf, Bauer Jeremy, Molly Morgan, Juan Carlos Perez, James Doyle, Edy Barrios, Angle Chavez y Nina Neivens
- 2004 Teledetección, patrón de asentamiento e historia en Holmul, Petén. In *XVII Simposio de Investigaciones Arqueológicas en Guatemala*, editado por Laporte, J. P., B. Arroyo, H. Escobedo y H. E. Mejía, pp. 73-84. Museo Nacional de Arqueología y Etnología, Guatemala.
- Grube, Nikolai
- 2003 Monumentos jeroglíficos de Holmul, Petén, Guatemala. In *XVI Simposio de Investigaciones de Arqueología de Guatemala*, editado por Laporte, J. P., B. Arroyo, H. Escobedo, H. Mejía, pp. 701-710. Museo Nacional de Arqueología y Etnología, Guatemala.
- Hammond, Norman and Bobo, Matthew
1994. Pilgrimage's last mile: Late Maya monument veneration at La Milpa, Belize. *World Archaeology* 26(1): 19-34.
- Fialko, Vilma
- 2005 "Diez años de investigaciones arqueológicas en la cuenca del río Holmul, región noreste de Petén". In *XVIII Simposio de Investigaciones Arqueológicas en Guatemala, 2004*, editado por J.P. Laporte, B. Arroyo y H. Mejía. Museo Nacional de Arqueología y Etnología, Guatemala. Pp.244-260.

- Harris, Edward C.
1989. *Principles of Archaeological Stratigraphy*. Academic Press, London
- Hull, Kerry
2005 An Abbreviated Dictionary of Ch'orti' Maya. FAMSI report.
<http://www.famsi.org/reports/03031/index.html>.
- Knapp, A. Bernard
1992 Archaeology and Annales: time, space, and change. In *Archaeology, Annales, and Ethnohistory*, editado por Knapp, A. B., pp. 1-21. Cambridge University Press, Cambridge, MA.
- Kosakowsky, Laura Jane
2001 The ceramic sequence from Holmul, Guatemala. Preliminary results from the year 2000 seas. *Mexicon* XXIII(4):85-91.
- Martin, Simon y Nikolai Grube
2008 *Chronicle of the Maya Kings and Queens: Deciphering the Dynasties of the Ancient Maya*. 2nd ed. Thames & Hudson, London.
- Pérez Martínez, Vitalino and Robin Ormes Quizar
1996 *Diccionario Del Idioma Ch'orti'*. 1. ed. Proyecto Lingüístico Francisco Marroquín, Antigua Guatemala, Guatemala, C.A.
- Sharer, Robert J. y Loa P. Traxler
2006 *The Ancient Maya*. 6th ed. Stanford University Press, Stanford.
- Tomasic, J. y F. Estrada-Belli
2003 Nuevos datos sobre el Clásico Temprano en el área de Holmul: el caso de La Sufricaya. In *XVI Simposio de Investigaciones de Arqueología de Guatemala*, editado por Laporte, J. P., B. Arroyo, H. Escobedo, y H. Mejía, pp. 275-280. Museo Nacional de Arqueología y Etnología Guatemala.
- Tokovinine, Alexandre
2008 The Power of Place: Political Landscape and Identity in Classic Maya Inscriptions, Imagery, and Architecture. Ph.D. Thesis, Department of Anthropology, Harvard University, Cambridge, 2008.
- Velásquez López, Antolín
2011 Geografía y Territorio, patrón de asentamiento del sitio arqueológico Cival, Petén Guatemala. *Tesis de Licenciatura*, Área de Arqueología, Escuela de Historia, Universidad de San Carlos de Guatemala, Guatemala.
- Wahl, David, Francisco Estrada-Belli, Lysanna Anderson
2013 A 3400 year paleolimnological record of prehispanic human–environment interactions in the Holmul region of the southern Maya lowlands. *Palaeogeography, Palaeoclimatology, Palaeoecology* 379–380 (2013) 17–31
- Wisdom, Charles
1950 *Materials on the Chorti Language*. University of Chicago Library, Chicago.